#### ГОСУДАРСТВЕННЫЙ КОМИТЕТ СОВЕТА МИНИСТРОВ СССР ПО ДЕЛАМ СТРОИТЕЛЬСТВА (ГОССТРОЙ СССР)

## СТРОИТЕЛЬНЫЕ НОРМЫ И ПРАВИЛА

Часть II, раздел В

## Глава 3

## СТАЛЬНЫЕ КОНСТРУКЦИИ НОРМЫ ПРОЕКТИРОВАНИЯ

СНиП Ⅱ-В.3-72

У тверждены Государственным комитетом Совета Министров СССР по делам строительства 29 делабря 1972 г.



Москва Стройнздат 1974

https://www.zavodsz.ru/

Глава СНиП II-В.3-72 «Стальные конструкции. Нормы проектирования» разработана в развитие главы СНиП II-А.10-71 «Строительные конструкции и основания. Основные положения проектирования».

С введением в действие настоящей главы СНиП утрачивают силу:

глава СНиП 11-В.3-62 «Стальные конструкции. Нормы проектирования» (издания 1963 и 1969 гг.):

глава СНиП I-B.12-62 «Металлы и металлические изделия» (издания 1963 и 1964 гг.):

«Указания по проектированию стальных конструкций с применением гнутых профилей» (СН 247-63);

«Временные указания по применению высокопрочных болтов при изготовлении и монтаже стальных строительных конструкций» (СН 299-64);

«Указания по эффективному применению низколегированной стали в строительных металлоконструкциях» (СН 316-65);

«Указания по проектированию, изготовлению и монтажу стальных конструкций транспортерных галерей» (СН 341-65);

«Временные указания по проектированию стальных конструкций из сталей высокой прочности» (СН 347-66);

«Указания по проектированию, изготовлению и монтажу строительных стальных конструкций, предназначенных для эксплуатации в условиях низких температур» (СН 363-66);

изменение главы СНиП II-В.3-62\* «Стальные конструкции. Нормы проектирования», утвержденное постановленыем Госстроя СССР от 23 июня 1971 г. № 67;

письмо Госстроя СССР от 25 октября 1971 г. № НК-3507-1 «О применении проката из углеродистой стали в стальных строительных конструкциях в связи с вводом в действие с 1 января 1972 г. ГОСТ 380—71».

Настоящие нормы разработаны Центральным ордена Трудового Красного Знамени научно-исследовательским институтом строительных конструкций (ЦНИИСК) им В. А. Кучеренко, Центральным ордена Трудового Красного Знамени научно-исследовательским и проектным институтом строительных металлоконструкций (ЦНИИпроектстальконструкция) Госстроя СССР и Московским ордена Трудового Красного Знамени инженерно-строительным институтом (МИСИ) им. В. В. Куйбышева Минву-за СССР.

Все возможные изменения ГОСТов должны учитываться при пользовании настоятей главой.

Редакторы — инженеры Ф. М. ШЛЕМИН, В. Г. КРИВОШЕЯ (Госстрой СССР), др. техн. наук проф. В. А. БАЛДИН, канд. техн. наук И. Л. ПИМЕНОВ (ЦНИИСК Госстроя СССР), инж. М. Я. ЛАУТ (ЦНИИПроектетальконструкция Госстроя СССР), др. техн. наук проф. К. К. МУХАНОВ (МИСИ им. В. В. Куйбышева)

**<sup>©</sup>** Стройиздат, 1974.

С 30213—522 947(01)—74 Ивструкт-пормат. III вып. — 1/1—73

Стронтельные нормы и правила

СНиП II-В. 3-72

Стронтельные нормы и правила

СНиП II-В. 3-72

Взамен: глав СНиП II-В.3-62
и I-В.12-62;
СН 247-63; СН 299-64;
СН 316-65; СН 341-65;
СН 347-66; СН 363-66

## 1. ОБЩИЕ УКАЗАНИЯ

1.1. Настоящие нормы распространяются на проектирование стальных конструкций зданий и сооружений.

Примечания: 1. Настоящие нормы не распространяются на проектирование стальных конструкций железнодорожных, автодорожных и городских мостов.

- 2. При проектировании стальных коиструкций, иаходящихся в особых условиях эксплуатации (например, конструкций доменных печей, мачт и башен, листовых конструкций различного назначения, конструкций зданий, подвергающихся интенсивным температурным воздействиям агрессивных сред, конструкций гидротехнических сооружений и т. п.), конструкций уникальных зданий и сооружений, а также специальных видов конструкций (например, предварительно-напряженных, пространственных и т. п.) должны учитываться дополнительные требования, отражающие осоответствующими нормативными локументами, утвержденными или согласованными Госстроем СССР.
- 1.2. При проектировании стальных конструкций зданий и сооружений следует соблюдать также требования соответствующих нормативных документов, утвержденных или согласованных Госстроем СССР.
- 1.3. При проектировании стальных конструкций надлежит:
- а) соблюдать требования технических правил по экономному расходованию основных строительных материалов;
- б) выбирать оптимальные в технико-экономическом отношении схемы сооружений, сечения элементов и классы стали;
- в) компоновать здания и сооружения, как правило, из унифицированных типовых или стандартных элементов;

- г) применять экономичные профили проката;
- д) применять прогрессивные конструкции (предварительно-напряженные, вантовые, тонколистовые и комбинированные, конструкции из двух марок стали, конструкции, выполняющие как несущие, так и ограждающие функции, пространственные системы из стандартных элементов и др.);
- е) предусматривать возможность поточного изготовления конструкций и их крупноблочного монтажа;
- ж) предусматривать применение заводских и монтажных соединений прогрессивных типов (механизированная сварка под флюсом или в защитном газе, контактная сварка, соединения на высокопрочных болтах, клееболтовые соединения и др.).
- 1.4. При проектировании стальных конструкций надлежит выполнять требования, предусмотренные главой СНиП по защите строительных конструкций от коррозии и другими нормативными документами.

Увеличение толщины листовой и профильной стали или толщины стенок труб в целях увеличения срока службы конструкций допускается лишь в случаях невозможности защиты их от коррозии. Увеличение толщины стали должно быть обосновано соответствующим расчетом. Все конструкции, как правило, должны быть доступны для наблюдения, очистки, окраски, а также не должны задерживать влагу и затруднять проветривание. Замкнутые профили должны быть герметизированы.

В несе и ы
Центральным ордена Трудового
Красного Знамени научно-исследовательским институтом строительных
конструкций им. В. А. Кучеренко
Госстроя СССР

Утверждены
Государственным комитетом
Совета Министров СССР
по делам строительства
29 декабря 1972 г.

Срок введения 1 июля 1973 г.

- 1.5. Прочность и устойчивость стальных конструкций должны быть обеспечены как в процессе эксплуатации, так и при транспортировании и монтаже.
- 1.6. Стальные конструкции следует рассчитывать как единые пространственные системы. При разделении таких систем на отдельные плоские конструкции следует учитывать совместную работу смежных элементов.

При расчете стальных конструкций надлежит, как правило, учитывать физическую нелинейность, возникающую при работе конструкций в упруго-пластической стадии, и геометрическую нелинейность, вызванную перемещением элементов конструкций.

Эти расчеты надлежит выполнять в соответствии с указаниями нормативных документов или руководств, утвержденных или согласованных в установленном порядке.

1.7. Классы и марки стали, типы электродов и материалы для механизированной сварки, а также в необходимых случаях дополнительные требования к поставляемой стали, предусмотренные ГОСТами или техническими условиями, должны указываться на рабочих (КМ) и деталировочных (КМД) чертежах стальных конструкций и в документации по заказу.

#### 2. МАТЕРИАЛЫ ДЛЯ СТАЛЬНЫХ КОНСТРУКЦИЙ И СОЕДИНЕНИЙ,

2.1. В зависимости от механических свойств при растяжении все стали, применяемые для стальных конструкций, подразделяются на условные классы прочности, именуемые в дальнейшем тексте «классами стали»: С 38/23, С 44/29, С 46/33, С 52/40, С 60/45, С 70/60, С 85/75 согласно табл. 1.

Табляца І. Классы стали для строительных конструкций

	Механически	Мехаинческие свойства при растяжен					
Клясс сталя	временное сопротивление об в кгс/см³	предел теку- чести» о <sub>ф</sub> в кгс/см <sup>2</sup>	отисситель- ное удлине- ние о, в %				
C 38/23 C 44/29 C 46/33 C 52/40 C 60/45 C 70/60 C 85/75	3800 4400 4600 5200 6000 7000 8500	2300 2900 3300 4000 4500 6000 7500	25 21 21 19 16 12				

<sup>\*</sup> При отсутствии выраженной площадки текучести за предел текучести принимается напряжение, соответствующее остаточному относительному удлинению 0.2% ( $\sigma_{0,2}$ ).

Примечание. Цифры в индексе класса обозначают: числитель — минимальная велична временного сопротивления на разрыв по ГОСТ (в кгс/мм²), знаменатель — минимальная величина предела текучести по ГОСТ (в кгс/мм²).

2.2. Марки стали, соответствующие указанным в п. 2.1 классам стали, приведены в приложении I. Физические характеристики материалов, применяемых для стальных конструкций (объемный вес, коэффициент линейного расширения, модуль упругости и коэффициент поперечной деформации), приведены в приложении 2.

2.3. В зависимости от ответственности конструкций и условий их эксплуатации все конструкции разбиваются на 9 групп. Группы и примерный перечень конструкций, а также данные для выбора марок стали приведены в приложении 1.

2.4. Выбор марок стали в пределах каждой группы и каждого диапазона расчетных температур производится на основании данных технико-экономических расчетов.

При соответствующем технико-экономическом обосновании стали марок, рекомендуемых для конструкций I группы, допускается применять для конструкций всех последующих групп при соответствующих днапазонах расчетных температур; стали марок, рекомендуемых для конструкций II группы, допускается применять для конструкций всех последующих групп. При этом характеристика ударной вязкости должна соответствовать требованиям к стали для данной группы конструкций при данных расчетных температурах.

При соответствующем технико-экономическом обосновании стали марок, применяемых при низких расчетных температурах, могут быть использованы в той же группе конструкций при более высоких расчетных температурах,

2.5. Сталь, применяемая для металлических конструкций, должна удовлетворять требованиям соответствующих ГОСТов или технических условий. Условия поставки стали для

сварных конструкций должны оговариваться на рабочих (КМ) и деталировочных (КМД) чертежах стальных конструкций и в документации по заказу.

- 2.6. Отливки (опорные части и т. п.) для стальных конструкций надлежит проектировать из углеродистой стали марок 15Л, 25Л, 35Л и 45Л, удовлетворяющей требованиям групп отливок 2 или 3 по ГОСТ 977—65\*, а также из серого чугуна марок Сч 12-28, Сч 15-32, Сч 18-36, Сч 21-40, Сч 24-44 и Сч 28-48, удовлетворяющего требованиям ГОСТ 1412—70.
- 2.7. Для сварки стальных конструкций следует применять материалы, соответствующие классу свариваемых сталей и обеспечивающие требуемые свойства сварных соединений и надлежащую технологию их выполнения. Перечень материалов для механизированной и ручной сварки и указания по их применению приведены в приложении 3.
- 2.8. Заклепки надлежит применять из углеродистой стали марки Ст 2, удовлетворяющей требованиям ГОСТ 499—70, а также из низколегированной стали марки 09Г2, удовлетворяющей требованиям ГОСТ 5058—65\*.
- 2.9. Болты грубой, нормальной и повышенной точности из углеродистых и легированных сталей классов и марок по табл. 1 ГОСТ 1759—70\* надлежит применять:
- а) в соединениях, воспринимающих сдвигающие или растягивающие усилия, определяемые по расчету, при расчетной температуре минус 40° С и выше:
- болты классов 4.6 и 5.6 грубой точности по ГОСТ 15589—70\* или ГОСТ 15591—70\* и нормальной точности по ГОСТ 7798—70\* или ГОСТ 7796—70\*, изготовленные по технологии 3 приложения 1 с пополнительными испытаниями по пп. 1, 3, 4 и 7 табл. 10 ГОСТ 1759—70\*;
- б) в соединениях, воспринимающих сдвигающие или растягивающие усилия, определяемые по расчету, при расчетной температуре мниус 65° С и выше:
- болты класса 8.8 нормальной точности по ГОСТ 7798—70\* или ГОСТ 7796—70\* и повышенной точности по ГОСТ 7805—70\* или ГОСТ 7808—70\* из стали марок 35X и 38XA с дополнительными испытаниями по пп. 1, 3 и 7 табл. 10 ГОСТ 1759—70\*.

При мечания: 1. При соответствующем технико-экономическом обосновании болты класса 5.6 разрешается заменять на болты класса 4.8 по ГОСТ 1759—70\*. Болты класса 4.8 должны применяться с дополнятельными испытаниями по пп. 1 и 5 табл. 10 ГОСТ 1759—70\* и с расчетными сопротивленнями по классу 5.6 табл. 7, пониженными на 5%.

2. При заказе болтов классов 4.6 и 4.8, в соответствии с п. 1.4 ГОСТ 1759—70\*, необходимо указать, что не допускается применение книящих или автоматных

сталей.

При заказе болтов класса 8.8, в соответствии с
 1.7 ГОСТ 1759—70\*, требуется указать, кроме класса,

также и марки стали 35Х или 38ХА

- 4. В соответствии с п. 1.9 ГОСТ 1759—70°, при технико-экономическом обосновании, по соглашению между потребителем в изготовителем, для болтов допускается применение и других марок стали с гарантиями по ударной вязкости в соответствии с приложением 1;
- в) в соединениях, не воспринимающих сдвигающих усилий, определяемых по расчету, при расчетной температуре минус 40° С и выше разрешается применять болты с подголовником грубой или нормальной точности в соответствии с классами прочности и дополнительными испытаниями по п. 2.9, а;
- г) в нерасчетных соединениях при температуре минус 65° С и выше разрешается применять болты с подголовником грубой и нормальной точности классов прочности по п. 2.9, а без дополнительных испытаний.
- 2.10. Анкерные болты надлежит применять из углеродистых и низколегированных сталей:
- а) при расчетной температуре минус 40° С и выше из стали марки ВСт3кп2 (ГОСТ 380—71\*) или, при соответствующем обосновании, из стали марок 09Г2С и 10Г2С1 (ГОСТ 5058—65\*);
- б) при расчетной температуре от минус 40° С до минус 65° С из стали марок 09Г2С и 10Г2С1 по ГОСТ 5058—65\* с гарантиями по ударной вязкости не ниже 3 кгс⋅м/см² при температуре испытания минус 40° С.
- 2.11. Высокопрочные болты надлежит применять из углеродистой стали 35 по ГОСТ 1050—60\*\* или из легированных сталей 40Х по ТУ 14-4-87-72, 40ХФА и 38ХС по ГОСТ 4543—71, термически обработанных в готовом изделии (болте). Временное сопротивление разрыву после термической обработки должно быть не ниже 8000 кгс/см² для болтов из стали 40Х, 13 500 кгс/см² для болтов из стали 40ХФА и 38ХС.

## 3. РАСЧЕТНЫЕ ХАРАКТЕРИСТИКИ МАТЕРИАЛОВ И СОЕДИНЕНИЙ

#### РАСЧЕТНЫЕ СОПРОТИВЛЕНИЯ

3.1. Расчетные сопротивления прокатной стали, отливок, а также сварных, заклепочных и болтовых соединений следует принимать по табл. 2—7.

Примечання: 1. Значения расчетных сопротивлений растяжению прокатной сталь, отливок, сварных, заклепочных и болтовых соединений получены делением (с округлением) значений нормативных сопротивлений на коэффициенты безопасности по материалам К.

2. Значения расчетных сопротивлений прокатной стали срезу и смятию получены делением (с округлением) нормативных сопротивлений на коэффициенты безопасности по материалам К и умножением на соот-

ветствующие коэффициенты перехода.

3. При применении для угловых швов сварочных материалов, соответствующих стали более высокого класса (см. п. 3 приложения 3), расчетные сопротивления сварных соединений следует принимать как для более высокого класса стали, но не выше чем 1,4 $R_y^{\text{GB}}$  (где  $R_y^{\text{CB}}$  — расчетное сопротивление по табл. 5, соответствующее классу стали данной конструкции). При этом необходимо произвести проверку прочности на срез основного металла на границе сплавления со швом.

4. Для заклепочных и болтовых соединений (табл. 6 и 7) значения расчетных сопротивлений растяжению и срезу принимаются по классу или марке стали заклепок или болтов, значения расчетных сопротивлений смятию — по классу стали соединяемых элементов конструкций.

Б. В необходимых случаях приведенные в табл. 2—7 значения расчетных сопротивлений понижаются умножением на коэффициенты условий работы т элементов стальных конструкций по табл. 8. 6. Для особо ответственных конструкций значения расчетных сопротивлений понижаются в необходимых случаях делением на коэффициент надежности  $K_n$  согласно указаниям соответствующих глав СНиП и издаваемых в развитие настоящей главы СНиП нормативных документов.

 При расчете конструкций на выносливость расчетные сопротивления понижаются умножением на коэф-

фициент у по указаниям п. 8.2.

3.2. За расчетное сопротивление растяжению высокопрочной стальной проволоки, применяемой в виде пучков или прядей, принимается значение временного сопротивления разрыву проволоки, установленное соответствующими ГОСТами, деленное на коэффициент безопасности по материалу 1,6.

3.3. Расчетное сопротивление (усилие) при растяжении стального каната принимается равным значению разрывного усилия каната в целом, установленному ГОСТами или заводскими сертификатами, деленному на коэффи-

циент безопасности по материалу 1,6.

3.4. Значения расчетных сопротивлений (усилий) высокопрочной стальной проволоки и стальных канатов в необходимых случаях понижаются умножением на коэффициенты условий работы (т) соединений конструкций и сооружений, устанавливаемые соответствующими главами СНиП или издаваемыми в развитие настоящей главы СНиП нормативными документами.

Расчетные сопротивления *R* прокатной стали

Таблица 2

	Условное	Pacse	тиме сопр	ОТИВЛЕНИЯ	в кгс/си	прокатно	й стали в	ласса
Напряженное состояние	условное обозначе- жне	C38/23	C44/29	C46/33	C52/40°	C60/45	C70/60	C85/75
Растяжение, сжатие и изгиб	R	2100 (2600)	2600 (3000)	2900 3100	3400	3800	4400	5300
Cpes	Rep	1300	1500	1700	2000	2300	2600	3100
Смятне торцовой поверхности (при наличии пригонки)	R <sub>CM-T</sub>	3200	3900	4300	5100	5700	6500	8000
Смятие местное в цилиндрических шаринрах (цапфах) при плотном касании	R <sub>CM-M</sub>	1600	2000	2200	2500	2900	3300	3900
Диаметральное сжатие катков при свобод- ном касании (в конструкциях с ограни- ченной подвижностью)	R <sub>c-H</sub> .	80	100,	110	130	150	180	200

Примечания: 1. В скобках указаны расчетные сопротивления стали растяжению для конструкций, эксплуатация которых возможна и после достижения металлом предела текучести.

2. Указанные в табл. 2 значения расчетных сопротивлений установлены для прокатной стали при толщинах, не превышающих величин, приведенных в приложении 1. При этом для прокатных двугавровых и швеллерных профилей за толщину стали принимается толщина стенки.

Продолжение табл. 2

3. При толщине прокатной стали, превышающей величины, приведенные в приложении 1, а также для марок стали, не указанных в этом приложении, значения расчетных сопротивлений растяжению, сжатию и изгибу (основные) назначаются в соответствии со значениями предела текучести или временного сопротивления разрыву, устанавливаемыми ГОСТами, техническими условиями или соглашениями между потребителем и поставщиком и принимаемыми за нормативные сопротивления стали. При этом коэффициенты безопасности по матерналам увеличиваются на 5% по сравнению со значениями, принятыми при назначении расчетных сопротивлений, приведенных в табл. 2. Производные расчетные сопротивления определяются путем умножения значения основного расчетного сопротивления на соответствующие коэффициенты перехода.
4. Расчетные сопротивления прокатной стали класса C38/23 (кроме марки 09Г2С) принимаются при толщи-

Hax: a) or 31 μο 40 MM R = 1900 krc/cm<sup>2</sup>; 6) or 41 μο 160 MM R = 1700 krc/cm<sup>2</sup>.

Таблица 3 Расчетные сопротивления R отливок из углеродистой сталн

Условное обозначе-ине Расчетные сопротивления в кгс/см<sup>3</sup> отливок из уг-леродистой стали марки Напряжению состояние 25Л 45Ji Растяжение, сжатие и 1500 | 1800 | 2100 | 2500 R изгиб . . . . . . .  $R_{cp}$ 900 | 1100 | 1300 | 1500 Смятие торцовой поверхности (при наличин  $R_{cm \cdot r}$ 2300 | 2700 | 3200 | 3700 пригонки) . . . . . Смятие местное в цилиндрических шарнирах (цапфах) при  $R_{\text{cm-m}}$ | 1100 | 1300 | 1600 | 1800 плотном касании. Диаметральное сжатие катков при свободном касании (в конструкциях с ограниченной  $R_{\text{c-g}}$ подвижностью) . . 70 60 80 100

Таблица 4 Расчетные сопротивления R отливок из серого чугуна

T de terrible comportablemin	1	t		-,-,			
Warrania a caranina	обозна•	Расчетные сопротив- ления в кгс/см <sup>2</sup> отди- вок из серого чугува марки					
Напряженное состояние	Условное чение	C4 12.28 C4 15.32	Ç 18-36.	C4 24-44, C4 28-48			
Сжатие центральное и при изгибе	Rc	1600	1800	2100			
Растяжение при изгибе .	Rn	450	600	800			
Среэ	Rep	350	450	600			
Смятие торцовой поверх- ности (при наличии пригонки)	R <sub>си-т</sub>	2400	2700	3200			

Расчетные сопротивления Reв сварных соединений

Таблица 5

Сварные соединения	Напряженное состояние	Условное обозначе- ние	Pac	ч <b>етны</b> е со	противлени конструкц	IR B KFC/CI	м <sup>в</sup> сварных али класса	соединен	ий
<del></del>		388	C38/23	C44/29	C46/33	C52/40	C60/45	C70/60	C85/75
	Сжатие	R <sub>o</sub> <sup>CB</sup>	2100	2600	2900	3400	3800	4400	5300
Встык	а) автоматическая сварка; полуавтоматическая в ручная сварка с физи- ческим контролем ка- чества швов	₽ <sup>ca</sup>	2100 (2600)	2600 (3000)	2900 (3100)	3400	3800	4400	5300
	б) полуавтоматическая и ручная сварка	R <sub>p</sub> cs	1800	2200	2500	<del>-</del>	<del></del>	_	

Продолжение табл. 5

Таблица 6

Напряженное состоянне	40ВНОе 19Н2Че-	Pac						ний
	%8≣	C38/23	C44/29	C46/33	C52/40	C60/45	C70/60	C85/75
Срез	Rep Rep	1300 1500	1500 1800	1700 2000	2000 2200	2300 2400	2600 2800	3100 3400
	Срез	Cpes	Cpe3	Cpe3	Cpe3	Cpe3	Cpe3	Cpe3

Примечания: 1. В скобках указаны расчетные сопротивления растяжению сварных соединений встык, эксплуатация которых возможна и после достижения металлом предела текучести.

2. Сварные соединения всех видов должны подвергаться визуальному контролю качества швов (наружный осмотр, измерение швов), а физический контроль качества швов (реиттено- и гаммаграфирование, ультразвуковая дефектоскопия, магнитографический способ) является дополнением к визуальному.

3. Для элементов из стали разных классов расчетное сопротивление сварного соединения встык принимает-

ся равным расчетному сопротивлению соединения встык из менее прочной стали.

4. Расчетные сопротивления сварных соединений встык установлены для швов, выполненных двухсторонней

сваркой или односторонней с подваркой корня шва.

5. При применении в соединяемых элементах конструкций проката более толстого, чем указано в приложении 1, расчетные сопротивления сварных соединений устанавливаются в соответствии с расчетными сопротивлениями основного металла (примечание 3 к табл. 2).

Расчетные сопротивления  $R^{38KA}$  заклепочных соединений

			Pacu	етиме сопрот	нвления в кгс	/CM <sup>3</sup>	
Напряженное состояние и группа соединения	Условное обозначение		стяженню сталк маркн	ОИЯТЕМО	осданяемых з на стал	лементов конс класса	трукций
		Cr. 2	09Г2	C38/23	C44/29	C46/33	C52/40
Cpes B	$R_{cp}^{sakn}$	1800 1600	2200 —	-	=	11	=
Смятне В }	Р <sup>закл</sup> см	Ξ	=	4200 3800	5200 —	5800	6800 —
Растяжение (отрыв головок) .	$R_{ m p}^{ m sagn}$	1200	1500	_	-	-	-

Примечания: 1. К группе В относятся соединения, в которых заклепки поставлены в отверствя:

а) сверленные на проектный диаметр в собранных элементах; б) сверленные на проектный диаметр в отдельных элементах и деталях по кондукторам;

в) сверленные или продавленные на меньший днаметр в отдельных деталях с последующим рассвердиванием до проектного диаметра в собраниых элементах.

К группе С относятся соединения, в которых заклепки поставлены в продавленные отверстия или в отверстия, сверженные без кондуктора в отдельных деталях (без последующего рассвердивания).

2. При применения заклепок с потайными или полупотайными головками значения расчетных сопротивлений заклепочных соединений срезу и смятию понижаются умножением на коэффициент 0,8. Работа указанных закленок на растяжение не допускается.

3. При применении в соединяемых элементах конструкций проката более толстого, чем указано в приложении 1, к табл. 2. расчетные сопротивления смятию устанавливаются в соответствии с указаниями примечания 3

https://www.zavodsz.ru/

## Расчетные сопротивления $R^{\,6}$ болтовых соединений

<u>.                                  </u>		1	1			P	эсчетные с	опротивл	ения в кго	/cm²			
Болты	Соединения	Напряженное состоя- ние и группа	Услов- ное обоз-		растяже	нию в с	резу болт	ов из ста	ДH 	СМЯТИ! ТОВ КО	о Соедин Оксточки	Яёмых 9 (Нії из	лемен-
DONES	Соединения	соединения	начение ное осоз-		класса		<u> </u>	марки		<u> </u>	кла	cca	
		<u> </u>	<u> </u>	4.6	5.6	8.8	ВСт3кп2	09F2C	10F2C1	C38/23	C44/29	C46/33	C52/40
Повышенной точ- ности	Одноболтовые и многоболтовые	Растяжение	R <sub>p</sub> <sup>6</sup>	_	_	4000	_	_		_	_	-	_
HOCIN	и миогооомговые	Срез В	R <sub>cp</sub> €		-	3000	_	_		_	<b> </b>	_	-
		Смятне В	R <sub>CM</sub>	_	-	-	_	-	_	3800	4700	5200	6100
	,	Растяжение	R <sub>p</sub> <sup>6</sup>	1700	2100	4000		_	_			<u> </u>	_
	Одноболтовые	Срез	R <sub>CP</sub>	1500	1700	3000	_	_	_	_	_	_	\ _
Нормальной точ-		Смятне	R <sub>cм</sub>	_	_	-	_	_	-	3800	4700	5200	6100
ности		Растяжение	R <sub>p</sub> <sup>6</sup>	1700	2100	4000	_	_		<u> </u>	_	<u> </u>	
	Многоболтовые	Срез	R <sub>cp</sub> <sup>6</sup>	1300	1500	2500	_	_	_	_	-	_	_
		Смятне	R <sub>cм</sub> d	-	_	-	_	_	_	3400	4200	4600	-
		Растяжение	R <sub>p</sub> <sup>6</sup>	1700	2100		_	_	_	_	<b>–</b>	_	_
	Одноболтовые	Срез	R <sup>₫</sup> <sub>cp</sub>	1500	1700	_	_	_	_	_	,	_	_
		Смятие	R <sub>cm</sub>	-	_	-	_	-	-	3800	-	-	-
Грубой точности	·	Растяжение	$R_{\rm p}^{\rm G}$	1700	2100	_	_		_	<u> </u>	_	<u>-</u>	_
	Многоболтовые	Срез	R <sub>cp</sub>	0081	1500		_		_	_	· <b>.</b>		
		Смятне	R <sup>6</sup> <sub>CM</sub>	_	_	_	-	_	_	3400	_	_	_
Анкерные	_	Растяжение	R <sub>p</sub> a	_	-	_	1400	1700	1900				

Примечания: 1, Характеристику группы В болтового соединения см. в примечании 1 к табл. 6.
2. При применении в соединяемых элементах конструкций проката более толстого, чем указано в приложении 1; расчетные сопротивления смятию устанавливаются в соответствии с указаниями примечания 3 к табл. 2.

Таблица 8

Коэффициенты условий работы т элементов стальных конструкций

Элементы конструкций	m
1. Сплошные балки и сжатые элементы ферм перекрытий под залами театров, клубов, кинотеатров, под трибунами, под помещениями магазинов, кингохранилиш и архивов и т. п. при весе перекрытий,	
равном или большем полезной нагрузки 2. Сжатые основные элементы (кроме опор- ных) решетки ферм покрытий и перекры- тий (например, стропильных и аналогич-	0,9
ных им ферм) при гибкости их х≥60 3. Сжатые раскосы пространственных решегчатых конструкций из одиночных уголков, прикрепляемых к поясам одной полкой:  а) при помощи сварных швоа или двух	0,8
и более болтов или заклепок, по- ставленных вдоль уголка: при перекрестной решетке с совме-	
щенными в смежных гранях узла- ми (рис. 9, б) при елочной и перекрестной решетке с несовмещенными в смежных гра-	0,9
нях узлами (рис. 9, в и 9, в)	0,8

#### Продолжение табл. 8

Элементы конструкций	m
б) при помощи одного болта или одной заклепки.	0,75
<ol> <li>Подкрановые балки под краны грузо- подъемностью 5 т и более тяжелого и весьма тяжелого режима работы</li> </ol>	0,9
5. Колонны жилых и общественных зданий и опор водонапорных башен	0,9
<ol> <li>Сжатые элементы из одиночных уголков, прикрепляемые одной полкой (для нерав- нобоких уголков только узкой полкой), за исключением элементов конструкций, указанных в п. 3 настоящей таблицы, и плоских ферм из одиночных уголков.</li> </ol>	0,75
Примечання: 1. Коэффициенты усл боты, установленные в пп. 1 и 2, а также в годновременно не учитываются. 2. Коэффициенты условий работы, установ пп. 2, 3 и 6, не распространяются на креплответствующих элементов конструкций в узл 3. Для сжатых раскосов пространствениетчатых конструкций (п. 3) при треуголитке с распорками (рис. 9, а) коэффициент работы не учитывается.	пп. 2 и 6, овленные пения со-пах. ных ре-ыной ре-

## 4. РАСЧЕТ ЭЛЕМЕНТОВ СТАЛЬНЫХ КОНСТРУКЦИИ НА ОСЕВЫЕ СИЛЫ И ИЗГИБ

## ЦЕНТРАЛЬНО-РАСТЯНУТЫЕ И ЦЕНТРАЛЬНО-СЖАТЫЕ ЭЛЕМЕНТЫ

4.1. Прочность элементов, подверженных центральному растяжению или сжатию силой N, проверяется по формуле

$$\frac{N}{F_{B7}} \leqslant R,\tag{1}$$

где *R* — расчетное сопротивление стали растяжению или сжатию;

 $F_{\rm нr}$  — площадь сечения элемента нетто.

**4.2.** Устойчивость центрально-сжатых элементов проверяется по формуле

$$\frac{N}{\Phi F} \leqslant R,$$
 (2)

где  $\phi$ — коэффициент продольного изгиба, принимаемый по приложению 4, табл. 53 в функции наибольшей гибкости  $\lambda = \frac{l}{r}$ ;

Г— площадь сечения элемента брутто;

l — расчетная длина элемента;

г — радиус инерции сечения.

- 4.3. Стержни из одиночных уголков рассчитываются на центральное сжатие по п. 4.2. При определении гибкости этих стержней радиус инерции сечения уголка г принимается:
- а) если стержни прикреплены только по концам минимальный;
- б) при наличии промежуточного закрепления (распорки, шпренгели, связи и т. п.), предопределяющего направление выпучивания уголка в плоскости, параллельной одной из полок, относительно оси, параллельной второй полке уголка.
- 4.4. Центрально-сжатые элементы со сплошными стенками открытого П-образного сечения при  $\lambda_x < 3\lambda_y$ , где  $\lambda_x$  и  $\lambda_y$  гибкости элемента относительно осей x и y (рис. 1), рекомендуется укреплять планками или решеткой; при этом должны быть соблюдены указания пп. 4.5 и 4.7.

При отсутствии планок или решетки такие элементы, помимо проверки по формуле (2), следует проверять на устойчивость при изгибно-крутильной форме потери устойчивости.

4.5. Для составных центрально-сжатых стержней, ветви которых соединены планками или решетками, коэффициент продольного из-

гиба  $\phi$  относительно свободной оси (перпендикулярной плоскости планок или решеток) должен определяться по приведенной гибкости  $\lambda_{np}$ , вычисляемой по формулам табл. 9.

Таблица 9

П	эиведенные ги	бкости λ <sub>пр</sub>	
Сечения стерж	н Соедини. Тельные элементы	Приведен	ные гибности
, <u> </u> -+ =	План ки	$\lambda_{np} = \gamma$	$\sqrt{\lambda_y^2 + \lambda_1^2}$ (3)
	Ре- шеткі	$\lambda_{mp} = \sqrt{\lambda}$	$\frac{2}{g} + K_1 \frac{F}{F_{p1}}$ (4)
1. 12 _	План ки	$\lambda_{\rm up} = \sqrt{\lambda}$	$\frac{1}{2+\lambda_1^2+\lambda_2^2}$ (5)
2-6- 5	Pe- merki	$\lambda_{np} = V$	$\lambda^2 + F\left(\frac{K_1}{F_{pt}} + \frac{K_1}{F_{pt}}\right)$
FI-		$+\frac{I}{F_i}$	$\left(\frac{\zeta_{\frac{1}{2}}}{\zeta_{\frac{1}{2}}}\right)$ (6)
λ — наиб λ <sub>1</sub> н λ <sub>2</sub> — гибко плост ветст	ость всего сте ой оси; ольшая гибко ость отдельны костях, перпен венно 1—1 и	ржня относ ть всего ст х ветвей при дикулярных 2—2, на уча	ержия; изгибе их в осям соот- стках между
ду ц	аренными пла ентрами крайн	их заклепок	
$ F_{p1}$ и $F_{p2}$ — пло	Іадь сечения в Ощади сечения В плоскостях,	раскосов ре	шеток, лежа-
сооті К <sub>1</sub> и К <sub>2</sub> — коэф	ветственно <i>1</i> —	<i>1</i> n 2—2;	•
сти	і от величинь	і угла 🛈 ил	и се между
	скосом и ветві этветствующих		в илоскостях
α <sub>1</sub> (α <sub>2</sub> )	30°	40°	45—60°
K <sub>1</sub> (K <sub>2</sub> )	45	31	27
Примеч вы при отноше	ание. Форм нии погонных	улы (3) и (5 жесткостей і	) справедли- планки и вет-

Гибкость отдельных ветвей  $\lambda_1$  и  $\lambda_2$  на участке между планками должна быть не более 40.

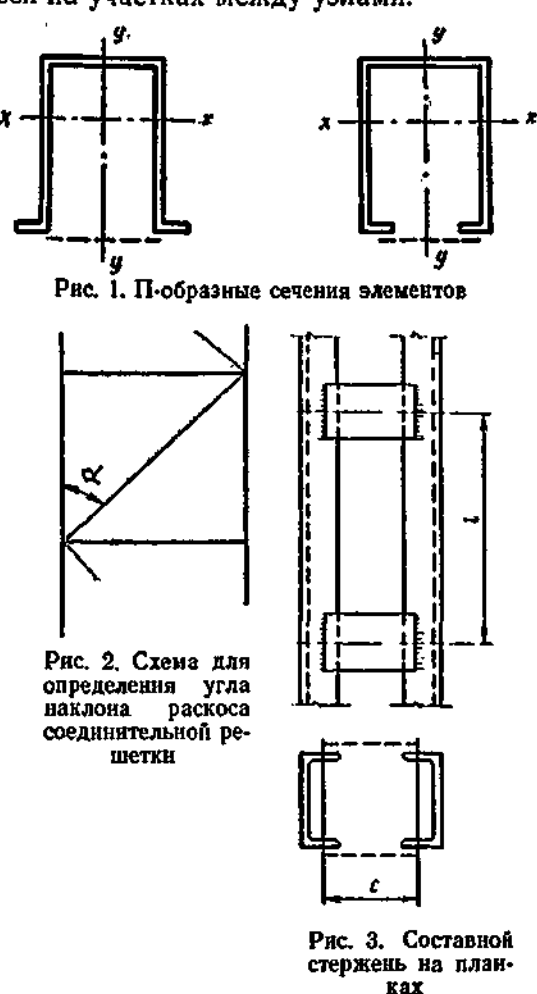
ви  $i_{\pi\pi}/i_{\pi} \gg 5$ ; при  $i_{\pi\pi}/i_{\pi} < 5$  должно быть учтено

влияние гибкости планки на величину приведенной

гибкости.

При наличии в одной из плоскостей вместо планок сплошного листа (например, по рис. 1) гибкость ветви вычисляется по радиусу инерции полусечения относительно его оси, перпендикулярной к плоскости планок.

В составных стержнях с решетками, помимо проверки устойчивости стержня в целом, следует обеспечивать устойчивость отдельных ветвей на участках между узлами.



4.6. Составные элементы из уголков, швеллеров и т. п., соединенных вплотную или через прокладки, рассчитываются как сплошностенчатые при условии, что наибольшие расстояния между их соединениями (прокладками, шайбами и т. п.) не превышают:

для сжатых элементов — 40 r; для растянутых элементов — 80 r,

где *г* — радиус инерции уголка или швеллера относительно оси, параллельной плоскости расположения прокладок.

При этом в пределах длины сжатого элемента следует ставить не менее двух прокладок. За длину сжатого элемента пояса сквозных конструкции (например, ферм) принимается его расчетная длина из плоскости фермы.

4.7. Соединительные элементы (планки или решетки) центрально-сжатых составных стержней должны рассчитываться на условную поперечную силу  $Q_{YCR}$  (в кгс), принимаемую постоянной по всей длине стержня и определяемую по табл. 10.

Таблица 10

<b>Условные</b>	поперечные	силы	Qyca
-----------------	------------	------	------

Конструкции из стали класса	Условные подеречные силы Сусл в кгс
C38/23	20 <i>F</i>
C44/29	30 <i>F</i>
C46/33; C52/40	40 <i>F</i>
C60/45	50F
C70/60	60F
C85/75	70 <i>F</i>

Если соединительные элементы расположены в нескольких параллельных плоскостях, то поперечная сила  $Q_{yc,n}$  распределяется:

- а) при наличии только соединительных планок или решеток — поровну между всеми системами планок (решеток);
- б) при наличии, наряду с соединительными планками или решетками, сплошного листа пополам между сплошным листом и всеми системами планок (решеток).
- 4.8. Соединительные планки (рис. 3) должны рассчитываться как элементы безраскосных ферм на:
- а) силу, срезывающую планку, по формуле

$$T = \frac{Q_{\rm n}t}{c} \; ; \tag{7}$$

б) момент, изгибающий планку в ее плоскости, по формуле

$$M = \frac{Q_{\rm B}l}{2} \,. \tag{8}$$

В формулах (7) и (8):

- $Q_{n}$  условная поперечная табл. 10), приходящаяся на систему планок, расположенных в одной плоскости:
- l расстояние между центрами планок; с— расстояние между осями ветвей.
- 4.9. Соединительные решетки должны рассчитываться как решетки ферм. При расчете перекрестных раскосов крестовой решетки с распорками следует учитывать дополнительные усилия, возникающие в них от обжатия поясов.

4.10. Стержни, предназначенные для уменьшения расчетной длины сжатых элементов, должны рассчитываться на усилие, равное условной поперечной силе в основном сжатом стержие, определяемой по табл. 10.

#### изгибаёмые элементы

4.11. Прочность при изгибе в одной, из главных плоскостей, за исключением случаев расчета разрезных балок, отвечающих требованиям п. 4.15, проверяется по формулам:

$$\frac{M}{W_{HT}} \leqslant R;$$
 (9)

$$\frac{QS}{I\delta} \leqslant R_{cp},$$
 (10)

где S — статический момент (брутто) сдвигаемой части сечения относительно нейтральной оси;

б — толщина стенки; R и  $R_{\rm cp}$  — расчетные сопротивления стали соот-

ветственно изгибу и срезу. При наличии ослабления отверстиями для заклепок или болтов касательные напряжения. определяемые по формуле (10), умножаются на отношение  $\frac{a}{a-d}$ , где a — шаг отверстий для

закленок или болтов; d — диаметр отверстия.

4.12. В стенках балок, за исключением случаев, оговоренных в пп. 4.15 и 4.16, должны выполняться условия:

$$\sqrt{\sigma_x^2 - \sigma_x \sigma_y + \sigma_y^2 + 3\tau_{xy}^2} \leqslant nRm;$$

$$\sigma_x \leqslant Rm; \ \sigma_g \leqslant Rm; \ \tau_{xy} \leqslant 0,6 \ Rm,$$
(11)

 $\sigma_{x}$  и  $\sigma_{a}$  — нормальные напряжения в срединной поверхности стенки, параллельные и перпендикулярные оси балки;

 т<sub>ху</sub> — касательные напряжения;
 п — коэффициент, принимаемый на опорах неразрезных подкрановых балок n=1,3; для прочих балок n = 1,15;

m— коэффициент условий работы, принимаемый по табл. 8; для прочих балок, не предусмотренных табл. 8, -m=1; на опорах неразрезных подкрановых балок в зоне растяжения от изгиба —m=1.

Все напряжения вычисляются по сечению нетто.

4.13. Местное напряжение смятия о<sub>н</sub> в стенке балки под сосредоточенным грузом, приложенным к поясу балки в местах, не укрепленных ребрами, определяется по формуле

$$\sigma_{\mathbf{x}} = \frac{n_i P}{\delta z} \tag{12}$$

и не должно превышать расчетного сопротивления стали сжатию R.

Местные напряжения в стенке подкрановых балок проверяются с учетом изгиба стенки от скручивания верхнего пояса.

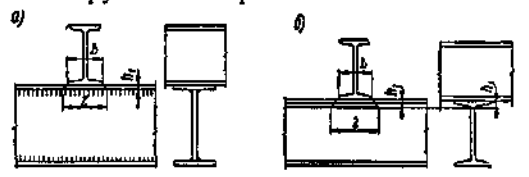


Рис. 4. Схемы для определения условной длины г распределения давления сосредоточенного груза на балку

а—сварную; б—прокатную

В формуле (12):

Р — величина расчетного сосредоточенного груза; для подкрановых балок — расчетная величина давления колеса крана без учета коэффициента динамичности;

п<sub>1</sub> — коэффициент, принимаемый равным:

1,5 — для подкрановых балок под краны «особого»\* режима работы с жестким подвесом; 1,3 — то же, при кранах с гибким подвесом;

1,1 — для прочих подкрановых балок;

1.0 — для остальных балок;

 $\delta$  — толщина стенки;

условная длина распределения давления сосредоточенного груза, принимаемая равной:

а) при подвижной нагрузке

$$z = c \sqrt[3]{\frac{J_{\pi}}{\delta}}, \qquad (13)$$

где с— коэффициент, принимаемый для сварных и прокатных балок 3,25, для клепаных балок — 3,75;

б) при непосредственном опирании на верхний пояс балки поперечной прокатной балки (рис. 4) или другой неподвижной конструкции

$$z = b + 2h_1; \tag{14}$$

где b — ширина полки поперечной балки;

h<sub>1</sub> — толщина верхнего пояса балки, если нижняя балка сварная (рис. 4, a), или расстояние от наружной грани полки до начала внутреннего закругления стенки, если нижняя балка прокатная (рис. 4, б).

Аналогичным образом должно быть проверено опорное сечение прокатной балки, не укрепленное ребрами жесткости.

4.14. Прочность изгибаемых элементов при изгибе в двух главных плоскостях, за исключением балок, удовлетворяющих требованиям п. 4.15, проверяется по формуле

$$\frac{M_x}{J_{x,\mathrm{BT}}}y \pm \frac{M_y}{J_{y,\mathrm{BT}}}x \leqslant R,\tag{15}$$

где хиу — координаты рассматриваемой точки сечения относительно его главных осей;

 $J_{x-n\tau}$  и  $J_{y-n\tau}$  — моменты инерции сечения нетто относительно осей соответственно x-x и y-y.

- 4.15. Разрезные балки постоянного сечения (прокатные и сварные) из стали классов С38/23, С44/29, С46/33, С52/40 и С60/45, несущие статическую нагрузку, проверяются на прочность по пластическому моменту сопротивления W<sup>II</sup> при условии соблюдения следующих требований:
- а) должна быть обеспечена общая устойчивость балки, для чего необходимо, чтобы либо были выполнены требования п. 4.17, а, либо значения *I/b* для сжатого пояса не превышаля 0,7 значений, приведенных в табл. 11 п. 4.17.

Учет пластичности при расчете балок с менее развитым сжатым поясом допускается лишь при выполнении условий п. 4.17, а;

- б) отношение ширины свеса сжатого пояса сварной балки к его толщине не должно превышать  $10\sqrt{2,1/R}$ , где R в  $\tau/cm^2$ ;
- в) отношение расчетной высоты стенки  $h_0$  к ее толщине  $\delta$ , при укреплении только поперечными ребрами, не должно превышать  $70\sqrt{2.1/R}$ , где R в  $\tau/cm^2$ ;
- г) касательные напряжения в месте наибольшего изгибающего момента не должны превышать 0,3*R*.

<sup>\*</sup> Қ кранам «особого» режима работы относятся краны весьма тяжелого режима работы, применяемые в металлургическом производстве.
3—1024

Проверка прочности указанных балок производится по формулам: при изгибе в одной из главных плоскостей

$$\frac{M}{W_{\text{pp}}^{\pi}} \leqslant R; \tag{16}$$

при изгибе в двух главных плоскостях

$$\frac{M_x}{W_{x,n\tau}^n} + \frac{M_y}{W_{y,n\tau}^n} \leqslant R. \tag{17}$$

Здесь M,  $M_x$ ,  $M_y$ ,  $W_{u\tau}^{\pi}$ ,  $W_{x,u\tau}^{\pi}$ ,  $W_{y,u\tau}^{\pi}$ — абсолютные значения изгибающих моментов и пласти-

ческие моменты сопротивления ослабленного сечения.

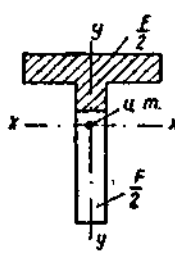


Рис. 5. Схема сечения для определения пластического момента сопротивления W<sup>m</sup>

Пластический момент сопротнвления  $W^{\pi}$  равен удвоенному статическому моменту половины площади сечения относительно оси, проходящей через центр тяжести сечения (рис. 5).

Вводимая в расчет величина  $W^{\pi}$  не должна превышать 1.2W.

Для прокатных двутавровых и швеллерных профилей следует принимать при изгибе:

в плоскости стенки  $V^{\pi}=1,12W$ ; параллельно полкам  $W^{\pi}=1,2W$ .

При наличии зоны чистого изгиба соответствующий момент сопротивления принимается равным  $0.5(W+W^n)$ .

4.16. В неразрезных и заделанных балках постоянного сечения (прокатных и сварных) со смежными пролетами, отличающимися не более чем на 20%, несущих статическую нагрузку, при условии соблюдения требований п. 4.15, расчетный изгибающий момент определяется из условия выравнивания опорных и пролетных моментов; при этом проверка прочности производится по формуле (9).

Разрешается принимать следующие значе-

ния расчетного момента  $M_{\text{pacy}}$ :

а) в неразрезных балках со свободно опертыми концами — большую из величин

$$M_{\text{pacq}} = \text{Makc}\left\{\frac{M_t}{1+\frac{u}{t}}\right\}; \tag{18}$$

 $M_{\text{pacy}} = 0.5 \,\text{make} M_2, \tag{19}$ 

где  $M_1$ ,  $M_2$ — изгибающие моменты соответственно в крайнем и промежуточном пролетах, вычисленные как в свободно опертой однопролетной балке;

u — расстояние от сечения, отвечающего моменту  $M_1$ , до крайней опоры;

I — крайний пролет.

Символ «макс» означает, что следует найти максимум всего следующего за ним выражения:

- б) в однопролетных и неразрезных балках с заделанными концами Мрасч = 0,5 М, где М наибольший из моментов, вычисленных как в балке с шарнирами на опорах;
- в) в балке с одним заделанным и другим свободно опертым концом как в крайнем пролете неразрезной балки (п. 4.16, а).

В случае изгиба в двух гламных плоскостях проверка прочности производится по формуле (15).

4.17. Устойчивость балок проверяется по формуле

$$\frac{N}{\varphi_6 W} \leqslant R, \tag{20}$$

на о лица н Наибольшие отношения 1/b, при которых не требуется проверки устойчивости балок из стали класса С38/23

		•	Наибольшие значения 1/b для балок с соотношением размеров								
Балки			h/01 -	100	1	$\hbar/\delta_{t}$	- 50				
	h/6	При нагруа- ке, прило- женной		E CBESCH ESABRCH TOUAG SKH	Re, Π	агруз- рило- ниой	ии связей независы- и прило- узки				
		к верхнему поясу	к нижнему поясу	Пря наличии св в пролете незав мо от места при жения нагрузки	к верхнему поясу	к нижнему поясу	Liph Hannster CB in policy of the CB in policy of Mecta inputed in Methods in the CB i				
Свар• ные	2 4 6	16 15 13	25 23 21	19 17 16	17 16 15	26 24 22	20 18 17				
Кле- паные	2 4 6	21 18 16	30 28 25	22 19 18	30 25 21	42 35 32	33 27 24				

Обозначения, принятые в табл. I1:

расчетная длина балки, равная расстоянию между точками закрепления сжатого пояса от поперечных смещений (узлы продольных или поперечных связей, точки опирания жесткого настила); при отсутствии связей — провет балки;

l — пролет балки;
 b и δ<sub>1</sub> — ширина и толщина сжатого пояса;
 h — полная высота сечения балки.

Примечание. Для балок из стали других классов указанные значения l/b умножаются на  $\sqrt{2,1/R}$ . (R в  $\tau$ /см<sup>2</sup>).

где Ми W — изгибающий момент и момент сопротивления в плоскости наибольшей жесткости (W вычисляется для сжатого пояса);

ф6— коэффициент, определяемый по указаниям приложения 5.

Проверки устойчивости балок не требуется:
а) при передаче распределенной статической нагрузки через сплошной жесткий настил,
непрерывно опирающийся на сжатый пояс балки и надежно с ним связанный (плиты железобетонные из тяжелого, легкого и ячеистого бетонов, металлический настил, волнистая сталь,
асбестоцементные листы и т. п.);

б) для балок симметричного двугаврового сечения или с более развитым сжатым поясом при отношениях расчетной длины балки l к ширине сжатого пояса b, не превышающих величин, приведенных в табл. 11.

## ЭЛЕМЕНТЫ, ПОДВЕРЖЕННЫЕ ДЕПСТВИЮ ОСЕВОЙ СИЛЫ С ИЗГИБОМ.

4.18. Прочность сплошностенчатых внецентренно сжатых (сжато-изогнутых) и внецентренно растянутых (растянуто-изогнутых) элементов, не подвергающихся непосредственному воздействию динамических нагрузок, проверяется по формуле

$$\left(\frac{N}{F_{\rm HT}R}\right)^{3/2} + \frac{M_x}{W_{x,\rm HT}^{\rm ft}R} + \frac{M_y}{W_{x,\rm HT}^{\rm ft}R} \leqslant 1,$$
 (21)

где  $N, M_x$  и  $M_y$  — абсолютные значения продольной силы и изгибающих моментов относительно осей

 $W_{x,\mathrm{HT}}^n$  и  $W_{y,\mathrm{HY}}^n$  — пластические моменты сопротивления ослабленного сечения относительно осей x-x и y-y.

Если  $\frac{N}{F_{\rm HT}R}$  <0,25, то применение формулы (21) разрешается лишь при выполнении требований п. 4.15. В прочих случаях проверка производится по формуле

$$\frac{N}{F_{\rm HT}} \pm \frac{M_x}{J_{x,\rm HT}} y \pm \frac{M_g}{J_{y,\rm HT}} x \leqslant R, \qquad (22)$$

где x и y — координаты рассматриваемой точки сечения относительно его главных осей.

Примечание. При отсутствии ослабления сечения и при одинаковых значениях изгибающих момен-

тов, принимаемых в расчетах на прочность и устойчивость, при проведениом эксцентрицитете  $m_1 \leqslant 20$  проверки внецентренно сжатых элементов на прочность не требуется.

4.19. Внецентренно сжатые (сжато-изогнутые) элементы должны проверяться на устойчивость как в плоскости действия момента (плоская форма потери устойчивости), так и из плоскости действия момента (изгибнокрутнльная форма потери устойчивости).

4.20. Устойчивость внецентренно сжатых элементов постоянного сечения в плоскости действия момента, совпадающей с плоскостью симметрии, проверяется по формуле

$$\frac{N}{\sigma^{8\pi}F} \leqslant R; \tag{23}$$

где N — продольная сила, приложенная с эксцентрицитетом  $e = \frac{M}{N}$ ;

 F — площадь поперечного сечения элемента брутто;

 $\phi^{en}$  — коэффициент, определяемый: для сплошностенчатых стержней по табл. 60 приложения 6 в зависимости от условной гибкости стержия  $\lambda = \lambda \sqrt{R/E}$  и приведенного эксцентрицитета  $m_1 = \eta m$  (где m — относительный эксцентрицитет,  $\eta$  — коэффициент влияния формы сечения); для сквозных стержней — по табл. 61 приложения 6 в зависимости от условной приведенной гибкости  $\lambda_{mp} = \lambda_{mp} \sqrt{R/E}$  и относительного эксцентрицитета m.

Для сплошностенчатых стержней относительный эксцентрицитет равен  $m = e \frac{F}{W}$ , где W вычисляется для наиболее сжатого волокна.

Для сквозных стержней с решетками или планками, расположенными в плоскостях, параллельных плоскости изгиба, относительный эксцентрицитет определяется по формуле

$$m_x = e_x - \frac{F_{y1}}{J_x}$$
 или  $m_y = e_y - \frac{F_{xt}}{J_y}$ , (24)

где  $x_1$  и  $y_1$  — расстояние от оси y — y или x — x до оси наиболее сжатой ветви, но не менее расстояния до оси стенки ветви.

Коэффициент влияния формы сечения п принимается по табл. 62 приложения 6.

Приведенная гибкость  $\lambda_{mp}$  для сквозных стержней определяется по формулам табл. 9.

 $\Pi$  р и м е ч а н и е. При приведенном эксцентрицитете  $m_1 > 20$  проверки устойчивости по формуле (23) не требуется.

- 4.21. Расчетные значения изгибающих моментов M, необходимые для вычисления эксцентрицитета  $e=\frac{M}{N}$ , принимаются равными:
- а) для колонн постоянного сечения рамных систем — наибольшему моменту в пределах длины колонны;
- б) для ступенчатых колонн максимальному моменту на длине участка постоянного сечения;
  - в) для консолей моменту в заделке;
- г) для стержней с щарнирно опертыми концами, имеющих одну плоскость симметрии, совпадающую с плоскостью изгиба, — моменту, определяемому по формулам табл. 12.

Таблица 12

Расчетные моменты M для стержней с шарнирно опертыми концами

Относитель.	Значение М при гибкости							
ный эксцент-	₹<4	$\overline{\lambda} > 4$						
m <b>≪</b> 3	$M = M_2 = M_{\text{Makc}} - \frac{\lambda}{4} (M_{\text{Makc}} - M_1)$	$M=M_1$						
3< m ≤ 20	$M = M_2 + \frac{m-3}{17} \times (M_{\text{Makc}} - M_2)$	$M = M_1 + \frac{m-3}{17} \times (M_{\text{Make}} - M_1)$						

Обозначения, принятые в табл. 12:

Мыяке — наибольший изгибающий момент в пределах длины стержия;

М<sub>1</sub> — наибольший изгибающий момент в пределах средней трети длины стержия, но не менее 0,5 М<sub>макс</sub>;

 $M_3$  — расчетный момент при m < 3 и  $\lambda < 4$ ;  $\lambda$  — условная гибкость, принимаемая  $\lambda = \lambda \sqrt{R/E}$ ;

m — относительный эксцентрицитет, принимаемый  $m=\frac{M_{\text{маке}}}{N}\cdot\frac{F}{W}.$ 

Примечание. Во всех случаях принимается  $M \geqslant 0.5 \ M_{\text{make}}$ .

Расчетные значения эксцентрицитетов  $m_1$  для стержней с шарнирно опертыми концами, имеющих две плоскости симметрии, вычисляются по табл. 63 приложения 6.

4.22. Устойчивость внецентренно сжатых элементов постоянного сечения из плоскости действия момента при их изгибе в плоскости наибольшей жесткости  $(J_x > J_y)$ , совпадающей с плоскостью симметрии, проверяется по формуле

$$\frac{N}{c\varphi_u F} \leqslant R, \tag{25}$$

где с— коэффициент, вычисленный по указаниям п. 4.23;

фу— коэффициент продольного изгиба, принимаемый по приложению 4.

4.23. Қоэффициент с в формуле (25) определяется по формуле

$$c = \frac{\beta}{1 + \alpha m_x},\tag{26}$$

где а и β — коэффициенты, принимаемые по табл. 13.

При определении  $m_x$  за расчетный момент  $M_x$  принимается:

а) для стержней с концами, закрепленными от смещения перпендикулярно плоскости действия момента, — максимальный момент в пределах средней трети длины (но не менее половины наибольшего по длине стержия момента);

б) для консолей — момент в заделке.

При гибкости  $\lambda_{\nu}$ , превышающей  $\lambda_{c}$  по табл. 14, коэффициент c не должен превышать: для стержней замкнутого сечения — единицы, для стержней двояко симметричного двутаврового сечения — значений, указанных в табл. 15.

4.24. Внецентренно сжатые элементы при изгибе в плоскости наименьшей жесткости  $(J_y < J_x$  и  $e_y \neq 0)$  и при  $\lambda_x > \lambda_y$ , кроме проверки по формуле (23), должны проверяться на устойчивость из плоскости действия момента как центрально-сжатые стержни по формуле

$$\frac{N}{\Phi_x F} \leqslant R,\tag{27}$$

где  $\phi_x$  — коэффициент продольного изгиба, принимаемый по приложению 4 табл. 53.

Таблица 13

Коэффициенты с и в в формуле (26)

Ī			я двугавровые и тавровые	Замкнутые вечения сплош-
Относ	нтельный эксцентри- цитет	x y y y y y		ные или о решетками
	m < 1	0,7	$1-0.3 \frac{J_2}{J_1}$ $1-[0.3-0.05 (m-1)] \frac{J_2}{J_1};$ $1-0.1 \frac{J_3}{J_1}$	0,6
α	1 < m < 5	0.7 + 0.05 (m-1)	$[-[0,3-0,05 (m-1)] \frac{\sqrt{2}}{J_1};$	0,6+0,05 (m-1)
	m > 5	0,9	$1-0.1\frac{J_3}{J_1}$	0,8
	При λ <sub>у</sub> < λ <sub>с</sub>	1,0	1,0	6,0
β	При $\lambda_y > \lambda_c$	<u>0,58</u> Ψ <sub>y</sub>	$1-(1-rac{0,58}{\phi_y})$ (2 $rac{J_2}{J_1}-1$ ) При $rac{J_2}{J_1}<0,5$ значение $\beta=1$	1,0

Обозначения, принятые в табл. 13:

 $J_1$  и  $J_2$  — моменты инерции соответственно большей и меньшей полок относительно оси симметрии сечения

 $\lambda_c$  — наименьшее значение гибкости стержия, при котором центрально-сжатый стержень териет устойчнвость в упругой стадии, определяемое по табл. 14.

Примечание. Пользование коэффициентами, установленными для стержней замкнутого сечения. допускается только при наличии не менев двух промежуточных днафрагм по длине стержня. В противном случае следует пользоваться коэффициентами, установленными для стержней открытого двутаврового сечения.

Таблица 14

	1 иокость стержней ∧ <sub>с</sub>									
ĺ	Класс стали	C38/23	C44/29	C46/33	C52/40	C60/45	C70/60	C85/75		
	λ,,	100	92	88	<b>8</b> 6	77	70	63		

Наибольшие значения коэффициентов c при  $\lambda_v > \lambda_c$ 

Таблица 15

18,	Нанбольшие эначения $c$ при $M_\chi/Nh$												
bh	0	0,15	0,30	0,45	0,60	0,75	0,90	1,05	1,20	1,35	1,50	2,25	3,00
0,1 0,5 0,8 1,0 1,5 2,0 2,5 п	1 1 1 1 1 1	0,88 0,89 0,91 0,93 0,95 0,97 0,99	0,69 0,73 0,77 0,80 0,85 0,90 0,92	0,56 0,59 0,64 0,67 0,74 0,80 0,85	0,46 0,50 0,54 0,58 0,66 0;73 0,78	0,39 0,42 0,47 0,50 0,58 0,66 0,72	0,34 0,37 0,41 0,44 0,52 0,60 0,66	0,30 0,32 0,36 0,39 0,47 0,54 0,61	0,27 0,30 0,33 0,35 0,43 0,50 0,56	0,24 0,27 0,30 0,32 0,39 0,45 0,52	0,22 0,24 0,27 0,30 0,37 0,42 0,49	0.15 0.17 0.19 0.21 0.26 0.31 0.36	0,12 0,13 0,15 0,16 0,20 0,24 0,28

Обозначения, принятые в табл. 15:

h — высота сечения;
 b и δ<sub>1</sub> — ширина и толщина пояса;
 l — расчетная длина в плоскости, перпендикулярной плоскости действия момента;
 M<sub>x</sub> — расчетный момент по п. 4.23.

Примечание. При  $\lambda_x \leqslant \lambda_y$  проверки устойчивости из плоскости действия момента не требуется.

4.25. В составных внецентренно сжатых элементах с решетками, расположенными в плоскостях, параллельных плоскости изгиба, кроме проверки стержня в целом по формуле (23), должны быть проверены отдельные ветви как центрально-сжатые стержни по форму ле (2).

Продольная сила в каждой ветви определяется при этом с учетом дополнительного усилия  $N_{доп}^{\rm B}$  от изгибающего момента; величина этого усилия при параллельных ветвях (поясах) определяется по формуле  $N_{доп}^{\rm B} = M/h$ , где h — расстояние между осями ветвей (поясов).

При аналогичной проверке отдельных ветвей составных элементов с планками, расположенными в плоскостях, параллельных плоскости изгиба, должен быть учтен местный изгиб ветвей от фактической поперечной силы (как в поясах безраскосной фермы).

**4.26.** Устойчивость элементов со сплошной стенкой, подверженных сжатию и изгибу в обеих главных плоскостях, при совпадении плоскости наибольшей жесткости  $(J_x > J_y)$  и плоскости симметрии проверяется по формуле

$$\frac{N}{\Phi_{xa}^{BB}F} \leqslant R. \tag{28}$$

Здесь  $\varphi_{xy}^{\text{ви}} = \varphi_y^{\text{ви}} \sqrt{c}$ ,

где  $\phi_y^{\text{вн}}$  — определяется в соответствии с указаниями п. 4.20;

с — согласно указаниям п. 4.23.

Примечание. При вычислении  $m_{1y} = \eta m_y$  для стержией двутаврового сечения с неодинаковыми полками коэффициент влияния формы сечения  $\eta$  определяется по сечению 2 табл. 62 приложения 6,

Если  $m_{1y} < 0.8 m_x$ , то помимо проверки по формуле (28) следует произвести проверку по формулам (23) и (25), принимая  $e_y = 0$ .

Если  $\lambda_x > \lambda_v$ , то следует произвести дополнительную проверку по формуле (23), принимая  $e_v = 0$ .

В случае несовпадения плоскости наибольшей жесткости  $(I_x > I_y)$  и плоскости симмет-

рии расчетная величина  $m_{\pi}$  увеличивается на 25%.

4.27. Составные стержии из двух сплошностенчатых ветвей с решетками в двух параллельных плоскостях (рис. 6), подверженные сжатию и изгибу в обеих главных плоскостях, следует проверять:

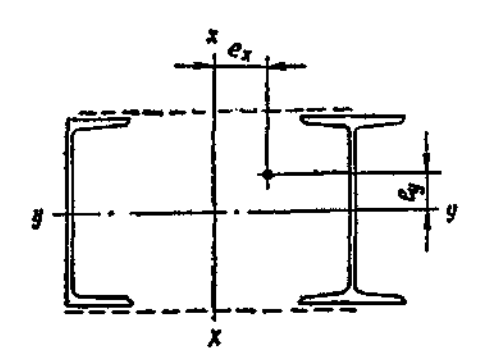


Рис. 6. Составное сечение стержня из двух сплошностенчатых ветвей

- а) на устойчивость стержня в целом в плоскости, параллельной плоскостям решеток, по п. 4.20, считая при этом эксцентрицитет  $e_v=0$  (рис. 6);
- б) на устойчивость отдельных ветвей как внецентренно сжатых элементов по формулам (23) и (25); при этом продольная сила в каждой ветви определяется с учетом дополнительного усилия от момента  $M_{\pi}$  (см. п. 4.25), а момент  $M_{y}$  разрешается распределять между ветвями пропорционально их жесткостям; если  $M_{y}$  действует в плоскости одной из ветвей, то разрешается считать его полностью передающимся на эту ветвь.

При проверке отдельной ветви по формуле (25) гибкость ее определяется по максимальному расстоянию между узлами решетки.

4.28. Соединительные элементы (решетки пли планки) составных внецентренно сжатых стержней должны рассчитываться на поперечную силу, равную большей из величин: фактической поперечной силы или условной поперечной силы Q<sub>усл</sub>, вычисленной согласно указаниям п. 4.7.

Примечание. В случае, когда фактическая поперечная сила больше условной, соединение ветвей составных внецентренно сжатых элементов с помощью планок, как правило, не допускается.

#### опорные части

4.29. Неподвижные шарнирные опоры с центрирующими прокладками и тангенциальные опоры, а при весьма больших реакциях балансирные опоры следует применять при необходимости строго равномерного распределения давления под опорой.

В случаях, когда нижележащая конструкция должна быть разгружена от горизонтальных усилий, возникающих при неподвижном опирании балки или фермы, следует применять плоские или катковые подвижные опоры.

Коэффициент трения в плоских подвижных опорах принимается равным 0,3, в катках — 0.03.

4.30. В цилиндрических шарнирах (цапфах) балансирных опор проверка напряжений смятия производится (при центральном угле касания поверхностей, равном или большем п/2) по формуле

$$\frac{A}{1.25rl} \leqslant R_{\text{GM-M}}, \tag{29}$$

где А- давление на опору;

r — радиус шарнира;

l — длина шарнира;

R<sub>см.м</sub> — расчетное сопротивление местному смятию при плотном касании, принимаемое по табл. 2 и 3.

4.31. Расчет на днаметральное сжатие катков производится по формуле

$$\frac{A}{ndt} \leqslant R_{\text{c.s.}},\tag{30}$$

где A— то же, что в формуле (29);

n — число катков;

d — диаметр катка;

l — длина катка;

R<sub>с.к</sub> — расчетное сопротивление диаметральному сжатию катков при свободном касании, принимаемое по табл.

## 5. РАСЧЕТНЫЕ ДЛИНЫ ЭЛЕМЕНТОВ СТАЛЬНЫХ КОНСТРУКЦИИ И ПРЕДЕЛЬНЫЕ ГИБКОСТИ

#### РАСЧЕТНЫЕ ДЛИНЫ

## Плоские фермы и связи

5.1. Расчетные длины  $l_0$  при определении гибкости элементов с симметричными относительно плоскости фермы сечениями, за исключением пересекающихся стержней ферм с перекрестной решеткой, должны приниматься по табл. 16.

Таблица 16

Расчетные длины  $I_0$  элементов плоских ферм (за исключением пересекающихся стержней ферм с перекрестной решеткой)

	Расчетная длина l <sub>e</sub>					
Направление продольного изгиба	поясов	опорных раскосов и опорных стсек	прочих элементов решетки			
В плоскости фермы В направлении, перпен-	t	1	0,81			
дикулярном плоскости фермы (из плоскости фермы)	l <sub>i</sub>	<sub>t1</sub>	<i>t</i> <sub>1</sub>			

Обозначения, принятые в табл. 16 и на рис. 7: 1— геометрическая длина элемента (расстояние между центрами узлов) в плоскости фермы; 
1— расстояние между узлами, закрепленными от 
смещения из плоскости фермы (поясами ферм, спецяальными связями; жесткими плитами покрытий, Продолжение табл. 16

прикрепленными к поясу сварными швами или болтами, и т. п.).

Примечания: 1. Если по длине  $l_1$  элемента действуют сжимающие усилия  $N_1$  и  $N_2 < N_1$  (рис. 8), то устойчивость этого элемента из плоскости фермы проверяется на большее усилие  $N_1$  при расчетной длине

$$l_0 = l_1 (0.75 + 0.25 \frac{N_2}{N_1}).$$

2. Для отдельных элементов решетки из одиночных уголков расчетная длина  $l_0$  принимается равной их геометрической длине.

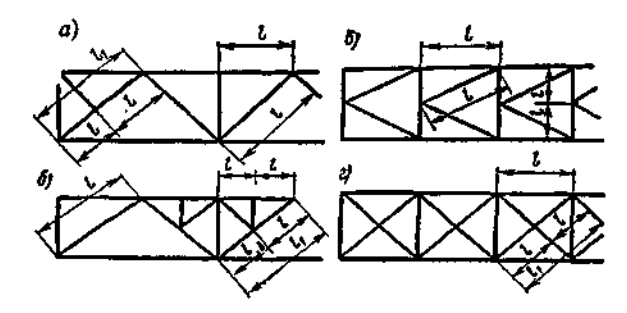


Рис. 7. Схемы ферм для определения расчетных длип элементов

a — треугольная решетка со стойками;  $\delta$  — то же, со шпренгелем;  $\epsilon$  — полураскосная треугольная решетка;  $\epsilon$  — перекрестная решетка со стойками

5.2. Расчетные длины  $l_0$  пересекающихся стержней фермы с перекрестной решеткой при определении их гибкости должны приниматься (рнс. 7, z):

в плоскости фермы — равными расстоянию от центра узла фермы до точки их пересечения  $(l_0=l)$ ;

из плоскости фермы --- по табл. 17.

Радиусы инерции сечений сжатых элементов из одиночных уголков при этом принимаются: при  $l_0 = l - r_{\text{мин}}$ ; при  $l_0 = 0.7 l_1$  и  $l_0 = l_1$  относительно оси сечения уголка, параллельной плоскости фермы.

Таблица 17

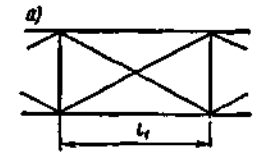
## Расчетные длины $l_0$ на плоскости фермы сжатых стержией перекрестной решетки

Характеристика узла пере-	Расчетная длина 1, если под- держивающий стержень				
сечения стержней решетки	растянут	не рабо- тает	сжат		
Оба стержня не прерываются	t	0,7 1,	<i>l</i> <sub>1</sub>		
перекрывается фасон- кой	0,7 t <sub>i</sub>	<i>l</i> <sub>1</sub>	1,4 l1		

Обозначения, принятые в табл. 17:

грасстояние от центра узла фермы до пересечения стержней;

 $l_{f 1}$  — полная геометрическая длина сжатого стержня.



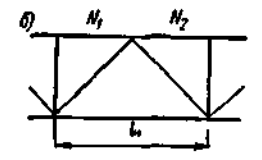


Рис. 8. Схемы для определения расчетной длины элемента с различными усилиями  $N_1$  и  $N_2$  по его дллие a— схема связей между фермами (вид сверху);  $\delta$ — схема фермы

# Пространственные решетчатые конструкции из одиночных уголков

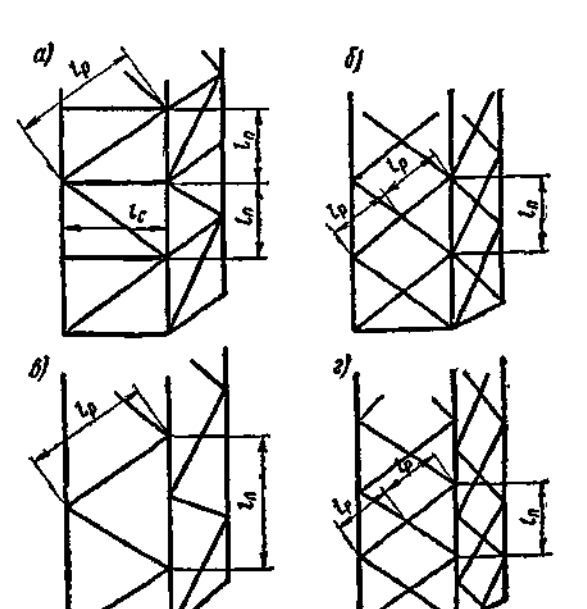
5.3. Расчетные длины  $l_0$  и радиусы инерции сечений при определении гибкости элементов пространственных решетчатых конструкций из

одиночных уголков должны приниматься по табл. 18.

Таблина 18

Расчетные длины  $l_0$  и раднусы инерции сечений r элементов пространственных решетчатых конструкций

]	П	ояса	Элементы решетки			
Конструкция	18.5	икер-	расче	икер.		
	расчетная длица 💪	раднус ция г	раскоса	стой- кн	раднус внер- ция г	
С совмещенными в смежных гранях узлами (рис. 9, а и б)	t <sub>n</sub>	<i>г</i> мин		0,8 lc	FESTE	
н г)	μ <sub>π</sub> <i>l</i> π	<i>r<sub>x</sub></i> или <i>r</i> у	$\mu_{\mathbf{p}} l_{\mathbf{p}}$		r <sub>mah</sub>	
Обозначения, прин	ятые в т расч габл. 1	табл. 18 етной дл 9;	, В: пины по:	RCB, OD		



ляемый по табл. 20.

Рис. 9. Схемы пространственных решетчатых конструкций из одиночных уголков

а — узлы в смежных гранях совмещены, треугольная решегка с распорками; б — то же, перекрестная решегка;
 в — узлы в смежных гранях не совмещены, треугольная решегка;
 г — то же, перекрествая решегка

Таблица

Таблица 19 Коэффициенты μπ при прикреплении раскосов к поясу сварными швами, а также двумя и более болтами или заклепками, расположенными вдоль раскоса

$i_{\rm n}/i_{\rm p}$	1,0	1,25	2,5	5,00	10,0	Обозначения. принятые в табл. 19 $\frac{l_{\rm II}}{l_{\rm p}} = \frac{J_{\rm II.MHH} \ l_{\rm p}}{J_{\rm p.MHH} \ l_{\rm II}} = \text{отношение наименьших погонных жестко-}$
μπ	0,98	1,00	1,03	1,08	1,13	стей пояса и раскоса; $J_{\text{п-мив}}$ и $J_{\text{р-мин}}$ наименьшие моменты инерции сечений пояса и раскоса.  Примечение Если раскосы прикреплены и поясу одним болтом или одной заклепкой, принимается $\mu_{\text{п}} = 1,14$ .

Таблица 20

Коэффициенты µр при прикреплении раскосов к поясу сварными швами, а также болтами или заклепками, расположенными вдоль раскоса

Соединение раскоса с поясом	Коэффициенты $\mu_{\mathbf{p}}$ при $l_{\mathbf{p}}/r_{\mathbf{m}\mathbf{n}\mathbf{n}}$						
Соединение раскоса с поясом	<80	100	120	140	160	180	200
Сварными швами	0,98 0,92 1,00	0,89 0,84 0,94	0,63 0,78 0,88	0,77 0,74 0,83	0,74 0,70 0,80	0,72 0,70 0,78	0,70 0,70 0,77
Обозначения, принятые в табл, 20: $l_{\rm H}/l_{\rm p}$ — то же, что в т инерция сечения раскоса.	абл. 19; / <sub>р</sub> -	-длина рас	скоса по ј	онс, 9; г <sub>м</sub>	<sub>нн</sub> — жин	ниальный	раднус

Коэффициенты колони и стоек	µ для определения постоянного сечения	Таблица 21 расчетных длин п (кроме колони
	угим защемлением к	

№ п.п.	Схема закреплений и нагрузки	μ	№ п.п.	Схема закреплений и нагрузки	μ
1	mm.	2	5		1
2	# H	1	6	T William	2
3	<del>1</del> /11/11	0,7	7		0,725
4	1111.	0,5	8	7000.	1,12

-1024

Коэффициенты р для колони постоянного сечения одноэтажных рам (при определении расчетной длины в плоскости рамы при нагружении верхних узлов)

Закрепление нижнего			Козф	рициент	ու μ ոլ	ри <i>I<sub>p</sub>/I</i>	к	
нажаето конца колон- ны в фунда- менте	0	0,2	0,3	0,5	1	2	3	>10
Жесткое Шарнирное	2	1.5 3.42	1,4 3,0	1,28 2,63	1,16 2,33	1,08 2,17	1.06 2.11	1 2

Обозначения, принятые в табл. 22:

 ір — сумма погонных жесткостей ригелей, примыкающих к проверяемой колоние;

- погонная жесткость колонны.

Примечания: 1. При шарнирном креплении ригеля к колонне принимается  $i_{\rm p} [i_{\rm K} = 0]$ .

2. При неравномерном распределении нагрузки между колоннами и наличии сплошного диска (жесткой кровли, продольных связей), связывающего поверху все колонны, значение р. для более нагруженной колонны находится умножением значения р

из табл. 22 на 
$$\sqrt{\frac{\Sigma N}{N_*} \cdot \frac{J_*}{\Sigma J}}$$
, но не менее чем на 0,7.

Здесь  $N_*$  — расчетное усилие в рассматриваемой колонне;  $J_*$  — момент инерции этой же колонны;  $\Sigma N$  — сумма усилий в колоннах;  $\Sigma J$  — сумма моментов инерции сечений колони.

При суммировании учитываются все колонны рассматриваемой рамы и четырех соседних рам блока (по две с каждой стороны). Все усилия находятся при одном загружении,

вызывающем усилие  $N_{\bullet}$  в проверяемой коложие.

#### Колонны (стойки)

5.4. Расчетные длины  $l_0$  колонн (стоек) или отдельных их участков (в случае ступенчатых колонн) определяются по формуле

$$l_0 = \mu l$$

где l— длина колонны, отдельного участка ее или высота этажа;

Примечание. В случае ступенчатых колони коэффициенты и даны для определения расчетных длин отдельных участков их в плоскости рамы,

- 5.5. Коэффициенты р для определения расчетной длины колони и стоек постоянного сечения, в зависимости от условий закрепления их концов, принимаются по табл. 21 и 22.
- 5.6. При определении коэффициентов расчетной длины р для ступенчатых колони рам одноэтажных производственных зданий разрешается:
- а) не учитывать влияния степени загружения и жесткости соседних колони;
- б) определять расчетные длины колонн лишь для комбинации нагрузок, дающей наибольшие значения продольных сил на отдельных участках колонн, и полученные значения и использовать для других комбинаций нагрузок;
- в) для многопролетных рам (с числом пролетов два и более) при наличии сплошного диска (жесткой кровли, систем продольных связей), связывающего поверху все колонны и обеспечивающего пространственную работу сооружения, определять расчетные длины колони как для стоек, неподвижно закрепленвых на уровне ригелей.

Коэффициенты расчетной длины µ для ступенчатых колонн рам одноэтажных производственных зданий определяются по указаниям приложения 7.

При соблюдении условий  $l_2/l_1 \le 0,6$  и  $N_1/N_2 \ge 3$  коэффициент  $\mu$  для определения расчетных длин отдельных участков одноступенчатых колони рам одноэтажных производственных зданий в плоскости рамы допускается принимать по табл. 23.

Таблица 23

Коэффициенты  $\mu$  для определения расчетных длин одноступенчатых колони рам одноэтажных иронзводственных эданий при  $I_2/I_1 \leqslant 0.6$  и  $N_1/N_2 \gg 3$ 

		венты и для миноком в	
Условия закрепления верхнего конка колонны	<b>3</b> 4%##	го при	2
	$0.3 > \frac{J_1}{J_1} > 0.1$	$0.1 > \frac{J_3}{J_4} > 0.05$	вержиего
Свободный конец	2,5	3,0	3,0
Конец, закрепленный только от поворота	2,0	2,0	3,0
Неподвижный, шарнирно опертый конец	1,6	2,0	2,5
Неподвижный, закреп- ленный от поворота конец	1,2	1,5	2,0

Обозначения, принятые в табл. 23:

 $l_1,\ J_1,\ N_1$ — соответственно длина инжиего участка колонны, момент инерции и действующая на этом участке продольная сила;  $l_2,\ J_2,\ N_3$ — то же, для верхнего участка колонны.

- 5.7. Коэффициенты расчетной длины µ для стоек многоэтажных рам определяются согласно указаниям приложения 7.
- 5.8. Расчетные длины колони рам в направлении вдоль здания (из плоскости рам) принимаются равными расстояниям между закрепленными точками (опорами колони, подкрановых балок и подстропильных ферм; узлами крепления связей и ригелей и т. п.).
- 5.9. Расчетная длина ветвей плоских опор транспортерных галерей принимается равной:
- а) в продольном направлении галерен высоте опоры (от низа базы до оси нижнего пояса фермы);
- б) в поперечном направлении (в плоскости опоры) расстоянию между центрами узлов; при этом должна быть также проверена общая устойчивость опоры в целом как составного стержня, защемленного в основании и свободного вверху.

Таблица 25

## предельные гибкости элементов

#### Сжатые элементы

5.10. Гибкости сжатых элементов не должны превышать величин, приведенных в табл. 24.

Таблица 24 Предельные гибкости  $\lambda$  сжатых элементов

Элементы конструкция	Максимальная допускаемая гибкость Х
<ol> <li>Пояса, опорные раскосы и стойки ферм, передающие опорные реакции.</li> <li>Прочие элементы ферм.</li> <li>Верхние пояса стропильных ферм, остающиеся не закрепленными в процессе монтажа (предельная гибкость после завершения мон-</li> </ol>	120 150
тажа должна приниматься по п. 1) 4. Основные колонны (стойки фахверка, фонарей и т. п.), элементы решетки колони, элементы вертикальных связей между колон-	220 120
нами (ниже подкрановых балок). 6. Элементы связей (за исключением	150
связей, указанных в п. 5)	200
менты	200

Примечание. Предельная гибкость сжатых раскосов (кроме опорных) пространственных решетчатых конструкций из одиночных уголков принимается: при использовании несущей способности раскоса до 50% — равной 180; при использовании несущей способности от 50 до 100% — по интерполяции между величинами 180 и 150.

#### Растянутые элементы

5.11. Гибкости растянутых элементов не должны превышать величин, приведенных в табл. 25.

## Предельные гибкости 2 растянутых элементов

		даа и соор)	Конструк- жений
Элементы конструкций к н	при не- посред- ственном воздей- сти и на онструк- дю дина- и дина- и дина- и дина-	при воз- действин на конста- рукцию статиче- ских нагрузок	при воз- действии на конст- рукцию краяов «особого» режима работы и железно- дорожных составов
1. Пояса и опорные раскосы ферм			
(включая тормоз- ные фермы)	250	400	250
2. Прочие элементы ферм 3. Нижние пояса под-	350	400	300
крановых балок в ферм	150	_	150
между колоннами (ниже подкрано- вых балок)	300	300	200
5. Прочие элементы связей	400	400	300

Примечания: 1. В сооружениях, не подвергающихся динамическим воздействиям, гибкость растянутых элементов проверяется только в вертикальных плоскостях.

Гибкость растянутых элементов связей, подвергнутых предварительному напряжению, не ограничивается.

3. При проверке гибкости растянутых стержней перекрестной решетки из одиночных уголков раднус инерцив сечения уголка принимается относительно оси, параллельной полке уголка.

4. Для растянутых расносов стропильных ферм с незначительными усилиями, в которых при неблагоприятном расположении нагрузки может изменяться знак усилия, предельная гибкость принимается как для сжатых элементов, при этом соединительные прокладки должны устанавливаться не реже чем через 40 г.

## 6. ПРОВЕРКА УСТОЙЧИВОСТИ СТЕНОК И ПОЯСНЫХ ЛИСТОВ ИЗГИБАЕМЫХ И СЖАТЫХ ЭЛЕМЕНТОВ.

#### СТЕНКИ БАЛОК

- 6.1. Стенки балок для обеспечения их устойчивости укрепляются:
- а) поперечными основными ребрами, поставленными на всю высоту стенки;
- б) поперечными основными ребрами и продольными ребрами;

4\*

- в) поперечными основными и промежуточными короткими ребрами и продольным ребром; промежуточные короткие ребра располагаются между сжатым поясом и продольным ребром;
- г) поперечными основными и промежуточными, расположенными в сжатой зоне стенки, короткими ребрами— только в клепаных балках.

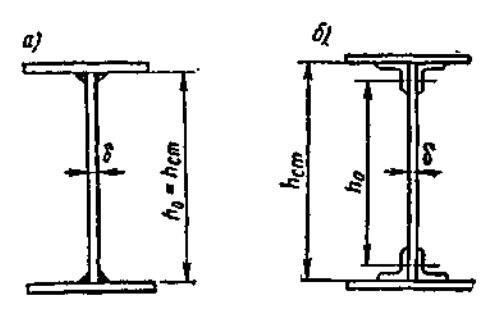


Рис. 10. Расчетная высота стенки балки а — сварной: б — клеваной

Прямоугольные отсеки стенки (пластинки), заключенные между поясами и соседними поперечными основными ребрами жесткости, проверяются на устойчивость; при этом расчетными размерами проверяемой пластинки являются;

а — расстояние между осями поперечных основных ребер;

h<sub>0</sub> — расчетная высота стенки, равная в сварных конструкциях полной высоте стенки (рис. 10, a), в клепаных конструкциях — расстоянию между ближайшими к оси балки рисками поясных заклепок (рис. 10, б), в гнутых профилях — между краями выкружек (рис. 15);

толщина стенки.

6.2. Проверка устойчивости стенок балок должна производиться с учетом всех компонентов напряженного состояния (σ, т и σ<sub>м</sub>).

Напряжения  $\sigma$ ,  $\tau$  и  $\sigma$ м вычисляются в предположении упругой работы материала по сечению брутто без учета коэффициента  $\phi$ 6:  $\sigma$ =  $= \frac{M}{J_x} y$ — краевое сжимающее напряжение у расчетной границы отсека (принимается со знаком  $\leftarrow$ +»); если длина отсека не превосходит его расчетной высоты, то  $\sigma$  определяется по среднему значению изгибающего момента M в пределах отсека; если длина отсека превосходит его расчетную высоту, то  $\sigma$  вычисляется по среднему значению момента M для наиется среднему значению момента M для наиется по среднему значению момента M для наиется среднему значению момента M для наиется по среднему значению момента M для наиется среднему значениется среднему значение M для наиется среднему значениется среднем

более напряженного участка с длиной, равной расчетной высоте отсека;

 $\tau = \frac{Q}{h_{\rm cr}\delta}$  — среднее касательное напряжение; где Q — среднее значение поперечной силы в пределах отсека;

 $h_{\rm cr}$  — полная высота стенки (рис. 10);

бм — местное напряжение в стенке под сосредоточенным грузом, определяемое по формуле (12), в которой коэффициент n<sub>1</sub> принимается: для подкрановых балок 1,1, для прочих балок 1.

В отсеках, где сосредоточенная нагрузка приложена к растянутому поясу, одновременно учитываются только два компонента напряженного состояния о и т или ом и т.

**6.3.** Проверки устойчивости стенок в балках не требуется, если при отсутствии местного напряжения, т. е. при  $\sigma_{\rm M} = 0$ 

$$\frac{h_0}{\delta} \leqslant 110 \sqrt{\frac{2,1}{R}}, \qquad (31)$$

а при налични местного напряжения

$$\frac{h_0}{\delta} \leqslant 80 \sqrt{\frac{2,1}{R}} \,. \tag{32}$$

где R в  $\tau/cm^2$ .

При этом должны ставиться поперечные основные ребра жесткости в соответствии с указаниями п. 6.9.

6.4. Устойчивость стенок балок симметричного сечения, укрепленных только поперечными основными ребрами жесткости, при отсутствии местного напряжения ( $\sigma_{\mathbf{w}}$ =0) проверяется по формуле:

$$\sqrt{\left(\frac{\sigma}{\sigma_0}\right)^2 + \left(\frac{\tau}{\tau_0}\right)^2} \leqslant 1, \tag{33}$$

где

$$\sigma_0 = K_0 \left(\frac{100\delta}{h_0}\right)^2 \tau / c_M^2;$$
 (34)

$$\tau_0 = \left(1,25 + \frac{0.95}{\mu^2}\right) \left(\frac{100\delta}{d}\right)^2 \text{ T/cm}^2.$$
 (35)

В формуле (35):

d — меньшая из сторон пластинки;

 и — отношение большей стороны пластинки к меньшей.

Коэффициент  $K_0$  в формуле (34) для сварных балок принимается по табл. 26 в зависимости от величины

$$\gamma = C \frac{b_{\rm n}}{h_{\rm o}} \left( \frac{\delta_{\rm n}}{\delta} \right)^3, \tag{36}$$

где  $b_{\mathrm{n}}$  и  $\delta_{\mathrm{n}}$  — соответственно ширина п толщина сжатого пояса балки;

С — коэффициент, принимаемый по табл. 27.

Таблица 26

Коэффициенты Ко для сварных балок

Ī	γ	<0,8	1,0	2,0	4,0	6,0	10,0	>30
	$K_0$	6,30	6,62	7,0	7,27	7,32	7,37	7,46

Таблица 27

Коэффициент С в формуле (36)

Балки	Условия работы сжатого пояса	С,
Подкрановые Прочне	Крановые рельсы не приварены Крановые рельсы приварены . При непрерывном опирании на сжатый пояс жестких плит . В прочих случаях	2 ∞ ∞ 0,8

Примечание. Для отсеков подкрановых балок, где сосредоточенная нагрузка приложена к растянутому поясу, при вычислении коэффициента  $K_0$  принимается C = 0.8.

Для клепаных балок  $K_0 = 7$ .

Если нагружается растянутый пояс, то при проверке стенки с учетом только  $\sigma_{\rm M}$  и  $\tau$  за  $b_{\rm R}$ ,  $\delta_n$  принимается соответственно ширина и толщина нагруженного пояса.

6.5. Устойчивость стенок балок симметричного сечения, укрепленных только поперечными основными ребрами жесткости (рис. 11), при наличии местного напряжения (ом≠0) проверяется по формуле

$$\sqrt{\left(\frac{\sigma}{\sigma_{\mathbf{a}}} + \frac{\sigma_{\mathbf{M}}}{\sigma_{\mathbf{M}0}}\right)^2 + \left(\frac{\tau}{\tau_{\mathbf{b}}}\right)^2} \leqslant m, \tag{37}$$

т — коэффициент, принимаемый для где балок: подкрановых 0,9; прочих 1,0;

σ, σм н τ -- определяются согласно указаниям п. 6.2;

 $\tau_0$  — определяется по формуле (35).

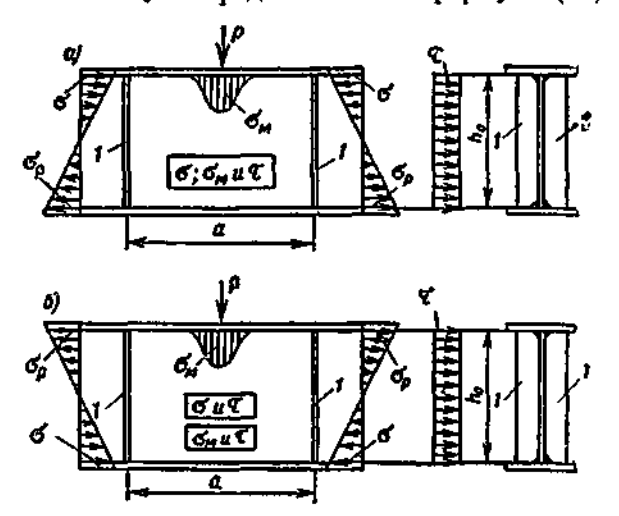


Рис. 11. Схема балки, укрепленной поперечными основными ребрами жесткости (1)

a — сосредоточенный груз P приложен к сжатому поясу 6 — то же, к растянутому поясу

Остальные величины в формуле (37) определяются следующим образом:

а) при  $\frac{a}{h_0} \le 0.8$  принимается:  $\sigma_0$  — по формуле (34);

$$\sigma_{M0} = K_1 \left(\frac{100\delta}{a}\right)^2 \text{T/cm}^2,$$
 (38)

где  $K_1$  — коэффициент, принимаемый для сварных балок по табл. 28 в зависимости от отношения  $a/h_0$  и величины  $\gamma$ , определяемой по формуле (36), а для клепаных балок — по той же таблице при значении  $\gamma = 10$ ;

Коэффициенты К, для сварных балок

Таблица 23

	]	Значение К, при с/h,							
Ψ	€0,5	0,6	0,8	1,0	1,2	1,4	1,6	1,8	>2,0
<1 2 4 6 10 >30	2,42 2,52 2,59 2,60 2,61 2,62	2,61 2,74 2,80 2,84 2,86 2,87	3.10 3.38 3.48 3.52 3.55 3.55	3.78 4.28 4.53 4.64 4.72 4.81	4,65 5,39 5,91 6,11 6,30 6,50	5,69 6,75 7,62 8,04 8,34 8,75	6,86 8,23 9,50 10,23 10,71 11,30	8,17 9,77 11,53 12,48 13,30 14,33	9,57 11,70 13,67 14,80 16,08 17,57

Таблица 29

Предельные значения он/о для балок симметричного сечени	Предедьные	значения	$\sigma_{\mu}/\sigma$	Вля	балок	симметричного	сечени
---	------------	----------	-----------------------	-----	-------	---------------	--------

Балки		Предельные значення $\sigma_{_{\mathbf{M}}}/\sigma$ при $a/h_{_{0}}$ , ра							
	7	0,8	0,9	1,0	1,2	1,4	1,6	1,8	>2,00
Сварные	<1 2 4 5 10 ≥30	0 0 0 0 0	0,146 0,109 0,072 0,066 0,059 0,047	0,183 0,169 0,129 0,127 0,122 0,112	0,267 0,277 0,281 0,288 0,296 0,300	0,359 0,406 0,479 0,536 0,574 0,633	0,445 0,543 0,711 0,874 1,002 1,283	0,540 0,652 0,930 1,192 1,539 2,249	0,618 0,799 1,132 1,468 2,154 3,939
Клепаные	-	0	0,121	0;184	0,378	0,643	1,131	1,614	2,347

б) при  $\frac{a}{h_0}>$ 0,8 различаются два случая в зависимости от значений отношения  $\frac{\sigma_{\rm H}}{a}$ .

1-й случай:  $\frac{\sigma_{\rm M}}{\sigma}$  больше значений, указанных в табл. 29. В этом случае принимается:  $\sigma_{\rm M0}$ — по формуле (38), причем если  $\frac{a}{h_0} > 2$ , то принимается  $a = 2h_0$ :

$$\sigma_0 = K_2 \left( \frac{100 \, \delta}{h_0} \right)^2, \tag{39}$$

где  $K_2$ — коэффициент, определяемый по табл. 30 в зависимости от отношения  $a/h_0$ .

2-й случай:  $\frac{\sigma_M}{\sigma}$  не больше значений, указанных в табл. 29. В этом случае принимается:  $\sigma_0$  — по формуле (34);

— по формуле (38), но с подстановкой а/2 вместо а как в формулу (38), так и в табл. 28.

Таблица 30

Коэффициенты K<sub>2</sub>

a/h,	<0,8	0,9	1,0	1,2	1,4	1.6	1,8	>2,0
К,	По табл. 26, т. е. K <sub>2</sub> == K <sub>0</sub>		8,23	9,50	11,1	13,02	15,25	17,79

Таблица 31 Комффициенты К'в формуле (43)

τοσφι	PRINTER 20	n dobujuc /	···
$\mu = a/b_1$	1	1,5	2
K'	0,36	0,42	0,45

Во всех случаях то вычисляется по действительным размерам отсека.

6.6. В стенке балки симметричного сечения, укрепленной кроме поперечных основных ребер одним продольным ребром жесткости, расположенным на расстоянии b<sub>1</sub> от расчетной

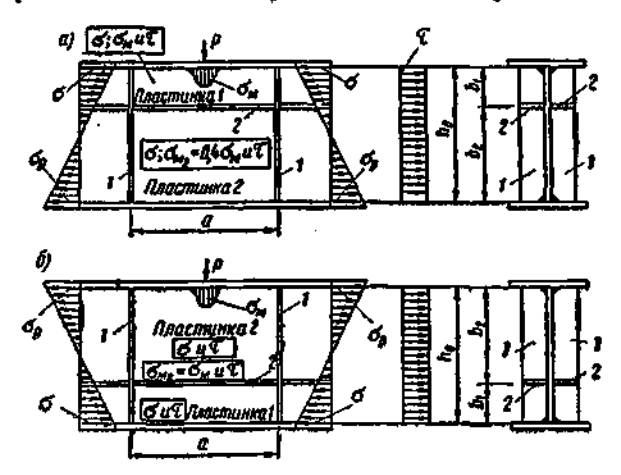


Рис. 12. Схема балки, укрепленной поперечными основными ребрами (1) и одним продольным ребром жесткости (2)

 $a \leftarrow$  сосредоточенный груз F приложен в сжатому поясу;  $6 \leftarrow$  то же, в растянутому поясу

(сжатой) границы отсека (рис. 12), обе пластинки, на которые это ребро разделяет отсек, проверяются отдельно:

 а) первая пластинка, расположенная между сжатым поясом и продольным ребром, проверяется по формуле

$$\frac{\sigma}{\sigma_{bi}} + \frac{\sigma_{w}}{\sigma_{woi}} + \left(\frac{\tau}{\tau_{oi}}\right)^{2} \leqslant m, \tag{40}$$

где т принимается согласно указаниям п. 6.5;

 $\sigma$ ,  $\sigma_M$  и  $\tau$  определяются согласно указаниям  $\pi$ . 6.2.

Значения  $\sigma_{01}$  и  $\sigma_{m01}$  определяются следующим образом:

при  $\sigma_{\nu} = 0$ 

$$\sigma_{01} = \frac{1}{1 - \frac{b_1}{h_2}} \left( \frac{100 \, b}{b_1} \right)^2 \, \text{T/cm}^2; \tag{41}$$

при 
$$\sigma_{\mathbf{w}} \neq 0$$
 и  $\mu_{\mathbf{l}} = \frac{a}{b_{\mathbf{l}}} \leqslant 2$ 

$$\sigma_{01} = \frac{0.25}{1 - \frac{b_1}{b_2}} \cdot \frac{\left(1 + \mu_1^2\right)^2}{\mu_1^2} \left(\frac{100 \, \delta}{b_1}\right)^2 \, \text{T/cm}^2; \qquad (42)$$

$$\sigma_{\mu 01} = K' \frac{(1 + \mu_1^2)^2}{\mu_1^2} \left(\frac{100 \,\delta}{\alpha}\right)^3 \tau / c M^2, \tag{43}$$

где K' — коэффициент, принимаемый по табл. 31.

Если  $a/b_1 > 2$ , то при вычислении  $\sigma_{01}$  и  $\sigma_{m01}$  принимается  $a = 2b_1$ ,  $\tau_{01}$  — определяется по формуле (35) с подстановкой в нее размеров проверяемой пластинки:

 б) вторая пластинка, расположенная между продольным ребром и растяпутым поясом, проверяется по формуле

$$\left[ \frac{\sigma \left( 1 - 2 \frac{b_{\chi}}{h_{0}} \right)}{\sigma_{02}} + \frac{\sigma_{M2}}{\sigma_{M02}} \right]^{2} + \left( \frac{\tau}{\tau_{02}} \right)^{2} \leqslant 1 \text{ T/cm}^{3}.$$
(44)

Здесь

$$\sigma_{02} = \frac{1.14}{\left(0.5 - \frac{b_1}{h_0}\right)^2} \left(\frac{1000}{h_0}\right)^3 \text{T/cM}^2; \tag{45}$$

 $\sigma_{\text{м02}}$ — определяют по формуле (38) и табл. 28 при  $\gamma$ =0,8, заменяя отношение  $a/h_0$  величиной  $\frac{a}{h_0-b_1}$ ;

чог— определяют по формуле (35) с подстановкой в нее размеров проверяемой пластинки;

 $\sigma_{m2} = 0.4\sigma_{m}$  — при приложении нагрузки к сжатому поясу (рис. 12, a);

σ<sub>м2</sub> = σ<sub>м</sub> — при приложении нагрузки к растянутому поясу (рис. 12, 6).

Если первая пластинка укрепляется дополнительно короткими поперечными ребрами, то их следует доводить до продольного ребра. В этом случае для проверки первой пластинки следует пользоваться формулами (40)—(43), в которых a заменяется величиной  $a_{i}$ ,

где  $a_1$  — расстояние между осями соседних коротких ребер (рис. 13).

Проверка второй пластинки остается без изменений.

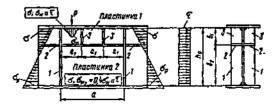


Рис. 13. Схема балки, укрепленной основными поперечными ребрами (1), продольным ребром (2) и короткими ребрами жесткости (3)

6.7. Устойчивость стенок балок асимметричного сечения (с более развитым сжатым поясом) проверяется по формулам пп. 6.4—6.6 со следующими измененнями:

для стенок, укрепленных только поперечными ребрами жесткости, в формулах (34) и (39) и табл. 30 под  $h_0$  поинмается удвоенное расстояние от нейтральной оси до расчетной (сжатой) границы отсека. При  $a/h_0 > 0.8$  и  $\sigma \neq 0$  требуются обе проверки, указаниые в п. 6.5,  $\delta$  независимо от значения  $\sigma_m/\sigma$ ;

для стенок, укрепленных поперечными ребрами и одним продольным ребром, расположенным в сжатой зоне:

а) в формулы (41), (42) и (44) вместо  $\frac{b_l}{h_q}$  подставляется  $\frac{\alpha b_l}{2h}$ ;

6) в формулу (45) вместо  $(0,5-\frac{b_f}{b_0})$  подставляется  $\left(\frac{1}{\alpha}-\frac{b_f}{b_0}\right)$ .

$$\alpha = \frac{\sigma - \sigma_p}{\sigma},$$

где  $\sigma_{D}$  — краевое растягивающее напряжение (со знаком «—») у расчетной границы отсека.

В случае развитого растянутого (ненагруженного) пояса проверка устойчивости на одновременное действие напряжений о и т производится по формуле (50).

6.8. Стенки балок следует укреплять поперечными ребрами жесткости, если: а) при наличии подвижной нагрузки на поясе балки

$$h_0/\delta > 70 \sqrt{2.1/R} (R \text{ B T/cm}^2);$$
 (46)

б) при отсутствии подвижной нагрузки на поясе балки

$$h_0/\delta > 100 \sqrt{2,1/R} (R \text{ B T/cm}^2).$$
 (47)

Расстояние между основными полеречными ребрами не должно превышать  $2h_0$  при  $h_0/\delta > 100$  и  $2.5h_0$  при  $h_0/\delta \leqslant 100$ .

В местах приложения больших неподвижных сосредоточенных грузов и на опорах слежует устанавливать поперечные ребра.

Примечание. Разрешается превышать указанные выше расстояния между ребрами при условии, что стенка балки удовлетворяет проверкам по пп. 6.4—6.7 в общая устойчивость балки обеспечена выполнением требований п. 4.17, а или п. 4.17, б, причем значения l/b для сжатого пояса не должны превосходить величии, приведенных в табл. 11 для нагрузки, приложенной к верхнему поясу.

В стенке, укрепленной только поперечными ребрами, ширина выступающей части парного симметричного ребра  $b_{\rm p}$  должна быть не менее  $\frac{h_{\rm cr}}{30}$  +40 мм, а толщина ребра из стали классов C38/23 — C46/33 — не менее 1/15 $b_{\rm p}$ , из стали классов C52/40 — C85/75 — не менее 1/12 $b_{\rm p}$ .

При наличии одного продольного ребра необходимый момент инерции поперечного ребра определяется по формуле

$$J_{\rm p}=3h_0\delta^3.$$

Необходимый момент инерции продольного ребра  $J_{\rm np.p}$  определяется в зависимости от величины  $b_1/h_0$  по формулам табл. 32.

Таблица 32 Требуемые значения момента инерции продольного ребра  $J_{\rm ID,O}$ 

<u>b1</u>	Необходимый момент инерции продольного	Предельные значения пр.р				
	ребра Јпр.р	минимальные	максимальные			
0,2	$\left(2,5-0,5-\frac{a}{h_0}\right)\frac{a^2}{h_0}\delta^3$	1,5 h <sub>4</sub> δ³	$7 h_0 \delta^3$			
0,25	$\left(1,5-0,4\frac{a}{h_0}\right)\frac{a^2}{h_0}\delta^3$	1,5 h <sub>0</sub> δ³	$3.5 h_0 \delta^3$			
0,3	1,5 h <sub>0</sub> δ <sup>3</sup>	_	}   –			
	і Іримечание. Для допускается линей ная п					

При расположении ребер с одной стороны стенки момент инерции вычисляется относительно оси, совпадающей с ближайшей к ребру гранью стенки.

6.9. Участок стенки составной балки над опорой должен укрепляться ребром жесткости и рассчитываться на продольный изгиб из плоскости как стойка, нагруженная опорной реакцией. В расчетное сечение этой стойки

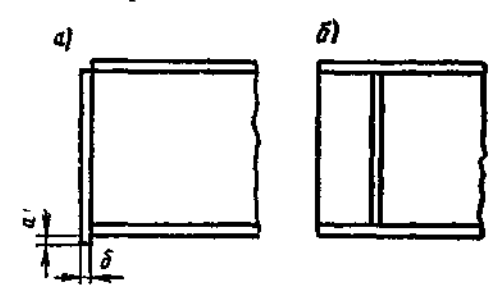


Рис. 14. Схема устройства опорного ребра жесткости

а — в торце с применением строжки; б — удаленного от торца с плотной пригонкой или приваркой и нижнему поясу

включается сечение ребра жесткости и полосы стенки шириной до 156 с каждой стороны ребра. Расчетная длина стойки принимается равной высоте стенки.

Нижние сечения опорных ребер должны быть либо остроганы (рис. 14, a), либо плотно пригнаны или приварены к нижнему поясу балки (рис. 14,  $\delta$ ). Напряжения в этих сечениях при воздействии опорной реакции не должны превышать: в первом случае (рис. 14, a) — расчетного сопротивления прокатной стали смятию  $R_{\rm cm}$  при  $a \le 1.5\delta$ , и сжатию R при  $a > 1.5\delta$ ; во втором случае (рис. 14,  $\delta$ ) — смятию.

В случае приварки опорного ребра к нижнему поясу балки соответствующие сварные швы должны быть рассчитаны на воздействие опорной реакции.

#### СТЕНКИ ЦЕНТРАЛЬНО- И ВНЕЦЕНТРЕННО-СЖАТЫХ ЭЛЕМЕНТОВ

6.10. Наибольшая расчетная высота стенки  $h_0$ , не имеющей свободных кромок, в центрально-сжатых элементах швеллерного, трубчатого прямоугольного ( $h_0$  — большая сторона) или коробчатого сечения определяется из формулы (48), а двутаврового сечения — из формулы (49), и в обоих случаях не должна быть больше 75 $\delta$ :

$$\frac{h_0}{\delta} = 40 \sqrt{\frac{2.1}{R}} + 0.2\lambda (R \text{ B T/cm}^2); \quad (48)$$

$$\frac{h_0}{\delta} = 40 \sqrt{\frac{2.1}{R}} + 0.4\lambda (R \text{ B T/cm}^2). \quad (49)$$

Здесь  $h_0$  — расчетная высота стенки, принимаемая в сварных и клепаных элементах в соответствии с п. 6.1, в прокатных — расстоянию в свету между полками, в гнутых элементах — расстоянию между краями выкружек (рис. 15);

 $\delta$  — толщина стенки;  $\lambda$  — гибкость стержия.

В трубах квадратного сечения значения  $h_0/\delta$ , вычисленные по формуле (48), уменьшаются на 10%.

В случае недонапряжения элемента значения  $h_0/\delta$  могут быть увеличены в  $\sqrt{\frac{R\phi}{\sigma}}$  раз, где  $\sigma = \frac{N}{F}$  — расчетное напряжение;  $\phi$  — коэффициент продольного изгиба, но при этом  $h_0/\delta$  не должно превышать 90 $\delta$ .

6.11. Наибольшее значение отношения  $h_0/\delta$  для стенки внецентренно сжатого элемента, не имеющей свободных кромок, определяется в зависимости от величин

$$\alpha = \frac{\sigma - \sigma'}{\sigma} \ n \ \frac{\tau}{\sigma},$$

где  $\sigma$ — наибольшее сжимающее напряжение у расчетной границы стенки, вычисленное без учета коэффициентов  $\phi^{\text{ви}}$ ,  $\phi^{\text{ви}}_{xy}$  или c  $\phi$ ;

 σ' — соответствующее напряжение у противоположной расчетной границы стенки;

 $\tau = \frac{Q}{h_{cr}\delta}$  — среднее касательное напряжение в рассматриваемом отсеке.

При  $\alpha \le 0.5$  наибольшее значение отношения  $h_0/\delta$  принимается как для стенок центрально-сжатых элементов (п. 6.10).

При  $\alpha \ge 1$  наибольшее значение отношения  $h_0/\delta$  определяется по формуле

$$\frac{h_0}{e} = 100 \sqrt{\frac{2K_3}{z \left[2 - \alpha + \sqrt{\alpha^2 + 4\beta^2}\right]}}, \quad (50)$$

где  $\beta = 0.7\tau K_3/\sigma$  ( $\sigma$  и  $\tau$  в  $\tau/cm^2$ );  $K_3$ — коэффициент для степок двугавров, принимаемый по табл. 33.

5---1024

Таблица 33

α	I I	1,2	1,4	1,6	1,8	2,0
K <sub>3</sub>	2,22	2,67	3,26	4,20	5,25	6,30

В интервале  $0.5 < \alpha < 1$  наибольшее значение отношения  $h_0/\delta$  определяется линейной интерполяцией между значениями, вычисленными при  $\alpha = 0.5$  и  $\alpha = 1$ .

Для сечений, отличных от двутавра, найденные с помощью формулы (50) и табл. 33

значения  $h_0/\delta$  уменьшаются на 25%.

6.12. В случае укрепления стенки центрально-сжатого элемента продольным ребром, расположенным посередине стенки, найденная согласно указаниям п. 6.10 предельная расчетная высота стенки увеличивается в раз в зависимости от величины γ= J/h<sub>0</sub>δ<sup>3</sup> (где J — момент инерции сечения ребра; h<sub>0</sub> — фактическая расчетная высота стенки; δ — толщина стенки). Величины β и γ приведены в табл. 34.

Таблица 34

γ	0	1	2	4	6
β	1	1,4	1,6	1,8	2

Для промежуточных значений у допускается линейная интерполяция при нахождении в.

В случае укрепления стенки внецентренносжатого элемента продольным ребром жесткости, расположенным посередине стенки, наиболее напряженную часть стенки между поясом и осью ребра можно рассматривать как самостоятельную пластинку и проверять по указаниям п. 6.11 при условии, что момент инерции ребра  $I_{\rm D} \! \ge \! 66^3 h_{\rm O}$ . Если ребро расположено с одной стороны стенки, его момент инерции вычисляется относительно оси, совмещенной с ближайшей гранью стенки. В случае выполнения ребра в виде гофра в величину  $h_{\rm O}$  включается развернутая длина гофра.

6.13. Если в центрально- или внецентренносжатых элементах устойчивость стенки не обеспечена, в расчет вводятся два крайних участка стенки шириной по nô, считая от границ расчетной высоты. Коэффициент n следует при-

нимать по табл. 35.

Таблица 35

## Коэффициент п

Класо стали	C38/23	C44/29; C46/33	C52/40	C60/45	C70/50	C85/75
n	15	14	13	12,5	12	11

## поясные листы (полки) центральнои внецентренно-сжатых и изгибаемых **ЭЛЕМЕНТОВ**

6.14. В центрально- и внецентренно-сжатых стержнях наибольшее отношение расчетной ширины неокаймленного или окаймленного свеса сжатого листа (полки) в к толщине в определяется в зависимости от гибкости стержия и вида поперечного сечения. Расчетная ширина свеса измеряется при неокаймленной полке н сварных элементах от грани стенки, в прокатных элементах -- от начала внутреннего закругления полки, в гнутых элементах — от края выкружки стенки; при окаймленной ребром полке — от края выкружки стенки до оси ребра (рис. 15). Наибольшие значения  $b/\delta$ сжатых полок указаны в табл. 36 и 37.

Для большей полки неравнобокого уголка и для полки швеллера значения b/b находятся путем увеличения на 10% значений, указанных в табл. 36, относящихся к неокаймленным полкам (на окаймленные ребрами полки это увеличение не распространяется).

Для полок двутавров наибольшие значения *b*/δ укаэаны в табл. 37.

Примечания: 1. Предельные значения отношений b/б, указанные в табл. 36, относятся к элементам, не усиленным планками. Для гнутых элементов с полками, укреплениыми ребрами и усиленными планками, предельные значения отношений b/8 определяются согласно указаниям п. 6.10 путем подстановки в формулу (48) в вместо  $h_0$  (рис. 15). 2. Наименьшая расчетная высота ребра полок  $a_0$ , из-

меряемая от оси полки (рис. 15), принимается в элемен-

#### не усиленных планками 0,36; усиленных планками 0,26.

 $\Delta$ ля полок тавров нанбольшие значения  $b/\delta$ определяются как полусумма значений из табл. 36 и 37 (на окаймленные ребрами полки это указание не распространяется).

Таблица 36 Предельные значения  $b/\delta$  для полок равнобоких уголков и полок гнутых профилей

<u> </u>			1	ибкост	ъλ	
Полка	Класс стали	26	50	75	100	125
Неокайм- ленная	C38/23 C44/29; C46/33 C52/40 C60/45 C70/60 C85/75	14 12 10 9,5 9 8,5	15 13 12 11,5 11	16,5 14,5 14 13,5 13 11,5	18 16,5 15 14,5 13,5	20 18,5 15,5 15 14 12,5
С ребром	C38/23 C44/29; C46/33 C52/40 C60/45	20 —	30 22,5 19 17,5	32,5 26,5 23,5 23	35 28,5 25 24	37,5 30,5 26,5 25,5

Таблица 37 Предельные значения  $b/\delta$  для полок двугавров

	Гибкость λ								
Класс стали	25	50	75	100	125				
C38/23 C44/29; C46/33 C52/40 C60/45 C70/60 C85/75	14 12 10 9,5 9	16 15 14 13,5 12,5 11,5	18,5 18 17 16,5 15,5	20,5 20 18,5 17,5 16,5	23 22 19,5 18,5 17,5				

Таблица 38 Предельные значения b/б для полок балок

Класс стали	C38/23	C44/29; C46/33	C52/40	C60/45	C70/60	C85/75
6/8	15	13	11	10,5	10	9

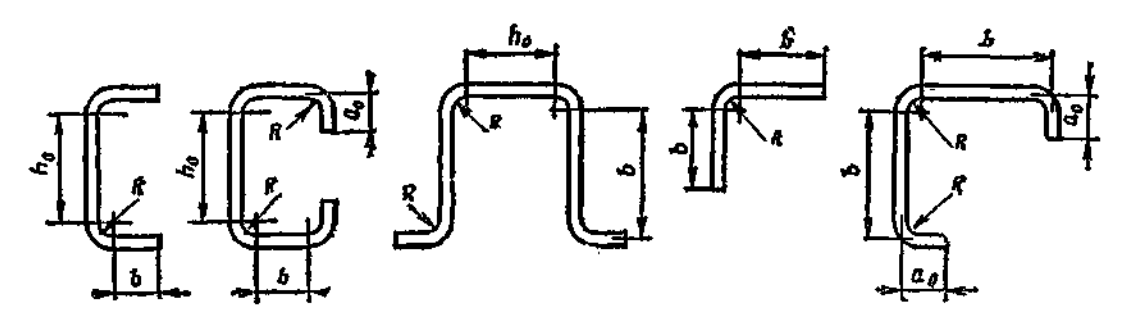


Рис. 15. Схемы поперечных сечений гиутых элементов

Наибольшие значения holo для стенок тавров находятся путем умножения значений b/8 из табл. 36 на коэффициент

$$\eta = 1 + 0.25 \sqrt{2 - b_0/h_0}$$
;  $1 \le b_0/h_0 \le 2$ ,

где  $b_0$  — ширина полки тавра;  $h_0$  — расчетная высота стенки тавра.

В случае недонапряжения элемента найленные выше значения  $b/\delta$  могут быть увеличены в  $\sqrt{R\phi^*/\sigma}$  раза, но не более чем на 25%. Здесь  $\phi^*$  — меньшая из величин  $\phi$ ,  $\phi^{вн}$ ,  $\phi^{eh}$ ,  $c\phi$ , использованная при проверке устойчивости данного элемента;  $\sigma = \frac{N}{r}$  — осевое напряжение сжатия в элементе.

6.15. Наибольшая расчетная ширина в неокаймленного сжатого свеса листа (полки) в балках определяется по табл. 38.

В случае недонапряжения балки указанные выше значения 6/8 могут быть увеличены в  $\sqrt{R/\sigma}$  pasa, но не более чем на 25%, Здесь большая из величин

$$σ = \frac{M}{\Psi \varphi_6}$$
 или  $σ = \frac{M_x}{J_x}g \pm \frac{M_g}{J_g}x$ .

## 7. ПРОЧНОСТЬ И УСТОЙЧИВОСТЬ ЛИСТОВЫХ КОНСТРУКЦИЙ (ОБОЛОЧЕК ВРАЩЕНИЯ)

#### РАСЧЕТ НА ПРОЧНОСТЬ

7.1. Проверка прочности листовых конструкций (оболочек вращения), находящихся в безмоментном напряженном состоянии, производится по формуле

$$\sqrt{\sigma_x^2 - \sigma_x \sigma_y + \sigma_y^2 + 3t_{xy}^2} \leqslant Rm; \qquad (51)$$

при этом должны соблюдаться условия

$$\sigma_x \leqslant Rm \text{ is } \sigma_p \leqslant Rm$$
.

Злесь

 $\sigma_r$  и  $\sigma_o$  — нормальные напряжения по двум взаимно перпендикулярным направле-HHRM:

> т<sub>ку</sub> — касательное напряжение; R — расчетное сопротивление стали растяжению и сжатию, принимаемое в соответствии с указаниями п. 3.1:

т - коэффициент условий работы конструкций, назначаемый в соответствии с требованиями нормативных документов по проектированию стальных конструкций.

7.2. Напряжения в безмоментных тонкостенных оболочках вращения, находящихся под давлением жидкости, газа или сыпучего материала, определяются по формулам

$$\frac{\sigma_i}{r_i} + \frac{\sigma_s}{r_s} = \frac{p}{\delta}; \qquad (52)$$

$$\sigma_1 = \frac{Q}{2\pi r_a \delta \cos \beta} \,, \tag{53}$$

гле б. и б. — соответственно меридиональ. пое и кольцевое напряжения:

> р-- расчетное давление на единицу поверхности оболочки;

r<sub>1</sub> и r<sub>2</sub> — раднусы кривизны в глабных направлениях средниной поверхности оболочки:

 $\delta$  — толщина оболочки:

Q — проекция на ось полного расчетного давления жидкости, газа или сыпучего материала часть оболочки (рис. 16);

ro и β - радиус и угол, показанные на рис. 16.

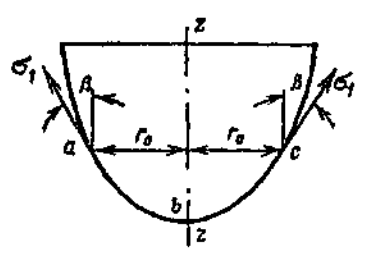


Рис. 16. Схема оболочки вращения

7.3. Напряжения в замкнутых цилиндрических, конических и сферических безмоментных тонкостенных оболочках, находящихся под внутренним равномерным давлением, определяются по формулам:

а) для цилиндрических оболочек

$$\sigma_1 = \frac{\rho r}{2\delta} \times \sigma_2 = \frac{pr}{\delta}; \qquad (54)$$

б) для конических оболочек

$$\sigma_1 = \frac{pr}{2\delta \cos \beta} \approx \sigma_2 = \frac{pr}{\delta \cos \beta}; \qquad (55)$$

в) для сферических оболочек

$$\sigma_1 = \sigma_2 = \frac{pr}{2\delta} \,, \tag{56}$$

где р — расчетное внутреннее давление на единицу поверхности оболочки;

> г— раднус срединной поверхности оболочки (рис. 17);

> 6— угол между образующей конуса и его осью z (рис. 17).

7.4. В местах изменения формы или толщины оболочек, а также изменения нагрузки должны быть учтены местные напряжения (краевой эффект), которые определяются согласно указаниям специальных нормативных документов или руководств.

#### проверка устойчивости

7.5. Замкнутая круговая цилиндрическая оболочка, равномерно сжатая параллельно образующим, проверяется на устойчивость по формуле

$$\sigma_i \leqslant m\sigma_{ni}$$
 (57)

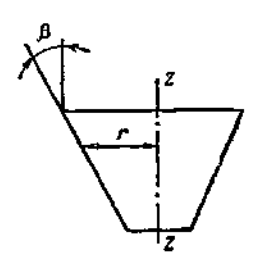


Рис. 17. Схема коинческой оболочки вращения

где  $\sigma_1$  — расчетное напряжение в оболочке;

 $\sigma_{01}$  — принимается равным меньшей из величин  $\Phi^*R$  и  $cE\delta/r$ :

Е - модуль упругости стали;

 г — радиус срединной поверхности оболочки;

 $\delta$  — толщина оболочки:

т - коэффициент условий работы;

R — расчетное сопротивление стали сжатию:

ф\* и с— коэффициенты, принимаемые по табл. 39.

Та ъъ ъъ в с

Коэффициенты ф\* и с

Таблица 39

	<u> </u>			Коэффи	циеяты ф	* # 6 11	ps //å, p	Sability				
Класс стали	0	25	50	100	200	300	400	600	800	1000	1500	2500
			Козе	ффициент	ы ф*							
C38/23 C44/29; C46/33 C52/40 C60/45 C70/60 C85/75	1 1 1 1	0,944 0,937 0,930 0,927 0,923 0,918	0,902 0,892 0,883 0,876 0,865 0,848	0,835 0,812 0,789 0,775 0,750 0,710	0,720 0,665 0,610 0,578 0,526 0,436	0,528 0,440	_ '	111111	111111	1111		
			ŀ	(оэффици	э мтн							
Независимо от класса стали	_		0,30	0,22	0,18	0,16	0,14	0,11	0,09	0,08	0,07	0,06
Примечание. полненных в соответ	Пр: • ствии	иведенные с требован	ИЗРАНС ВКЛ ИМКИІ	ия коэфс вы СНиП	рициенто по изг	ов <b>ф*</b> готовле	и <i>с )</i> нию и	ц <b>ейст</b> ви монтах	тельны ку ста	для : Кынал	констру констру	inux inux

В случае внецентренного сжатия параллельно образующим или чистого изгиба в диаметральной плоскости напряжение  $\sigma_{01}$  увеличивается в  $1+0.1(1-\sigma_1'/\sigma_1)$  раз, где  $\sigma_1'$  — наименьшее напряжение (растягивающие напряжения считаются отрицательными).

Примечание. Указанный способ расчета разрешается применять при изгибе с поперечной силой, если касательные наприжения в месте наибольшего момента не превышают величины  $0.07E(\delta/r)^{3/2}$ .

В трубах, рассчитываемых как сжатые или сжато-изогнутые стержии, при гибкости  $\overline{\lambda}=$  $=\lambda \sqrt{R/E} > 0.65$  отношение  $r/\delta$  не должно превосходить величин, указанных в табл. 40.

Таблица 40

Максимально допустимое отношение //о

Класс стали	C38/23	C44/29, C46/33	C52/40	C60/45	C70/60	C85/75
r/8<	100	85	75	70	65	60

Такие трубы проверяются на устойчивость согласно указаниям раздела 4 независимо от проверки устойчивости стенок. Проверки устойчивости стенок бесшовных и электросварных труб не требуется, если значение  $r/\delta$  не превосходит величин, указанных в табл, 41,

Таблица 41

Максимальные отношения //0, при которых не требуется проверки устойчивости

Класс стали	C38/23	C44/29; C46/33	C52/40	C60/45	C70/60	C85/75
r/8≪	50	45	40	38	35	30

7.6. Цилиндрическая панель, опертая по двум образующим и двум дугам направляющей, равномерно сжатая вдоль образующих, при  $b^2/r\delta \leq 20$  (где b — ширина панели, измеренная по дуге направляющей) проверяется на устойчивость как пластинка по формулам:

при σ≤0,8R

$$b/\delta \ll 87/\sqrt{\sigma} \,. \tag{58}$$

где о - расчетное напряжение в т/см<sup>2</sup>: пои  $\sigma = R$ 

$$b/\delta \ll 76/\sqrt{4.2 + R}; (R \text{ B T/cm}^2).$$
 (59)

При  $0.8 < \sigma < R$  для нахождения предельного соотношения  $b/\delta$ ; допустима линейная ин-

Если  $b^2/r\delta > 20$ , то панель проверяется на устойчивость как оболочка по указаниям

7.7. Замкнутая круговая цилиндрическая оболочка при действии внешнего равномерного давления р, нормального к боковой поверхности, проверяется на устойчивость по формуле

$$\sigma_2 \leqslant m\sigma_{a2},$$
 (60)

где  $\sigma_{02}$  определяется выражениями: при  $0.5 \leqslant \frac{L}{\epsilon} \leqslant 10$ 

nph 
$$0.5 \leqslant \frac{L}{\epsilon} \leqslant 10$$

$$\sigma_{02} = 0.55E(r/L) (\delta/r)^{3/2}$$
; (61)

 $npu \frac{L}{} \geqslant 20$ 

$$\sigma_{02} = 0.17E(\delta/r)^2$$
. (62)

При  $10 < \frac{L}{2} < 20$  напряжение  $\sigma_{02}$  определяется линейной интерполяцией.

Здесь 
$$\sigma_2 = \frac{pr}{\delta}$$
 — расчетное кольцевое напряжение в оболочке:

Прочие обозначения по п. 7.5.

Та же оболочка, по укрепленная кольпевыми ребрами, расположенными на расстояниях a > 0.5r между осями. проверяется на устойчивость по формулам (60) — (62) с подстановкой в них величины а вместо L при условии, что момент инершии ребра относительно оси, параллельной образующей, не меньше величины  $par^3/3E$ .

При одностороннем ребре момент инерции вычисляется относительно оси, совпадающей с ближайшей поверхностью оболочки.

7.8. Замкнутая круговая цилиндрическая оболочка, полверженная одновременному лействию нагрузок, указанных в пл. 7.5 и 7.7, проверяется на устойчивость по формуле

$$\frac{\sigma_t}{\sigma_{ot}} + \frac{\sigma_t}{\sigma_{os}} \leqslant m, \tag{63}$$

где оп вычисляется согласно указаниям п. 7.5, а  $\sigma_{02}$  — согласно указаниям и. 7.7.

7.9. Коническая оболочка вращения с углом конусности  $\beta \leqslant 60^\circ$ , сжатая усилием N

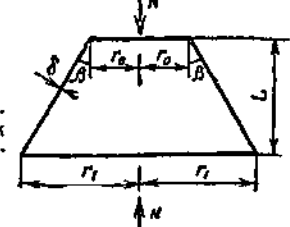


Рис. 18. Схема копической оболочки вращения под действием продольного усилия сжатия

вдоль оси (рис. 18), проверяется на устойчивость по формуле

$$N = mN_a, (64)$$

где

$$N_{\bullet} = 2\pi r^* \delta \sigma_{\rm or} \cos^2 \beta. \tag{65}$$

Здесь  $\sigma_{01}$  определяется по указаниям л. 7.5 с заменой r на  $r^*$ :

$$r^* = \frac{0.9r_1 + 0.1r_0}{\cos \theta}, \qquad (66)$$

г<sub>ос</sub>и г<sub>1</sub> — радиусы соответственно меньшего и большего основания конуса;

б— толшина оболочки.

7.10. Коническая оболочка вращения при действии внешнего равномерного давления  $\rho$ , нормального к боковой поверхности, проверяется на устойчивость по формуле

$$\sigma_2 \leqslant m\sigma_{n2}, \tag{67}$$

гле

$$\sigma_{00} = 0.55E(r^*/L) (\delta/r^*)^{3/2}$$
, (68)

Здесь 
$$\sigma_z = \frac{\rho r^{\bullet}}{\delta}$$
 — расчетное кольцевое напряжение в оболочке;   
 L— высота конической оболочки (между основаниями);

ле — раднус, определяемый по формуле (66):

толщина оболочки.

7.11. Коническая оболочка вращения, подверженная одновременному действию натрузок, указанных в пп. 7.9 и 7.10, проверяется на устойчивость по формуле

$$\frac{N}{N_0} + \frac{\sigma_1}{\sigma_{02}} \leqslant m, \tag{69}$$

где  $N_0$  и  $\sigma_{02}$  определяются выражениями (65)

7.12. Полная сферическая оболочка (или ее сегмент) при  $r/\sigma \leqslant 750$  и действии внещнего равномерного давления  $\rho_r$  нормального к ее поверхности, проверяется на устойчивость по формуле

$$\sigma \leq m\sigma_{\rm s}$$
. (70)

где  $\sigma_0 = 0.1 E \delta / r$ , но принимается не более чем R;

 $\sigma = pr/2\delta$  — расчетное напряжение;

б— толщина оболочки;

радиус срединной поверхности сферы.

#### 8. УЧЕТ УСТАЛОСТИ МЕТАЛЛА

8.1. Стальные конструкции, непосредственно воспринимающие многократно действующие подвижные, вибрационные или другого вида нагрузки, которые могут привести к усталостному разрушению, надлежит проектировать с применением таких конструктивных решений; которые не вызывают значительной концентрации напряжений, и проверять расчетом на выносливость.

К конструкциям, в которых могут возникать явления усталости, относятся подкрановые балки под краны «особого» режима работы, балки рабочих площадок и элементы конструкций бункерных и разгрузочных эстакад, непосредственно воспринимающие нагрузку от подвижных составов, конструкции под моторы в т. п. К конструкциям, в которых могут возникнуть явления усталости, относятся также конструкции высоких сооружений типа антени, дымовых труб, мачт, башен и подъемно-транспортных сооружений, подверженных действию ветра.

Расчет конструкций на усталость следует производить на нагрузки, вычисленные в соответствии с указаниями главы СНиП по нагрузкам и воздействиям.

8.2. Расчетные сопротивления основного металла и соединений при расчете конструкций

Таблица 42 Коэффициенты *а, b и с* к формулам (71) и (72)

				Коэфф	ициен	t The		
Класс сталн	Группа сое- динения (см. приложения 8)	а		с при колнчестве циклов нагружения в маллис- нах				
			<u> </u>	0,5	1,0	2,0	3,0	<b>3-5,0</b>
	1 2	1,20 1,30	0,60 0,70	1,2				
C38/23	3 4 5	1,55 1.85 2,10	0,95 1,25 1,50	1,3	1,1	1,0	0,95	0,9
	6 7 8	3,50	2,15 2,90 4,20	1.4	1,2			0,85
	1 2	1,25 1,45	0,65 0,85	1,2	1,1		1	
C44/29 C46/33	3 4 5	1,60 2,40 2,75	1,20 1,80 2,15	1,4	1.2	1,0	<b>0.9</b> 5	0,9
	6 7 8	4,80	3,20 4,20 5,40	1,6	1,3			0,85

на выносливость понижаются умножением на коэффициент  $\gamma$ , определяемый по формулам (71) и (72) и принимаемый не более единицы:

в случаях, когда наибольшее по абсолютной величине напряжение является растягивающим.

$$\gamma = \frac{c}{a - bo}; \tag{71}$$

в случаях, когда наибольшее по абсолютной величине напряжение является сжимающим.

$$\gamma = \frac{c}{b - a\rho} \,, \tag{72}$$

где 
$$\rho = \frac{\sigma_{\text{миж}}}{\sigma_{\text{маке}}}$$
;

омил и омако — соответственно наименьшее и наибольшее по абсолютной величине напряжения в рассчитываемом элементе, вычисленные (каждое со своим энаком) от нормативной нагрузки без учета коэффициента динамичности, коэффициентов ф, фав и ф6;

а, b и с — коэффициенты, принимаемые по табл. 42 в зависимости от группы элемента или соединения конструкций (см. приложение 8) и от количества циклов нагружения конструкции за время ее эксплуатации.

Примечаные. Количество циклов нагружения устанавливается на основе технологических требований эксплуатации. Для подкрановых балок, при отсутствии необходимых данных, количество циклов нагружения принимается равным 2 миллионам.

### 9. РАСЧЕТ СОЕДИНЕНИЯ СТАЛЬНЫХ КОНСТРУКЦИЯ

#### стыки и прикрепления элементов

## Сварные соединения

9.1. В сварных соединениях при действии на них продольной силы (в стыках или прикреплениях элементов) распределение напряжений по длине шва принимается равномерным.

9.2. Расчет сварных соединений встык на сжатие и растяжение производится по формуле

$$\frac{N}{I_{m}\delta} \ll R^{cs},$$
 (73)

где N— расчетная продольная сила, действующая на соединение;

І<sub>в</sub> — расчетная длина шва, равная его полной длине в случае вывода концов шва за пределы стыка; в ином случае расчетная длина принимается меньше полной длины на 10 мм;

 б— наименьшая толщина соединяемых элементов;

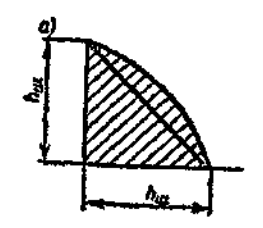
R<sup>св</sup> — расчетное сопротивление сварного стыкового соединения сжатию или растяжению, принимаемое по табл. 5.

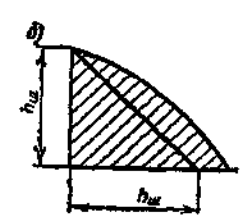
9.3. Сварные угловые швы, воспринимающие продольные и поперечные силы, рассчитываются на срез по формуле

$$\frac{N}{(\beta h_{\rm m}) l_{\rm m}} \leqslant R_{\gamma}^{\rm cs},\tag{74}$$

где  $h_{\rm m}$  — толщина углового шва, принимаемая равной катету винсанного равнобедренного треугольника (рис. 19);

β — коэффициент, принимаемый в зависимости от вида сварки, которая должна быть оговорена в проекте; для однопроходной автоматической сварки β=1; для двух• и трехпроходной автоматической сварки β=0,9; для однопроходной полуавтоматической сварки β=0,85; для двух• и трехпроходной полуавтоматической сварки β=0,8;





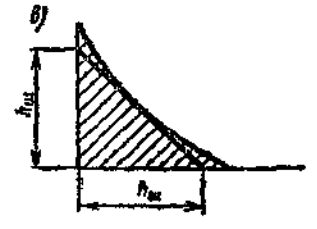


Рис. 19. Схемы сечений сварных угловых швов  $a \mapsto выпуклый$  шов с равными катетами;  $b \mapsto b$  то же, c неравными катетами;  $b \mapsto b$  шогутый шов

для ручной сварки, а также для многопроходной (более трех) автоматической и полуавтоматической сварки  $\beta = 0.7$ ;

І<sub>щ</sub> — расчетная длина шва, равная его полной длине за вычетом 10 мм;

Ry— расчетное сопротивление углового шва, принимаемое по табл. 5.

Сварные соединения внахлестку двумя лобовыми швами, выполненные в соответствии с указаниями п. 2.7, считаются равнопрочными основному металлу и не требуют проверки расчетом при условии, что лобовые швы наложены по всей толщине свариваемых элементов и концы их выведены за пределы соединения.

9.4. Сварные соединения, работающие на изгиб, рассчитываются по формулам, установленным для целого сечения, с расчетными сопротивлениями, принимаемыми согласно табл. 5.

9.5. Сварные соединения встык, при одновременном действии нормальных и срезывающих напряжений, проверяются по формуле

$$\sqrt{\sigma_{\text{cs.}x}^2 + \sigma_{\text{cs.}x}^2 - \sigma_{\text{cs.}x}\sigma_{\text{cs.}y} + 3\tau_{\text{cs.}xy}^2} \le 1,15 R_p^{\text{cs.}}, (75)$$

где  $\sigma_{\text{св.x}}$  и  $\sigma_{\text{св.g}}$  — нормальные напряжения в сварном соединении по двум взаимно перпендикулярным направлениям;

т<sub>49,ху</sub> — напряжение в сварном соединении от среза;

9.6. Угловые швы при одновременном действии в одном и том же сечении шва срезывающих напряжений в двух направлениях рассчитываются на равнодействующую этих напряжений.

Угловые швы, прикрепляющие элемент, на который действует одновременно растягивающее усилие и изгибающий момент, рассчитываются по формуле (22), в которой значения  $F_{n\tau}$ ,  $J_{x,n\tau}$ ,  $J_{y,n\tau}$  и R принимаются соответствения

 $F_{\rm HT} = F_{\rm m}$ — расчетная площадь швов, определяемая с учетом возможного разрушения по наименьшему сечению, умножением площади поперечного сечения на коэффициент  $\beta$  (см. п. 9.3);

 $J_{x, \mathrm{BT}}$  и  $J_{y, \mathrm{HT}}$  — расчетные моменты инерции швов с учетом уменьшения их площади поперечного сечения;  $R = R_y^{\mathrm{cs}}$  — расчетное сопротивление углового шва, принимаемое по

#### ЗАКЛЕПОЧНЫЕ И БОЛТОВЫЕ СОЕДИНЕНИЯ

9.7. В заклепочных и болтовых соединениях при действии на соединение продольной силы N (в стыках или прикреплениях элементов) распределение этой силы между заклепками или болтами принимается равномерным.

9.8. Заклепочные или болтовые соединения, воспринимающие продольные силы N, рассчи-

тываются во формулам:

на срез заклепок и болтов

$$\frac{N}{nn_{\rm cp}} \frac{\pi d^2}{A} \leqslant R_{\rm cp}; \tag{76}$$

на смятие

$$\frac{N}{nd\Sigma\delta} \leqslant R_{\text{cm}}; \tag{77}$$

на растяжение (отрыв головок) заклепок

$$\frac{N}{n\frac{\pi d^2}{A}} \leqslant R_p^{\text{aaks}}; \tag{78}$$

на растяжение болтов

$$\frac{N}{nE_{max}} \leqslant R_p^0. \tag{79}$$

Обозначения, принятые в формулах (76)— (79):

 N — расчетная продольная сила, действующая на соединение;

 п — число заклепок или болтов в соединении;

 $n_{\rm ep}$  — число рабочих срезов одной заклепки или болта;

 d— днаметр отверстия для заклепки или наружный днаметр стержня болта;

∑б — наименьшая суммарная толщина элементов, сминаемых в одном направлении;

R<sub>ср</sub>— расчетное сопротивление срезу заклепок (болтов), определяемое по табл. 6 и 7;

R<sub>см</sub>— расчетное сопротивление смятию закленочных (болтовых) соединений, определяемое по табл. 6 и 7<sub>2</sub>

R<sup>d</sup> — расчетное сопротивление растяжению болтов, определяемое по табл. 7:

 $F_{n\tau}$  — площадь сечения болта нетто, опрепеляемая по формуле

$$F_{\rm BT} = \frac{\pi}{16} (d_2 + d_3)^2$$
,

где  $d_2$  — номинальный средний диаметр резьбы;

$$d_3=d_1-\frac{H}{6};$$

 $d_1$  — номинальный внутренний диаметр резьбы;

Н— теоретическая высота резьбы.

Величины  $d_1$ ,  $d_2$  и H принимаются по ГОСТ 9150—59\* «Резьба метрическая для днаметров от 1 до 600 мм. Основные размеры».

Примечания: 1. Для болтов днаметрои от 16 до 27 мм площадь сечения негто по ГОСТ 9150—69\* соответственно принимается

Днаметр болта (мм)	16	18	20	22	24	27
Площ <b>адь</b> нетто (см²)	1,60	1,97	2,49	3,08	3,59	4,67

 Заклепки и болты, работающие одновременно на срез и растяжение, проверяются отдельно на срез и растяжение.

9.9. В креплениях одного элемента к другому через прокладки или иные промежуточные элементы, а также в креплениях с односторонней накладкой число заклепок (болтов) должно быть увеличено против расчета на 10%.

При креплениях выступающих полок уголков или швеллеров с помощью коротышей число заклепок (болтов), прикрепляющих одну из полок коротыша, должно быть увеличено против расчетного на 50%.

#### соединения на высокопрочных болтах

9.10. Соединения на высокопрочных болтах рассчитываются в предположении передачи действующих в стыках и прикреплениях усилий через трение, возникающее по соприкасающимся плоскостям соединяемых элементов от натяжения высокопрочных болтов. При этом распределение продольной силы между болтами принимается равномерным.

9.11. Расчетное усилие, которое может быть воспринято каждой поверхностью трения соединяемых элементов, стянутых одним высокопрочным болтом, определяется по формуле

$$N_6 = Pim, \tag{80}$$

где f — коэффициент трения, принимаемый по табл. 43;

т— коэффициент условий работы болтового соединения, принимаемый равным 0.9;

Р — осевое усилие натяжения болта.

Таблица 43

Коэффициенты трения / в формуле (80).

Способ предварительной	Коэффициенты трення / для соединяемых элементов кон- струкций на стали класса					
обработки (очистки) соеди- няемых поверхностей	C38/23	C44/29; C16/33; C52/40	C60/45; C70/60; C85/75			
1. Пневматическая обра- ботка кварцевым пес- ком с содержаннем SiO <sub>2</sub> не икже 94% или металлическим порош- ком 2. Химическая обработ- ка растворами кислот, травяльными пастами 3. Огневая обработка многопламенными го-	0,45	0,55	0,55 0,50			
релканн (на ацетиле- не) 4. Стадъными ручными или механическими	0,40	0,45	0,45			
щетками	0,35 0,25	0,35 0,25	0,40 0,35			

Осевое усилие натяжения высокопрочных болтов *P* принимается в зависимости от механических свойств болтов после их термической обработки равным 65% разрушающей нагрузки при разрыве болта и определяется по формуле

$$P = 0.65 \,\sigma_{\rm s} F_{\rm grs} \tag{81}$$

где ов — временное сопротивление разрыву стали высокопрочных болтов после термической обработки в готовом изделии (болте), определяемое по п. 2.11;

 $F_{\rm HT}$  — площадь сечения болта нетто, определяемая по п. 9.8.

## соединения с фрезерованными торцами

9.12. В соединениях элементов с фрезерованными торцами (в стыках и базах колони и т. п.) сжимающая сила считается полностью

передающейся через торцы.

Во внецентренно сжатых элементах сварные швы, заклепки или болты указанных соединений проверяются на наибольшее растягивающее усилие от действия изгибающего момента, соответствующего минимальной продольной силе.

## поясные соединения в составных балках

9.13. Сварные швы и заклепки, соединяющие стенки и пояса составных двутавровых балок, рассчитываются по формулам табл. 44.

Примечания: 1. При неподвижной сосредоточенной нагрузке, приложенной к верхнему поясу, предусматривается, что в местах приложения грузов имеются ребра жесткости, приваренные или плотно пригнанные к верхнему поясу. При отсутствии указанных ребер рас-

Таблица 44 Формулы для расчета поясных соединений в составных балках

Херантер нагрузки	Соедивеняя	Расчетные формулы						
Haranana namuna (aaanaa	Угловые швы	$\frac{QS_{\Pi}}{2(\beta h_{10})J_{6p}} \leqslant R_{\mathbf{y}}^{cs} \tag{82}$						
Неподвижная нагрузка (распреде- ленная и сосредоточенная)	Заклепки	$a \frac{QS_n}{J_{6p}} \leqslant N^{36KR} \tag{83}$						
Подвижная сосредоточенная на-	Угловые швы	$\frac{1}{2(\beta h_{\rm m})} \sqrt[3]{\left(\frac{QS_{\rm m}}{J_{\rm 6p}}\right)^2 + \left(\frac{n_1 P}{z}\right)^2} < R_{\rm y}^{\rm cB} $ (84)						
грузка	Заклепки	$a \sqrt{\left(\frac{QS_{\Pi}}{J_{Cp}}\right)^2 + \left(\frac{\alpha n_i P}{z}\right)^2} \leqslant N^{\text{SSKA}} $ (85)						
Обозначения, принятые в табл. 44:								
<ul> <li>Q — наибольшая поперечная сила в рассматриваемом сечении;</li> <li>S<sub>n</sub> — статический момент брутто пояса балки относительно нейтральной оси;</li> <li>h<sub>m</sub> — толщина углового шва;</li> <li>β — коэффицент, принимаемый по п. 9.3;</li> <li>а — шаг поясных заклепок;</li> <li>N<sup>3aka</sup> — меньшее из двух значений расчетного усилия на одну заклепку, принимаемое равным;</li> </ul>								
при расчете на срез	п	ри расчете на смятие						
$N^{\text{SaKA}} = n_{\text{cp}} \frac{\pi d^2}{4}.$	R <sub>cp</sub> <sup>3akn</sup> ;	$N^{\mathrm{SakA}} = d\Sigma \delta R_{\mathrm{CM}}^{\mathrm{SakA}};$						
№ — п <sub>ср</sub> 4 кср ,  Ry, R <sub>cp</sub> , R <sub>cm</sub> , R <sub>cm</sub> — соответственно расчетные сопротивлення угловых швов срезу и заклепочных соединений срезу и смятню, принимаемые по табл. 5 и 6;  Р — велична расчетного сосредоточенного груза (для подкрановых балок — расчетная величина давления колеса крана, принимаемая без коэффициента динамичности);  п <sub>1</sub> — коэффициент, принимаемый согласно указаниям п. 4.13;  г — условная длина распределения давления сосредоточенного груза, принимаемая согласно указаниям п. 4.13;  α — коэффициент, принимаемый:  при нагрузке по верхнему поясу клепаной балки, в которой стенка пристрогана к верхнему поясу, — α = 0.4; то же, по при отсутствии пристрожки стенки, а также при нагрузке по пижнему поясу — α = 1.								

чет прикрепления верхнего пояса ведется, как для по-

движной сосредоточенной нагрузки.

2. При приложении веполникой сосредоточенной нагрузки к нижнему поясу балки сварные швы и закленки, прикрепляющие этот пояс к стенке, рассчитываются по формулам (84) и (85) независимо от наличия ребер жесткости в местах приложения грузов.

 Сварные поясные швы, выполненные с проваром на всю толщину стенки, считаются равнопрочными со

стенкой.

9.14. В клепаных балках с многолистовы-

ми поясными пакетами каждый из листов должен быть прикреплен за местом своего теоретического обрыва из расчета на половину усилия, которое может быть воспринято сечением листа. Каждый лист на участке между действительным местом его обрыва и местом обрыва предыдущего листа должен быть прикреплен из расчета на полное усилие, которое может быть воспринято сечением листа.

## 10. УКАЗАНИЯ, ПО ПРОЕКТИРОВАНИЮ СТАЛЬНЫХ КОНСТРУКЦИЙ И ИХ ЭЛЕМЕНТОВ

#### ОБЩИЕ УКАЗАНИЯ

- 10.1. При проектировании стальных конструкций надлежит:
- а) предусматривать связи, обеспечивающие в процессе монтажа и эксплуатации устойчивость и пространственную неизменяемость сооружения в пелом и его элементов, назначая их в зависимости от основных параметров сооружения и режима его эксплуатации (конструктивная схема, пролеты, типы кранов и режим их работы, температурные воздействия и т. п.);
- б) учитывать производственные возможности и мощность кранового оборудования предприятий — изготовителей металлоконструкций, а также подъемно-транспортное и другое оборудование монтажных организаций;
- в) компоновать конструкции из наименьшего количества марок стали, профилей проката и деталей;
- г) яспользовать металл с наименьшими отходами и потерями;
- д) производить разбивку конструкций на отправочные элементы с учетом габаритов транспортных средств, рационального и экономичного транспортирования конструкций на строительство и выполнения максимального объема работ на предприятии-изготовителе;
- е) предусматривать возможность укрупнення отправочных элементов конструкций на строительной площадке для монтажа крупными блоками;
- ж) использовать возможность фрезерования торцов для мощных сжатых и внецентренно-сжатых элементов (при отсутствии значительных краевых растигизающих напряжений) при наличии соответствующего оборудования на предприятии-изготовителе;
- в) предусматривать монтажные крепления элементов, обеспечивающие возможность лег-

кой сборки и удобного выполнения соединений элементов на монтаже (устройство монтажных столиков и т. п.), а также быстроту выверки конструкций;

 и) назначать монтажные соединения элементов преимущественно болговыми;

- к) в болтовых монтажных соединениях преимущественно применять болты грубой и нормальной точности; при этом в соединениях, воспринимающих значительные вертикальные усилия (крепления ферм, ригелей, рам и т. п.), рекомендуется передавать эти усилия на столики, устраняющие работу болтов на срез; при наличии в соединениях изгибающих моментов следует использовать работу болтов грубой и нормальной точности на растяжение.
- 10.2. При проектировании стальных сварных конструкций необходимо стремиться к уменьшению возможного вредного влияния остаточных деформаций и напряжений, в том числе и сварочных, а также к снижению концентрации напряжений, предусматривая соответствующие конструктивные решения (с наиболее равномерными эпюрами рабочих напряжений в элементах и деталях, без входящих углов, резких перепадов сечения и других концентратов напряжений), а также технологические мероприятия (порядок сборки и сварки, предварительный выгиб, механическая обработка соответствующих зон путем строжки, фрезерования, зачистки абразивным кругом и др.).

10.3. При проектировании сварных соединений стальных конструкций необходимо принимать меры против возможного хрупкого разрушения этих конструкций в процессе их монтажа и эксплуатации в результате неблагоприятного сочетания следующих факторов;

а) высоких местных напряжений, вызванных воздействием сосредоточенных нагрузок

или деформаций деталей соединений, а также остаточных напряжений;

б) резких геометрических концентраторов напряжений, являющихся следствием неудачной конструкции сварного соединения и т. п., в особенности расположенных на участках с высокими местными напряжениями и ориентированных поперек направления действующих растягивающих напряжений;

в) пониженной температуры, при которой данный вид стали в зависимости от ее химического состава, структуры и толщины проката

переходит в хрупкое состояние.

При выборе типа конструкций следует учитывать, что конструкции со сплощной стенкой обладают меньшим количеством концентраторов напряжений и менее чувствительны к эксцентрицитетам по сравнению с решетчатыми конструкциями.

10.4. Конструкции, которые могут подвергнуться воздействию расплавленного металла (в виде брызг при разливке металла, при прорыве металла из печей или ковщей в случае повреждения стопоров и т. п.), защищаются облицовкой или ограждающими стенками из огнеупорного кирпича или жароупорного бетона, защищенными от механических повреждений.

Конструкции, подвергающиеся длительному воздействию лучистой или конвекционной теплоты или кратковременному воздействию огня во время аварий тепловых агрегатов, должны защищаться подвесными металлическими экранами или футеровкой из кирпича

или жароупорного бетона.

10.5. Стальные конструкции, подвергающиеся воздействию агрессивной среды, должны быть предохранены от коррозии в соответствии с требованиями главы СНиП по проектированию антикоррозионной защиты строительных конструкций. Следует, как правило, применять сечения, легко доступные очистке и окраске или нанесению других защитных покрытий, а также сечения с наименьшим отношением периметра к площади.

10.6. Прогибы изгибаемых элементов не должны превышать величин, приведенных в табл. 45.

При определении прогиба конструкции, изготавливаемой со строительным подъемом, прогиб от постоянной нагрузки и половины временной не учитывается, если он не превышает величины строительного подъема; при прогибе, превышающем строительный подъем, учитывается только разность между величиной прогиба и строительного подъема.

Таблица 45

Предельные прогибы изгибаемых элементов

<ol> <li>Подкрановые балки и фермы:</li> <li>а) при ручных кранах.</li> <li>б) при электрических кранах грузоподъемностью ≤50 т.</li> </ol>	1/500
зоподъемностью ≤50 т	
	1/600
в) то же, грузоподъемностью >50 т	1/750 1/500 1/400
4. Балки рабочих площадок произ- водственных зданий: а) при отсутствии рельсовых пу- тей:	
главные балкипрочне >	1/400 1/250
<ul> <li>б) при наличии узкоколейных путей</li> <li>в) то же, ширококолейных путей</li> <li>Балки междуэтажных перекрытий:</li> </ul>	1/400 1/600
а) главные балки	1/400
б) прочие »	1/250
а) главные балки и фермы б) прогоны	1/250 1/200
7. Элементы фахверка: а) стойки, ригели	1/300
б) прогоны остеклення (в вертн- кальной и горизонтальной плоскостях)	1/200

Примечания: 1. Прогибы определяются от нормативной нагрузки без учета ослабления сечений отверстиями для заклепок или болтов, а также без учета коэффициента динамичности.

2. При наличии штукатурки прогиб балок перекрытий только от временной нагрузки не должен быть более 1/350 пролета.

10.7. Горизонтальные деформации (смещения) колонн на уровне верхнего пояса подкрановых балок не должны превышать величин, приведенных в табл. 46.

Прогибы тормозных конструкций (балок или ферм) под краны «особого» режима работы не должны превышать 1/2000 их пролета.

Смещение колонн в поперечном и продольном направлениях, а также прогиб тормозных конструкций определяются от сил торможения, вычисленных в соответствии с указаниями главы СНиП по нагрузкам и воздействиям от одного крана наибольшей грузоподъемности из числа установленных в здании или на эстакаде. Сила поперечного торможения распределяется между двумя противостоящими

Таблица 46 Ппелельные смещения колонн от воздействия кранов

з открытых одкрановых эстакадах	в зданиях п сооружениях с кранами «особого» режима работы
1/4000	1/2500
-	1/4000
1/4000	1/4000
	_

Таблица 47 Предельные размеры температурных отсеков одноэтажных зданий и сооружений

		Преде	льные	разме	рывы		
Қатегория эданий шли сооружений	RHE ( Qa ( AO AE EEART	стоя- от тор- осн осн жай- вер- льной язн	OTO (B)	ина :eka (оль ная)	ПІнрвяа отсека		
	При расчетных зимиях температурах наружного воздуха						
	2•0 <del>4</del> — <b>₹</b> ;	24%-C> >4%-6%-C	t>—40°C	40°C> >1 <b>&gt;</b> 10°C>	\$>—40°C	>10°C>	
1. Отапливаемые эда- ния	90	60	230	160	150	110	
здания и горячие цеха	75	50	200	140	120	90	
3. Открытые эстака	50	40	130	100	_	-	

Примечание. При наличии в пределах температурного отсека здания или сооружения двух вертикальных связей расстояние между последними в осях не должно превышать для зданий — 40—50 м и для открытых эстакад — 25—30 м; при этом для зданий и сооружений, возводимых в районах с расчетной температурой ниже —40°С, принимаются меньшие из указанных расстояний.

колоннами пропорционально их жесткостям: при этом на менее жесткую колонну передается не менее 30% полной силы торможения.

Сила продольного торможения распределяется между всеми вертикальными связями, установленными в пределах температурного отсека; при отсутствии вертикальных связей сила торможения передается на все колонны, расположенные в пределах температурного от-

10.8. Поперечные смещения опор транспортерных галерей не должны превышать 1/250H, где H — высота опор.

10.9. Климатические температурные воздействия на стальные конструкции одноэтажных зданий и сооружений разрешается не учитывать при соблюдении предельных размеров их температурных отсеков, указанных в табл. 47, если жесткость каркаса не увеличена стенами или другими конструкциями. При превышении указанных в табл. 47 размеров конструкции надлежит рассчитывать на температурные воздействия.

#### БАЛКИ

10.10. Применять пакеты листов для поясов сварных двугавровых балок не рекомендуется.

Для поясов клепаных двутавровых балок допускается применять пакеты, состоящие не более чем из трех листов; при этом площадь поясных уголков надлежит принимать равной не менее 30% всей площади пояса.

Свободные кромки растянутых поясов подкрановых балок и балок рабочих площадок, непосредственно воспринимающих нагрузку от подвижных составов, должны быть прокатными, строгаными или обрезанными машинной газовой резкой (при условии обеспечения ровных кромок без подрезов).

10.11. Поясные швы сварных балок, а также швы, присоединяющие к основному сечению балки вспомогательные элементы (например, ребра жесткости), должны выполняться

непрерывными.

Верхние поясные швы в подкрановых балках и балках рабочих площадок, непосредственно воспринимающих нагрузки от подвижного состава, должны выполняться с проваром на всю толщину стенки.

10.12. В сварных балках заводские стыки поясных листов и стенок надлежит выполнять встык без накладок с применением двусторонней сварки.

Одностороннюю сварку допускается применять только при условии подварки корня шва.

Поверхности стыковых швов поясных листов рекомендуется зачищать заподлицо с основным металлом.

Қонцы швов встық надлежит выводить за пределы стыка (на подкладки).

Количество стыков в растянутых элементах

должно быть ограничено.

10.13. При расчете подкрановых балок под краны «особого» режима работы, тормозных конструкций и их креплений надлежит учитывать воздействие горизонтальных боковых сил, вызываемых движением крановых мостов.

Размеры ребер жесткости подкрановых балок должны удовлетворять требованиям п. 6.8, при этом ширина выступающей части парного ребра должна быть не менее 100 мм. Швы креплений ребер к верхнему поясу должны быть рассчитаны с учетом кручения этого пояса.

#### ФЕРМЫ

10.14. Оси стержней ферм должны быть центрированы во всех узлах. Центрирование стержней следует производить в сварных фермах по центрам тяжести сечений (с округлением до 5 мм), а в клепаных — по рискам уголков.

10.15. Внецентренное приложение нагрузок и внецентренная передача усилий, как правило, не допускаются. При наличии эксцентрицитетов элементы ферм надлежит рассчитывать с учетом дополнительных моментов.

Допускается не учитывать смещение осей поясов ферм при изменении сечений, если оно не превышает 1,5% высоты пояса в тяжелых

фермах и 5% — в легких фермах.

10.16. При пролетах ферм покрытий свыше 36 м рекомендуется предусматривать строительный подъем, равный прогибу от постоянной нагрузки и половины временной нагрузки. При плоских кровлях строительный подъем следует предусматривать независимо от величины пролета, принимая величину подъема равной прогибу от суммарной нормативной нагрузки плюс 1/200 пролета.

10.17. При расчете ферм с элементами из двух уголков или сварного тавра соединения элементов в узлах ферм допускается принимать шарнирными. При двутавровых и Н-образных сечениях элементов расчет ферм по шарнирной схеме допускается, когда отношение высоты сечения к длине элементов не превышает: 1/10 — для конструкций, эксплуати-

руемых при расчетной температуре минус 40° С и выше; 1/15 — при расчетной температуре ниже минус 40° С.

При превышении этих отношений надлежит учитывать дополнительные изгибающие моменты в элементах от жесткости узлов. Учет жесткости узлов в фермах разрешается производить приближенными методами, осевые усилия допускается определять по шарнирной схеме.

Расстояние между краями элементов решетки и пояса в узлах ферм с фасонками следует принимать 40—50 мм.

10.18. Между торцами стыкуемых элементов поясов ферм, перекрываемых накладками, следует оставлять зазор не менее 50 мм.

Стыки поясов ферм, эксплуатируемых или монтируемых при расчетной температуре ниже минус 40° С, следует располагать вне узлов, при этом наименьшее расстояние между ближайшими краями стыковой накладки и узловой фасонки должно быть не менее удвоенной высоты сечения пояса и не менее 200 мм.

#### колонны

10.19. Стенки сплошных колонн при  $\frac{h_0}{\delta} \gg \frac{100}{\sqrt{R}}$  (где R в т/см²) следует укреплять

парными поперечными ребрами жесткости, расположенными на расстоянии 2,5h<sub>0</sub>—3h<sub>0</sub> одно от другого; на каждом отправочном элементе должно быть не менее двух ребер.

Ширина выступающей части поперечного ребра жесткости должна быть не менее  $\frac{h_0}{30}$  + +40 мм; толщина ребра из стали классов C38/23—C46/33 не менее  $b_p/15$ , из стали классов C52/40—C85/75— не менее  $b_p/12$ .

Прнмечаине. Отступление от требований п. 10.19 может быть допущено для стандартных сварных двутавров специализированного производства при условин обеспечения неизменяемости формы сечения.

10.20. Составные колонны следует укреплять диафрагмами, соединяющими ветви этих колонн. Диафрагмы следует располагать не более чем через 4 м по высоте колонны; при этом в отправочном элементе должно быть не менее двух диафрагм:

 Заводские стыки колони следует выполнять сварными, прямыми встык с полным проваром.

#### Связи

10.22. Нижние пояса полкрановых балок и ферм должны быть укреплены в горизонтальной плоскости так, чтобы их свободная длина не превышала 12 м.

При установке вертикальных связей необходимо учитывать пространственную работу

полкрановых балок.

10.23. Вертикальные связи между основными колоннами ниже подкрановых балок при двухветвевых колоннах наплежит располагать в плоскости каждой из ветвей колонны.

В крайних колоннах зданий допускается установка указанных связей только в плоскости подкрановой ветви колонны: при этом должна быть обеспечена развязка наружной (шатровой) ветви на уровне тормозной конструкции.

10.24. При проектировании покрытий зданий и сооружений, возводимых или эксплуатируемых при расчетных температурах ниже минус 40° С, следует, как правило, предусматривать (дополнительно к обычно применяемым связям) вертикальные связи посередине каждого пролета вдоль всего здания.

10.25. Горизонтальные связи по верхним и нижним поясам разрезных ферм пролетных строений транспортерных галерей следует проектировать раздельно для каждого про-

лета.

#### ЛИСТОВЫЕ КОИСТРУКЦИИ (ОБОЛОЧКИ ВРАЩЕНИЯ)

10.26. Элементы поперечной жесткости оболочек следует проектировать замкнутой формы.

10.27. Передачу сосредоточенных воздействий на листовые конструкции следует, как правило, предусматривать через элементы жесткости.

10.28. В местах сопряжений оболочек различной формы рекомендуется применять плавные переходы в целях уменьшения местных напряжений.

10.29. Выполнение всех стыковых швов следует предусматривать либо двухсторонней сваркой, либо односторонней сваркой с подваркой корня или на подкладках.

В проекте надлежит указывать на необходимость обеспечения плотности соединений конструкций, в которых эта плотность тре-

буется.

10.30. В листовых конструкциях рекомендуется применять сварные соединения встык. Соепинения листов толшиной 5 мм и менее. а также монтажные соединения разрешается осуществлять внахлестку.

10.31. При проектировании листовых конструкций необходимо предусматривать индустриальные метолы их изготовления и монта-

жа путем применения:

а) листов и лент больших размеров;

- б) способа рулонирования, изготовления заготовок в виде скордуп и др.:
- в) раскроя, обеспечивающего наименьшее количество отходов:
- г) автоматической сварки с минимальным количеством сварных швов, выполняемых на монтаже.

#### СВАРНЫЕ СОЕДИНЕНИЯ

- 10.32. В конструкциях со сварными соединениями следует
- а) предусматривать применение высокопроизводительных механизированных способов сварки:
- б) предусматривать такое расположение сварных швов, при котором максимально сокрашалась бы необходимость каптовки конструкций при их изготовлении:
- в) обеспечивать свободный доступ к местам наложения швов с учетом выбранного способа и технологии сварки,
- г) назначать толщины, взаимное расположение швов и выбирать такой способ сварки, чтобы в конструкциях возникали возможно меньшие собственные напряжения и деформации от сварки;
- д) избегать сосредоточения большого количества швов в одном месте:
- е) принимать минимально необходимое количество и минимальные размеры сварных
- 10.33. Разделка кромок под сварку должна назначаться с учетом способа сварки, толщины свариваемых элементов, положения их в пространстве и технологии сварки. Разделку кромок под сварку следует принимать по ГОСТ 8713-70 «Швы сварных соединений. Автоматическая и полуавтоматическая сварка под флюсом. Основные типы и конструктивные элементы»; ГОСТ 11533-65 «Швы сварных соединений. Автоматическая и полуавтоматическая сварка под флюсом. Основные типы и конструктивные элементы (под острым и тупым углами)»; ГОСТ 14771—69 «Швы сварных соединений. Электродуговая сварка в защитных газах. Основные типы и конструктив-

ные элементы»; ГОСТ 5264—69 «Швы сварных соединений. Ручная электродуговая сварка. Основные типы и конструктивные элементы»; ГОСТ 11534—65 «Швы сварных соединений. Ручная электродуговая сварка. Основные типы и конструктивные элементы (под острым и тупым углами)».

- 10.34. Размеры и форма сварных угловых швов должны удовлетворять следующим требованиям:
- а) толщина угловых швов  $h_{\rm m}$  должна быть не менее 4 мм (за исключением швов в деталях толщиной менее 4 мм) и не более 1,28, где  $\delta$  наименьшая толщина соединяемых элементов;
- б) в зависимости от толщины свариваемых элементов толщины угловых однопроходных швов  $h_{\rm m}$  следует принимать не менее указанных в табл. 48 величин (с учетом п. 10.34, а);

Таблица 48 Минимальные толщины h<sub>из</sub> угловых швов

Минимальная толщина h<sub>it</sub> в мм, Толщина более толстого в конструкциях из стали классов на свариваемых элементов B MOS C38/23, C44/29 C46/33-C85/75 7-10 11---22 8 6 -32 8 10 -50 10 12 51 и более

Примечание. В конструкциях из стали класса СЗ8/23 и С44/29, возводимых в районах с расчетными зимними температурами ниже —40° С, минимальные толщины швов следует принимать такими же, как для стали класса С46/33—С85/75.

- в) расчетная длина углового (флангового и лобового) шва должна быть не менее  $4h_{\rm m}$  и не менее 40 мм;
- г) наибольшая расчетная длина флангового шва должна быть не более 60hm, за исключением швов сопряжений, в которых усилие, воспринимаемое фланговым швом, возникает на всем его протяжении (в последнем случае длина флангового шва не ограничивается);
- д) величина напуска в соединениях внахлестку должна быть не менее 5 толщин наиболее тонкого из свариваемых элементов;
- е) в конструкциях, воспринимающих динамические и вибрационные нагрузки, а также в конструкциях, возводимых в районах с расчетными зимними температурами ниже минус 40° С, и в конструкциях из сталей классов C60/45 — C85/75 угловые швы должны выпол-

няться с плавным переходом к основному металлу; фланговые швы, воспринимающие продольные силы, допускается выполнять с плоской поверхностью;

ж) соотношения размеров катетов угловых швов следует принимать для швов:

фланговых — 1:1;

лобовых — 1:1 в конструкциях из сталей классов C38/23—C52/40, воспринимающих статические нагрузки;

то же — 1:1,5 в конструкциях, воспринимающих динамические и вибрационные нагрузки, а также в конструкциях, возводимых в районах с расчетными зимними температурами ниже минус 40° С, и в конструкциях из сталей классов C60/45—C85/75.

10.35. Конструктивные формы сварных соединений в конструкциях из сталей классов С60/45 — С85/75, в конструкциях, возводимых в районах с расчетными зимними температурами ниже минус 40° C, и в конструкциях, воспринимающих динамические и вибрационные нагрузки, должны обеспечивать наиболее равномерную эпюру напряжений в элементах и деталях, а также наименьшие реактивные напряжения от сварки. С этой целью необходимо избегать резких геометрических концентраторов напряжений (входящих углов, перепадов сечений и т. д.), особенно расположенных на участках с высокими местными или остаточными напряжениями. Применение пакетов листов в таких конструкциях не рекомендуется; следует предусматривать полную обварку ребер жесткости и выведение концов угловых щвов на малонагруженные элементы.

Устройство стыков с неполным перекрытием сечения (например, стык поясов при отсутствии стыка стенки) не допускается.

10.36. В сварных стыковых соединениях листов разного сечения в целях обеспечения плавности перехода сечения от меньшей толщины (ширины) к большей следует предусматривать скосы у более толстого (широкого) листа с одной или двух его сторон с уклоном не более 1:5.

Стыкование листов разной толщины без устройства скосов разрешается при условии, если разница в толщинах листов не превышает 4 мм, а величина уступа в месте стыка не превышает 1/8 толщины более тонкого листа (для конструкций из сталей классов С60/45—С85/75 указанные величины должны составлять соответственно 2,5 мм и 1/12; при этом необходима механическая обработка ступеньки перед подваркой корня шва).

10.37. В конструкциях из стали классов C60/45—C85/75, возводимых в районах с расчетными зимними температурами ниже минус 40° С, свариые стыки следует, как правило, осуществлять прямыми встык с двухсторонней сваркой и полным проваром.

В монтажных условиях допустима односторонняя сварка с подваркой корня шва и сварка на остающейся стальной подкладке.

Примечание. Стыковые швы должны выполняться с применением выводных планок.

10.38. Применение комбинированных соединений, в которых часть усилий воспринимается сварными швами, а часть заклепками, запрешается.

10.39. Применение прерывистых швов, электрозаклепок, выполняемых ручной сваркой с предварительным сверлением отверстий, а также заварка монтажных отверстий запрещается в конструкциях всех групп, кроме конструкций VI группы (см. приложение 1).

#### ЗАКЛЕПОЧНЫЕ И БОЛТОВЫЕ СОЕДИНЕНИЯ.

10.40. В рабочих элементах конструкций число заклепок, прикрепляющих элемент в узле или расположенных по одну сторону стыка, должно быть не менее двух.

Примечание. Элементы опор линий электропередач, а также элементы соединительных решеток составных стержней допускается крепить на одной заклепке.

10.41. Толщина склепываемого пакета, как правило, не должна превосходить 5 днаметров заклепки.

При применении заклепок с повышенными головками и коническими стержнями толщина пакета может доходить до 7 диаметров заклепки; при этом клепка должна производиться в соответствии с требованиями главы СНиП по изготовлению и монтажу.

10.42. Размещение закленок и болтов (в том числе высокопрочных) должно производиться в соответствии с табл. 49.

Соединительные заклепки и болты должны размещаться, как правило, на максимальных расстояниях; в стыках и узлах рекомендуется размещать заклепки и болты на минимальных расстояниях.

При размещении заклепок или болтов в шахматном порядке расстояние между их центрами, в рядах вдоль усилия, следует принимать не менее a+1.5d, где a — расстояние между рядами поперек усилия; d — по табл. 49. При таком размещении сечение элемента  $F_{\rm HT}$ 

Таблица 49 Размещение заклепок и болтов

	~········				
Характеристика расстояния	Расстояния				
<ol> <li>Расстояния между центрами за- клепок и болтов в любом направ- лении:</li> </ol>					
а) минимальное , , , , , , , , , , , , , , , , , , ,	3d				
и сжатии  в) максимальное в средних ря- дах, а также в крайних рядах при налични окаймляющих уголков:	8d или 128				
при растяжении	16d или 246 12d или 188				
<ul> <li>а) минимальное, вдоль усилия</li> <li>б) то же, поперек усилия:</li> </ul>	2đ				
при обрезных кромках	1,5d 1,2d 4d njin 88				
Обозначення, принятые в табл. 49:  d — днамегр отверстия для заклепки или болта;  б — толицина наиболее тонкого наружного элемента.					

определяется с учетом ослабления его отверстиями, расположенными только в одном сечении поперек усилия (не по «зигзагу»).

10.48. Монтажные крепления конструкций зданий и сооружений с кранами «особого» режима работы, а также конструкций под железнодорожные составы следует осуществлять на сварке, заклепках или высокопрочных болтах.

Болты грубой и нормальной точности в монтажных соединениях этих конструкций допускается применять:

- а) для крепления прогонов, элементов фонарной конструкции, связей по верхним поясам ферм (при наличии связей по нижним поясам или жесткой кровли), вертикальных связей по фермам и фонарям, а также элементов фахверка;
- б) для крепления связей по нижним поясам ферм при наличии жесткой кровли (например, из сборных железобетонных или армированных плит из ячеистых бетонов и т. п.);
- в) для крепления стропильных и подстропильных ферм к колоннам и стропильных ферм к подстропильным, при условии передачи вертикального опорного давления через столик;

- г) для крепления подкрановых балок друг к другу по длине, а также для крепления нижнего пояса их к колоннам, к которым не крепятся вертикальные связи;
- д) для крепления балок рабочих площадок, не подвергающихся воздействию динамических нагрузок, при условии передачи вертикального опорного давления через столик;
- е) для крепления второстепенных конструкций.

Во всех случаях применения в монтажных соединениях болтов грубой и нормальной точности (за исключением крепления второстепенных конструкций) должны быть предусмотрены меры, предотвращающие возможность развинчивания гаек.

ПРИЛОЖЕНИЕ 1

## УКАЗАНИЯ ПО ПРИМЕНЕНИЮ СТАЛИ ДЛЯ СТАЛЬНЫХ КОНСТРУКЦИЙ ЗДАНИЙ И СООРУЖЕНИЯ

Таблица 50

					Tpe	ной в В КГ	изност по по по по по по по по по п	
Расчеткая температура в ° С	Класс сталн	Марка стали	Толщина листового, сортового и фасонного проката гост или ТУ на поставку при темпетуре в о			epa• °C	noche Mezakir- Teckoro CTR-	
<u> </u>		3	4	<u> </u>	-20 6	-40 7	-70 8	2 2
ве 301 Эл	ргающиеся к (балки ементы ко	і непосредственно рабочих площадо нструкций бунке рузку от подвиж	ому воздействию динамиче ок главных зданий марте риых и разгрузочных эста	собо тяжелых условиях и еских или вибряционных и новских и конверторных и икад, непосредственио воси ые балки; фасонки стропи. . п.)	нагру- цехов грини	•		
	C38/23	B18Гле5 ВСт3спБ M16С	OT 5 A0 9 > 10 > 30 > 5 > 9 > 10 > 25 > 26 > 40	ЧМТУ 1—47—67 ЧМТУ 1—47—67 ГОСТ 380—71 ГОСТ 380—71 ГОСТ 6713—53	4 3 4 3,5	11111	1111	4 3 4 3,5
	C44/29	СтТсп 09Г2С	От 10 до 25 » 21 » 60	FOCT 14637—69 FOCT 5058—65*	=	3 3,5	=	3
t > — 40	C46/33	09Г2С 10Г2С! 10Г2С!Д 15ХСНД 14Г2**	Or 4 no 10 > 11 > 20 > 4 > 10 > 11 > 20 > 4 > 10 > 11 > 40 > 5 > 10 > 11 > 32 > 4 > 10 > 11 > 32	FOCT 5058—65*		4 3,5 4 3 4 3 3,5	11111111	3333333333
}	C52/40	10Г2С!*** 10ХСНД	От 10 до 40 > 4 > 10 > 11 > 15 > 16 > 40	FOCT 5058—65* FOCT 5058—65* FOCT 5058—65* FOCT 5058—65*	1111	5545	1111	3333

				П	родо	лжен	ие та	6 <b>a.</b> 50	
1	} 2	8	4	5	6	7	8	9	
	C44/29	09Г2C	От 21 до 60	FOCT 5058—65*	-	-	3	3	
-40> t ≥65	C46/33	09Г2C	От 4 до 10 > 11 » 20	FOCT 5058—65* FOCT 5058—65*	=	=	3,5 3	3	
	C52/40	10Г2С1*** 10ХСНД	От 10 до 40 э 11 э 40	FOCT 5058—65* FOCT 5058—65*	-	 	3	3	
Группа II. Сварные конструкции, находящиеся под непосредственным воздействием динамических или вибрационных нагрузок, кроме перечисленных в группе I (пролетные строения наклонных мостов доменных печей, пролетные строения и опоры транспортерных галерей и т. п.)									
	C38/23	BCr3nc6 B18fnc5 BCr3cu5 09f2C	От 5 до 10 > 11 > 30 > 11 > 25 > 61 > 160	FOCT 380—71 4MTY 1-47 67 FOCT 380—71 FOCT 5058—65*	3 3	3,5		3333	
	C44/29	СтТсп	От 10 до 25	FOCT 14637—69	-	3	-	3	
<i>t</i> ≥—30	C46/33	14F2 10F2C1 10F2CIA 15XCHД	OT 4 DO 10 > 11 > 32 > 4 > 10 > 11 > 40 > 5 > 10 > 11 > 32	FOCT 5058—65* FOCT 5058—65* FOCT 5058—65* FOCT 5058—65* FOCT 5058—65* FOCT 5058—65*	111111	35 34 34 3	11111	333333	
	C52/40	10Г2С1*** 10ХСНД 14Г2АФ 15Г2АФДяс	OT 10 RO 40 > 4 > 10 > 11 > 15 > 16 > 40 > 4 > 50 > 10 > 32	FOCT 5058—65* FOCT 5058—65* FOCT 5058—65* FOCT 5058—65* UMTY 1—349—68 TY 14—1—91—71	11111	554544	111111	333343	
	C60/45	15ХСНД*** 16Г2АФ 18Г2АФис 15Г2СФ***	Ot 10 no 32 > 4 > 50 > 4 > 32 > 8 > 32	FOCT 5058—65* 4MTY 1—349—68 4MTY 1—741—69 TY 14—1—64—71	1111	4 4 4 5	1 1 1	3433	
	C38/23	BCt3nc6 B18Fnc5 BCt3cn5	От 5 до 10 > 11 > 30 > 11 > 25	ГОСТ 380—71 ЧМТУ 1—47—67 ГОСТ 380—71	3 3	<u>-</u>	=	3 3 3	
	C44/29	СтТсп	От 10 до 25	ГОСТ 14637—69	-	3	-	3	
-30> t ≥-40	C46/33	14Г2 10Г2С1 10Г2С1Д 15ХСНД	Or 4 no 10 > 11 > 32 > 4 > 10 > 11 > 40 > 5 > 10 > 11 > 32	FOCT 5058—65* FOCT 5058—65* FOCT 5058—65* FOCT 5058—65* FOCT 5058—65* FOCT 5058—65*	11111	3,5 3 4 3 4 3	11111	333338	

		<del></del>	<u></u>			Alcoro-	a mar	īл. 50		
1	2	3	4	5	6		8	9		
-30> t ≥-40	C52/40	10Г2С1*** 10ХСНД 14Г2АФ 15Г2АФДпе	Or 10 no 40 > 4 > 10 > 11 > 15 > 16 > 40 > 4 > 50 > 10 > 32	FOCT 5058—65* FOCT 5058—65* FOCT 5058—65* FOCT 5058—65* FOCT 5058—65* UMTY 1—349—68 TY 14—1—91—71		5 4 5 4	111111	3 3 3 4 3		
	C60/45	15ХСНД*** 16Г2АФ 18Г2АФис 15Г2СФ***	От 10 до 32 » 4 » 50 » 8 » 32 » 8 » 32	ГОСТ 5058—65* ЧМТУ 1—349—68 ЧМТУ 1—741—69 ТУ 14—1—64—71	=======================================	4 4 4 5	1111	3 4 3 3		
	C38/23	09Г2C	От 61 до 160	ГОСТ 5058—65*	-	-	3	3		
	C44/29	09F2C	От 21 до 60	FOCT 5058—65*	-	_	3	3		
-40> t≥-65	C46/33	09F2C 10F2C1 10F2C1月 15XCH月	От 4 до 10 > 11 > 20 > 4 > 10 > 11 > 60 > 4 > 32	FOCT 5058—65* FOCT 5058—65* FOCT 5058—65* FOCT 5058—65* FOCT 5058—65*	 	<del></del>	3,5 3 3,5 2,5	3 3 3 3		
	C52/40	10Г2С1*** 10ХСНД	От 10 до 40 * 11 * 40	FOCT 5058—65* FOCT 5058—65*	_	-	3	3 3		
Γ	Группа III. Сварные конструкции перекрытий и покрытий (фермы, за исключением фасовок, ригели рам, главные балки перекрытий и т. п.)									
	C38/23	ВСт3пс6 ВСт3Глс5 В18Глс5	Or 5 no 9 > 10 > 25 > 10 > 30 > 10 > 30	FOCT 380—71 FOCT 380—71 FOCT 380—71 UMTV 1—47—67	33	1 1 1	1111	4 3 3 3		
	C44/29	СтТпе	От 10 до 25	ГОСТ 14637—69	-	3	-			
	C46/33	14Г2	От 4 до 10 » 11 » 32	FOCT 5058—65* FOCT 5058—65*	=	3,5 3		-		
<i>t</i> ≥−30	C52/40	10Г2С1*** 14Г2АФ 15Г2АФДпс 15Г2СФ	От 10 до 40 > 4 > 50 > 10 > 32 > 4 > 32	FOCT 5058—65*  'UMTV 1—349—68  TY 14—1—91—71  TY 14—1—64—71	<del>-</del>	5 4 4 4	1111	111		
	C60/45	15ХСНД*** 16Г2АФ 18Г2АФне 15Г2СФ***	Or 10 до 32 > 4 > 50 > 8 > 32 > 8 > 32	FOCT 5058-65*  4MTY 1-349-68  4MTY 1-741-69  TY 14-1-64-71	=======================================	4 4 4 5	111			

Продолжение таб	)A. D	v
-----------------	-------	---

· · · · · ·	1	T	<u> </u>	<del></del>	1 . 7 -	1 0 1 0
1	2	<u> </u> 3	4	5	6 7	8   9
t ≥30	C70/60	12Г2СМФ 14ГСМФР	От 10 до 32 » 4 » 40	ЧМТУ 1—644—69 ЧМТУ 1—45—67	- 3,5 - 3	<u> </u>
	C38/23	ВСт3пс6 ВСт3Гпс5 В18Гпс5 ВСт3сп5	От 5 до 10 » 11 » 30 » 11 » 30 » 11 » 25	FOCT 380—71 FOCT 380—71 UMTY 1—47—67 FOCT 380—71	3 3 -	- 3 3 - 3 3
	C44/29	СтТпе	От 10 до 25	FOCT 14637—69	3	- -
	C46/33	1472	Øт 4 до 10 » 11 » 32	FOCT 5058—65* FOCT 5058—65*	$\begin{vmatrix} - & 3.5 \\ - & 3 \end{vmatrix}$	= =
30> t ≥40	C52/40	10Г2С[*** 14Г2АФ 15Г2АФДас 15Г2СФ	От 10 до 40 > 4 > 50 > 10 > 32 > 4 > 32	FOCT 5058-65* 4MTY 1-349-68 TY 14-1-91-71 TY 14-1-64-71	- 5 4 - 4 - 4	
	C60/45	16ХСНД*** 16Г2АФ 15Г2СФ*** 18Г2АФпс	Or 10 no 32 Or 4 no 50 > 8 > 32 > 4 > 52	TOCT 5058—65*  UMTY 1—349—68  TY 14—1—64—71  UMTY 1—741—69	- 4 5 4	
	C70/60	12Г2СМФ 14ГСМФР	От 10 до 32 > 4 > 40	ЧМТУ 1—644—69 ЧМТУ 1—45—67	- 3,5 - 3	= =
	C44/29	09Г2С 09Г2	От 21 до 60 > 5 > 10	FOCT 5058—65* FOCT 5058—65*		3 - 3
40> t ≥65	C46/33	09Г2С 10Г2С! 15ХСНД	От 4 до 10 > 11 > 20 > 4 > 10 > 11 > 60 > 4 > 32	FOCT 5058—65* FOCT 5058—65* FOCT 5058—65* FOCT 5058—65* FOCT 5058—65*	] - [ - [	- 3 3 3 3,5 3 2,5 3
	C52/40	10Г2С1*** 10ХСНД	От 10 до 40 э 11 э 40	ΓΟCT 5058—65* ΓΟCT 5058—65*		3 3 3
			<u> </u>	<del></del>		

Группа IV. Сварные конструкции, не подвергающиеся непосредственному воздействию подвижных или вибрационных нагрузок (колонны, стойки, прогоны покрытий, опорные плиты; конструкции, поддерживающие технологическое оборудование и трубопроводы, сварные балки, бункера)

t ≥ -30 C38/23 BCτ3κπ2 Or 4 πο 30 FOCT 380-71 FOCT 380-71 FOCT 380-71 FOCT 380-71 FOCT 380-71
---

Продолжение табл. 50

2	3						
	<u> </u>	4	5	6	7 ]	8	9
C44/29	CTT	От 10 до 40	FOCT 14637—69	-	_		
C46/33	14Г2	От 4 до 10 » 11 » 32	FOCT 5058—65* FOCT 5058—65*		3,5 3	_	
C52/40	10Γ2CI*** 14Γ2ΑΦ 15Γ2ΑΦДπс 15Γ2CΦ	От 10 до 40 » 4 » 50 » 10 » 32 » 4 » 32	FOCT 5058—65*  4MTY 1—349—68  TY 14—1—91—71  TY 14—1—64—71		5 4 4 3	1111	1111
C60/45	16Γ2ΑΦ 15Γ2CΦ*** 18Γ2ΑΦης	От 4 до 50 » 8 » 32 » 4 » 32	ЧМТУ 1—349—68 ТУ 14—1—64—71 ЧМТУ 1—741—69	<del>-</del> -	4 5 4	-	-
C70/60	12Г2СМФ 14ГСМФР	От 10 до 32 * 4 * 40	ЧМТУ 1—644—69 ЧМТУ 1—45—67	=	3,5 3	-	-
C38/23	ВСт3пс6 ВСт3Гпс5 В18Гпс5	OT 5 до 9 > 10 > 25 > 10 > 30 > 10 > 30	FOCT 380—71 FOCT 380—71 FOCT 380—71 UMTY 1—47—67	33	1111	1111	4 3 3 3
C44/29	СтТпс	От 10 до 25	ГОСТ 1463769		3	_	-
C46/33	14Г2	От 4 до 10 » 11 » 32	FOCT 5058—65* FOCT 5058—65*	=	3,5 3	-	<u> </u>
C52/40	10Г2С1*** 14Г2АФ 15Г2АФДис 15Г2СФ	От 10 до 40 > 4 > 50 > 10 > 32 > 4 > 32	FOCT 5058—65*  4MTY 1—349—68  TY 14—1—91—71  TY 14—1—64—71	1111	5 4 4 3	1111	1111
C60/45	16Г2АФ 18Г2АФпс 15Г2СФ***	От 4 до 50 » 4 » 32 » 8 » 32	ЧМТУ 1—349—68 ЧМТУ 1—741—69 ТУ 14—1—64—71	=	4 4 5	=	<u>-</u>
C70/60	12Г2СМФ 14ГСМФР	От 10 до 32 » 4 » 40	ЧМТУ 1—644—69 ЧМТУ 1—45—67	-	3,5 3	=	=
C38/23	09Г2С*****	От 61 до 160	ГОСТ 5058—65*	_	3,5	-	_
C44/29	C1Tcn 09F2 09F2C	OT 10 до 25 > 5 > 10 > 11 > 20 > 21 > 32 > 21 > 32 > 33 > 60	FOCT 14637—69 FOCT 5058—65* FOCT 5058—65* FOCT 5058—65* FOCT 5058—65* FOCT 5058—65*	11111	3 4 3,5	3	11111
	C46/33 C52/40 C60/45 C70/60 C38/23 C44/29 C46/33 C52/40 C60/45 C70/60 C38/23	C46/33       14Γ2         C52/40       10Γ2C1*** 14Γ2ΑΦ 15Γ2ΑΦ Дпс 15Γ2CΦ         C60/45       16Γ2ΑΦ 15Γ2CΦ*** 18Γ2ΑΦης         C70/60       12Γ2CMΦ 14ΓCMΦP         C38/23       BCτ3Γης5 B18Γης5 B18Γης5         C44/29       CτTης         C46/33       14Γ2         C52/40       10Γ2C1*** 14Γ2ΑΦ 15Γ2ΑΦ Дης 15Γ2ΑΦ Дης 15Γ2CΦ***         C60/45       16Γ2ΑΦ 18Γ2ΑΦης 15Γ2CΦ***         C70/60       12Γ2CMΦ 14ΓCMΦP         C38/23       09Γ2C******         C44/29       C7Tcη 09Γ2	C46/33       14Γ2       OT 4 πο 10 πο 40 14Γ2ΑΦ 15Γ2ΑΦ Ππς 15Γ2ΛΦ πς 16 × 32 15Γ2ΛΦ Ν 4 × 32         C60/45       16Γ2ΑΦ 15Γ2ΛΦ Ν 4 × 32 16Γ2ΛΦ Ν 4 × 40 16ΓΛ Ν 16Γ	C46/33 14Γ2	C46/33         14Γ2         OT 4 πο 10	C46/33         14Γ2         Or 4 πο 10 πο 40 FOCT 5058—65* FOCT 5058—65*         — 3,5           C52/40         10Γ2CI*** HIF 2AΦ	C46/33 14Γ2

1	2	3	4	5	6	7	8	9
40> <i>t</i> ≥50	C44/29	10Г2С1*****	От 61 до 160	FOCT 505865*	-		3	_
	C46/33	09 <b>Г2С</b> 10Г2С1	От 4 до 10 > 11 > 20 > 4 > 10 > 11 > 60	FOCT 5058—65* FOCT 5058—65* FOCT 5058—65* FOCT 5058—65*	1111	4 3,5 4	2,5	-
	C52/40	10F2C1***	От 10 до 40	FOCT 5058—65*	-	-	3	-
~50> t ≥ −65	C44/29	09Г2C	От 21 до 60	FOCT 5058—65*	-		3	
	C46/33	09Г2С 10Г2С1 15ХСНД	От 4 до 11 > 11 > 20 > 4 > 10 > 11 > 60 > 4 > 32	FOCT 5058—65* FOCT 5058—65* FOCT 5058—65* FOCT 5058—65* FOCT 5058—65*	11111		3,5 3 2,5 3	1111
	C52/40	10Г2С1*** 10ХСНД	От 10 до 40 > 11 > 40	FOCT 5058—65* FOCT 5058—65*	-	<u>-</u>	3 3	_

Группа V. Конструкции I, II, III, IV групп, монтируемые при расчетной температуре ниже —40° С и эксплуатируемые в отапливаемых помещениях.

Все марки сталей, рекомендуемые для конструкций I, II, III и IV групп, с заменой требования по ударной вязкости при температуре минус 70° С требованием по ударной вязкости при температуре —40° С.

Значение ударной вязкости должно быть не менее 3 кгс·м/см2.

Группа VI. Вспомогательные конструкции зданий и сооружений (связи, элементы фахверка, лестницы, площадки, опоры светильников и т. п.) и слабонагруженные конструкции и элементы с напряжением менее 0,4 расчетного сопротивления

t ≥40	C38/23	ВСт3кп2	От 4 до 30	ГОСТ 380—71	-	-	1	_
40> <i>i</i> ≥65	C38/23	BCτ3cn5 BCτ3Γπc5 B18Γπc5	От 5 до 9 » 10 » 25 » 6 » 9 » 10 » 30 » 5 » 9 » 10 » 30	FOCT 380—71 FOCT 380—71 FOCT 380—71 FOCT 380—71 FOCT 380—71 FMTY 1—47—67 FMTY 1—47—67	4 3 4 3 4 3	11111	111111	4 3 4 3 4 3

Группа VII. Коиструкции, относящиеся к группам I, II и III, при выполнении их клепаными

				<del></del>				
1≥—40	C38/23	BCτ3nc6	От 5 до 9 » 10 » 25	FOCT 380—71 FOCT 380—71	_	=	=	3

				, Ti	оодол:	жени	е таб	л. 50
1 1	2	3	4	5	6	7	8	9
	C38/23	ВСт3Гле5 В18Гле5	От 10 до 30 » 10 » 30	ГОСТ 380—71 ЧМТУ 1—47—67	3 3	=	=	3 3
t ≽40	C44/29	СтТпс 09Г2	От 10 до 25 » 5 » 10 » 11 » 20 » 21 » 32	FOCT 14637—69 FOCT 5058—65* FOCT 5058—65* FOCT 5058—65*	1 1 1	3 4 3 4	- - -	=======================================
	C46/33	14Γ2	От 4 до 10 » 11 » 32	FOCT 505865* FOCT 505865*	=	3,5 3	_	=
	C52/40	10Г2C1***	От 10 до 40	FOCT 505865*	-	5		
	C44/29	СтТсп 09Г2 09Г2С	От 10 до 25 » 4 » 10 » 11 » 20 » 21 » 32	FOCT 14637—69 FOCT 5058—65* FOCT 5058—65* FOCT 5058—65*	1111	3433,5	1111	3 3 3 3
-40> t ≥-65	C46/33	14Г2 10Г2С1	Or 4 до 10 > 11 > 32 > 4 > 10 > 11 > 32	FOCT 5058—65* FOCT 5058—65* FOCT 5058—65* FOCT 5058—65*	1111	3,5 3 4 3	1111	3333
	C52/40	10Г2С1***	От 10 до 40	ГОСТ 5058—65*	-	-	3	3
Γ	руппа <sup>1</sup> мл	VIII. Конструкци и, а также элемен	н, относящиеся к группе 1 ты конструкций, не имеюш	V, при выполнении их кл ие сварных соединений	епаны	<b>!•</b>		
	C38/23	ВСт3кп2	От 4 до 30	roct 380—71	-	-	-	-
<i>t</i> ≥40	C44/29	СтТкв	От 10 до 25	ГОСТ 14637—69	-	3	-	
/	C46/33	14Г2	От 4 до 10 » 11 » 32	FOCT 5058—65* FOCT 5058—65*	=	3,5 3	-	
	C52/40	10F2C1***	От 10 до 40	FOCT 5058—65*	-	5	-	
	C44/29	СтТси 09Г2 09Г2С	От 10 до 25 » 4 » 10 » 11 » 20 » 21 » 32	FOCT 14637—69 FOCT 5058—65* FOCT 5058—65* FOCT 5058—65*	I →	3 4 3 3,5	- [   ] -	3333
40> t ≥65	C46/33	14Г2 10Г2С1	От 4 до 10 » i1 » 32 » 4 » 10 » 11 » 32	FOCT 5058—65* FOCT 5058—65* FOCT 5058—65* FOCT 5058—65*		3.5 3 4 3	1111	ಐಣನಾ
	C52/40	10Γ2C1***	От 10 до 40	FOCT 5058-65*	-	_	3	3

1	2	3	4	5	6	7	8	9
r	pynna l	Х. Конструкци	и, относящиеся к групп	e VI, не имеющие сваряых с	оединени	ě		
<i>i</i> >40	C38/23	ВСт3кп2	До 30	FOCT 380—71	<u> </u>	<u> </u>	<u> </u>	-
40> t ≥—65	C38/23	ВСт3сп5 ВСт3Гпс5 В18Гпс5	От 5 до 9 » 10 » 25 » 5 » 9 » 10 » 30 » 5 » 9 » 10 » 30	FOCT 380—71 FOCT 380—71 FOCT 380—71 FOCT 380—71 UMTY 1—47—67 UMTY 1—47—67	4 3 4 3 4 3			4 3 4 3 4 3

- \*\* Не применяется нигде, кроме фасонок ферм.
- Сталь термоупрочненная.

См. примечание 4, а к табл. 2.

\*\*\*\*\* Применяется только для опорных плят (см. примечание 4, б к табл. 2).

\*\*\*\*\*\* Применяется только для опориых плит.

Примечання: 1. Указания настоящей таблицы не распространяются на стальные конструкции сцециальных сооружений: магистральные и технологические трубопроводы, резервуары специального назначения (для хранения нефтепродуктов и др.), кожухи доменных лечей и воздухонагревателей, мачты и башни сооружений связи, опоры лиций электропередачи, опоры контактных сетей и т. п. Марки стали для этих конструк-ций устанавливаются соответствующими главами СНиП или специальными руководствами. 2. За расчетную температуру принимается:

- а) при возведении конструкций в районах с расчетной температурой наружного воздуха мииус 40° С и выше — температура, при которой конструкции эксплуатируются;
- б) при возведении конструкций в районах с расчетной температурой наружного воздуха ниже минус 40° С — температура даяного района.

За температуру наружного воздуха района принимается средняя температура наиболее холодной пятидневки, согласно указаниям главы СНиП по строительной климатологии и геофизике.

- 3. Сталь всех марок должна удовлетворять требованиям на загиб в холодном состоянии согласно нормам соответствующих ГОСТов и технических условий.
- 4. К конструкциям, подвергающимся динамическому воздействию подвижных нагрузок, относятся конструкции, подлежащие расчету на выносливость.

  5. В описаниях I—IX групп приведен примерный перечепь конструкций.
- 6. Примерный первчень кранов разных режимов работы приведен в главе СНиП по пагрузкам и воздействиям.
- 7. За толщину, указанную в графе 4, для двугавров и швеллеров принимается толщина стенки.

  8. Прочерк (—) в таблице означает, что гарантия по ударной вязкости при данной температуре или после механического старения не требуется.
- 9. При толщинах проката 4 мм и менее приведенные в таблице марки стади применяются без требований по ударной вязкости.

#### ПРИЛОЖЕНИЕ 2

Таблица 51

#### ФИЗИЧЕСКИЕ ХАРАКТЕРИСТИКИ МАТЕРИАЛОВ. применяемых для стальных конструкции

- 1. Объемный вес принимается равным: для стали и стальных отливок всех марок 7850 кгс/м<sup>3</sup>, для отливок из чугуна 7200 кгс/м<sup>8</sup>.
- 2. Коэффициент линейного расширения принимается равным 0,000012 град-1.
- 3. Модули упругости для материалов стальных конструкций надлежит принимать по табл. 51.
- 4. Коэффициент поперечной деформации (Пуассона) принимается равным 0.3.

	Модуль в	кгс/си³
Матерналы	упругости Е	сдвига <i>G</i>
Прокатная сталь и отливки из углеродистой стали	2 100 000	810 000
Отливки от серого чугуна марок:  Сч 28-48, Сч 24-44, Сч 21-40 и Сч 18-36	1 000 000 850 000	<u>-</u>

Мончин упочести Е материалов стальных конструкций

МАТЕРИАЛЫ	для	MEX	<b>КАНИЗИРОВАННОЙ</b>
И	РУЧН	OP	СВАРКИ

ПРИЛОЖЕНИЕ 3

1. Материалы для механизированной сварки под флюсом и в углекислом газе, а также для ручной дуговой сварки приведены в табл. 52. Выбор материалов для механизированных способов сварки необходимо пронаводить с учетом марки свариваемой стали.

Првмечание. Величины модуля упругости даны для канатов, предварительно вытянутых усилием не менее 30—40% разрывного усилия для каната в целом.

2. При соответствующем технико-экономическом обосновании для сварки конструкций могут использоваться новые прогрессивные сварочные материалы (проволоки, флюсы, защитные газы). При этом механические свойства металла шва, выполненного с их применением, должиы быть на уровие свойств, обеспечиваемых примененнем соответствующих материалов для ручной дуговой и механизированной сварки под флюсом и в углекислом газе, приведенных в табл. 52.

3. Для расчетных угловых швов допускается применять сварочные материалы, предназначенные для стали более высокого класса в сравнении со сталью

данной конструкции.

Таблица 52 Материалы, рекомендуемые для механизированиой и ручной сварки

1	1		1		Cı	зарочные материалы								
Группа кояструк- ций (по	Класс	Расчетная	Температура при сварке в °C		од флюсом	Сварка в углекис- лом газе (по ГОСТ 8050—64*)	Ручная ;	цуговая сварка						
ций (по табл. 50)	СТАЛИ	стали температура		марки фио- сов** (по ГОСТ 9087—69)	марки сварочной проволо- ки по (ГОСТ 2246—70)	марки сварочной проволоке (по ГОСТ 2246—70)	тип элект- родов (по ГОСТ 9467—60)	марки элект- родов						
	C38/23		"	AH-348-A AH-348-AM	Св-08АА Св-08А		342A 346A							
	C44/29 C46/33			OCII-45M	Св-08ГА Св-10Г2	Cs-06F2C	946A 950A							
I, II	C52/40			AH-22 AH-348-A AH-348-AM	Cs-08XM Cs-18XMA			Все марки данного типа						
	C60/45		i>0	AH-22 AH-17M	Cs-08XH2M Cs-08XM Cs-18XMA	CB-10XF2GMA								
	C38/23	t > 40		AH-348-A AH-348-AM OCU-45	Св-09	CB-08TC	342 346							
	C44/29 C46/83			ОСЦ-45М ФЦ-9	Св-08ГА Св-10Г2		346 350							
111. 1V, Vi	C52/40			AH-22 AH-348-A AH-348-AM	Св-10ГА	Ca-08F2C	360A	Все марки данного ти- па <sup>***</sup>						
	C80/45		1	1	f.	ſ	ſ	ſ	í	AH-22 AH-17M AH-348-A	CB-08XM CB-18XMA	Ca-10XF2CMA		
	C70/60			AH-22 AH-17M	Св-08ХН2ГМЮ Св-08ХМФА	Св-08ХН2Г2СМЮ Св-08ХГСМФА	370							

i i					Сва	рочные материалы				
Группа конструк» ций (по	Класс стали	Расчеткая температура	Температура	Сварка по	од флюсом	Сварка в углекис- лом газе (по ГОСТ 8050—64*)	Ручная д	уговая сварка		
цан (116 табл. 50)	стали	температура в °С	при сварке в Ф С	марки флю- сов** (по ГОСТ 9087—69)	марки свароч- ной проволо- ки (по ГОСТ 2246—70)	марки сварочной проволоки (по ГОСТ 2246—70)	тип элект- родов (по ГОСТ 9467—60)	марки элект- родов		
i, 11, 111	C38/23 C44/29 C46/33 C52/40	-40> t >-65						УОНИ 13/55;		
IV	C44/29 C46/33	_50> t >_65	t >50	f >50	f >-50	AH-22	Св-10НМА			УОНИ 13/45; СМ-11****; УП-2/55****
	C52/40	-40> i >-65								
14	C44/29 C46/33	-40> t >-50!								
v	C44/29 C46/33	-40>1>65	<i>t</i> >0	<i>t</i> >0	АН-348-А АН-348-АМ ОСЦ-45 ОСЦ-45М	Св-08АА**** Св-08А**** Св-08ГА			УОНИ 13/55; УОНИ 13/45; СМ-11; УП-2/55	
IV, VI	C38/23	-40>1>65								
īV	C44/29 C46/33	-40> i >-50				Св-08Г2С	950A 942A	<u>, —                                     </u>		
v	C44/29 C46/33	-40>1>-65	0> t >−35		CB-10HMA CB-08XHM CB-08FA					
IV, VI	C38/23	-40> t >-65		AH-348-A AH-348-AM				УОНИ 13/55.		
rv	C44/29 C46/33	-40> t >50		OCU-45 OCU-45M AH-60		į		УОНИ 13/45; СМ-11*****		
v	C44/29 C46/83	-40> 1 >-65	-35> <i>t</i> >-50		CB-10HMA CB-06XHM					
IV, VI	C38/23	-40> 1 >-65				-				

<sup>\*\*</sup> Флюс марки АН-17М поставляется по ЧМТУ 1—1017—70.
\*\*\* Для конструкций III группы электроды марок ОММ-5 и СМ-5 не применяются.
\*\*\*\* Применять только для сварки при положительной температуре,
\*\*\*\*\* Применять только для сварки конструкций VI группы.

Примечания: 1. Для конструкций всех групп при расчетных температурах минус 40°С и выше для сварки при отрица-тельных температурах выбор материалов производится в соответствии с главой СНиП по изготовлению и монтажу стальных кон-струкций.
2. В конструкциях IV, V, VI групп при расчетных температурах ниже минус 40°С для стыковых соединений применяются электроды только марки УОНИ 13/55.

#### ПРИЛОЖЕНИЕ 4

### КОЭФФИЦИЕНТЫ Ф ПРОДОЛЬНОГО ИЗГИБА ЦЕНТРАЛЬНО СЖАТЫХ ЭЛЕМЕНТОВ

Таблица 53

#TTOB	Коз	рфициен	тыфдл	я элемеі	ITOB ES	стали кл	ассов
Гибкость элементов Л———	C38/23	C44/29	C46/33	C52/40	C60/45	C70/60	C85/75
0 10 20 30 40 50 60 70 80 90 100 110 120 130 140 150 160 170 180 190 200 210 220	1,000 0,988 0,970 0,943 0,905 0,867 0,820 0,7715 0,655 0,582 0,512 0,448 0,305 0,270 0,240 0,216 0,175 0,160 0,146	1,000 0,987 0,968 0,935 0,892 0,730 0,660 0,592 0,515 0,440 0,383 0,285 0,250 0,175 0,175 0,158 0,142 0,130 0,119	1,000 0,986 0,965 0,932 0,888 0,837 0,780 0,710 0,637 0,482 0,413 0,350 0,256 0,226 0,256 0,260 0,178 0,160 0,160 0,142 0,129 0,118 0,108	1,000 0,985 0,962 0,927 0,878 0,823 0,764 0,682 0,604 0,523 0,437 0,315 0,264 0,126 0,136 0,156 0,139 0,126 0,120 0,102 0,093	1,000 0,984 0,956 0,916 0,866 0,810 0,740 0,650 0,570 0,482 0,325 0,232 0,198 0,173 0,153 0,137 0,122 0,108 0,098 0,089 0,081	1,000 0,983 0,953 0,909 0,852 0,790 0,610 0,518 0,412 0,336 0,273 0,230 0,196 0,168 0,168 0,168 0,160 0,102 0,092 0,082 0,068	1,000 0,982 0,950 0,903 0,838 0,760 0,660 0,558 0,432 0,343 0,288 0,230 0,192 0,162 0,123 0,123 0,123 0,126 0,066 0,086 0,077 0,069 0,063 0,057
ı	начения — расч — раді	етная д	ілина э	лемент	3: a;		

#### ПРИЛОЖЕНИЕ 5

## **УКАЗАНИЯ** ПО ОПРЕДЕЛЕНИЮ КОЭФФИЦИЕНТА Ф6 ДЛЯ ПРОВЕРКИ ОБЩЕЙ УСТОЙЧИВОСТИ БАЛОК

1. Для балок двояко симметричного двугаврового сечения коэффициент ф определяется по формуле

$$\varphi_6 = \psi \frac{J_y}{J_x} \left(\frac{h}{l}\right)^2 10^3. \tag{86}$$

Значения ф принимаются по табл. 54 и 55 в функции от параметра α, определяемого по формулам:

а) для прокатных двугавров

$$\alpha = 1.54 \frac{J_{K}}{J_{y'}} \left(\frac{l}{h}\right)^{2}, \tag{87}$$

где  $J_{\kappa}$  — момент инерции при кручении ( $J_{\kappa}$  для прокатных двугавров по ГОСТ 8239—56\* приведены в табл. 56);

 1 — расчетная длина балки согласно п. 4.17; б) для сварных двугавров, составленных из трех листов, а также для клепаных двутавровых балок

$$\alpha = 8 \left(\frac{l\delta_1}{bh}\right)^2 \left(1 + \frac{d\delta^3}{b\delta_1^3}\right). \tag{88}$$

где:

для сварных балок

б— толщина стенки балки;

 b и δ<sub>1</sub> — ширина и толщина пояса балки; h — подная высота сечения балки;

для клепаных балок

 б — сумма толщин стенки и вертикальных полок угол-KOB:

61 — сумма толщин пояса и горизонтальной полки уголĸa:

 высота вертикальной полки уголка плюс толщина пакета горизонтальных листов.

Если  $\phi_6 > 0.85$ , то вместо  $\phi_6$  в формулу (20) подставляется величина ф, определяемая по табл. 57.

Таблица 54

Коэффициенты ф для двугавровых балок из стали класса С38/23

		Коэффици	енты ф	
Для			Вике	При наличии не менее двух
ченкой в	arpyske,	распред вагрузке	фоннова сокноп	промежуточ- ных закрепле- ний верхнего пояса, деля- щих пролет
к верхне- му поясу	к нвжие- му поясу	к верхне- му поясу	к няжне- ку поясу	на развые части, независи- мо от места приложения нагрузки
1,73 1,77 1,85 2,21 2,63 3,37 4,03 4,59 5,60 6,52 7,31 8,95 9,40 10,59 13,21	5,00 5,03 5,11 5,47 5,91 6,65 7,31 7,32 8,88 9,89 10,59 11,67 13,83 16,36 18,55	1,57 1,60 1,67 1,98 2,35 2,99 3,55 4,90 5,65 6,93 8,05 9,04 11,21 13,04	3,81 3,85 3,90 4,23 4,59 5,24 5,29 6,25 7,13 7,92 8,58 9,21 10,29 11,30 13,48 15,29	2,17 2,20 2,27 2,56 2,90 3,50 4,00 4,45 5,23 5,91 6,51 7,07 8,07 8,95 10,86 12,48 13,91
	При соптемной и прядол 1,73 1,77 1,85 2,63 3,37 4,03 4,59 5,60 6,52 7,31 8,05 9,40 10,59 13,21	Для балок бев про При сосредото- ченкой нагрузке, прядоженной  - обород	Для балок без закрепля в пролеге  При сосредото- ченкой нагрузке, приложенной же  Тори об распроднагрузке  Тори об ра	При сосредото- ченной нагрузке, праложенной  ——————————————————————————————————

Примечания: 1. При одном закреплении в середине пролета различаются следующие случаи: сосредоточенная сила в середине пролета независимо от уровня приложения  $\phi = 1,75 \, \phi^*$ ;

сосредоточенная сила в четверти пролега или равномерно распределенкая нагрузка, приложенные к верхнему поясу,  $\psi = 1,14 \ \psi^*;$  сосредоточенная сила в четверти пролета, при-

ложенная к инжиему поясу ф=1,6 ф\*

равномерно распределенная по нижнему поясу нагрузка, ф=1,3 ф\*. Здесь под ф\* понимается значение ф по первой графе справа.

2. Для сталей классов С44/29—С85/75 значения таблицы должны быть умножены на отношение 2,1/R, где R в  $\tau/cm^2$ .

Таблица 55

Коэффициенты ф для консолей двутаврового сечения из стали класса C38/23 при сосредоточениой нагрузке, приложенной к концу консоли

_	Қоэффициенты ф при	нагрузке, приложенной
α	к верхнему поясу	к нижнему поясу
4	1,57	6,52
6	1,98	6,70
. 8	2,32	6,87
10	1 2,67	7,03
12	3,00	7,19
14	3,30	7,35
16	3,60	7,50
24	4,5	8,1
32	5,3	8,6
40	5,9	9,0
100	9,0	12,0

Примечания: 1. Для сталей классов С44/29-С85/75 значения  $\Psi$  должны быть умножены на отношение 2.1/R, где R в  $\tau$ /см².

2. При равномерно распределенной нагрузке по

верхнему поясу консоли  $\psi = 1.42 \sqrt{\alpha}$ .

Таблица 56 Моменты инерции при кручении  $J_{\kappa}$  прокатных двутавров (no FOCT 8239-56\*)

№ двутавра	J <sub>K</sub> n cm⁴	№ двутавра	J <sup>K</sup> B CH <sub>ℓ</sub>
10 12 14 16 18 18a 20 20a 22 22a 22a 24 24 27 27a	2,28 2,88 3,59 4,46 5,60 6,54 6,92 7,94 8,60 9,77 11,1 12,8 13,6 16,7	30 30a 33 36 40 45 50 55 60 65 70 70a 70s	17,4 20,3 23,8 31,4 40,6 54,7 75,4 100 135 180 244 352 534

2. Для балок с одной осью симистрии двугаврового сечения (рис. 20) коэффициенты  $\phi_{\delta}$  ( $\phi_{\delta n}$ ) определяются по следующим формулам:

а) при сжатии более развитого пояса

$$\varphi_0 = \frac{2J_y h h_1 \psi}{J_x l^2} 10^3;$$
(89)

б) при сжатии менее развитого пояса

$$\varphi_{\text{GH}} = \frac{2J_y h h_2 \psi}{J_x l^2} 10^{\frac{3}{2}} \tag{90}$$

Таблица 57

Коэффициенты ф и ф н

Фб (Фбн)	Φ΄ (Φ΄ (Φ΄ )
0,85	0,850
0,90	0,871
0,95	0,890
1,00	0,904
1,05	0,916
1,10	0,927
1,15	0,938
1,20	0,948
1,25	0,957
1,30	0,964
1,35	0,973
1,40	0,980
1,45	0,987
1,50	0,994
1,55	1,000

Здесь  $h_{\rm f}$  — расстояние от оси большего пояса до центра тяжести сечения;

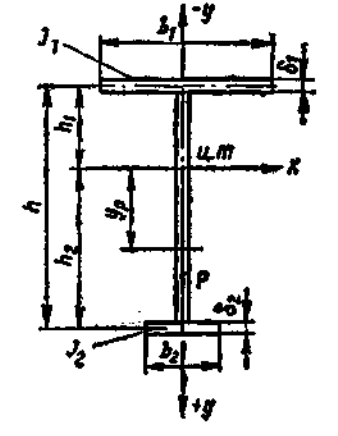
 $h_2$  — расстояние от оси меньшего пояса до центра тяжести сечения;

l -продет балки.

Рис. 20. Схема моносимметричного сечения балки

Коэффициент ф вычисляется по формуле

$$\phi = A \left[ B + \sqrt{B^2 + C} \right]. \tag{91}$$



Коэффициенты A, B и C приведены в табл. 58 и 59. При чистом изгибе, вызывающем:

сжатие большего пояса

$$B = \frac{\beta_y}{h} .$$

растяжение большего пояса

$$B=-\frac{\beta_g}{h}.$$

Таблица 58

## Коэффициенты A и C

<u>"</u>	**	Коэффициент С при	сечении
Нагрузки	Коэффи циент А	даутавровом п≪0,9	тавровом n == 1
Сила, сосредото- ченная в середи- не пролета	3,265	0,33 n (1-n)× × (9,87 + $\alpha_1$ )	0,0826a
Равномерно рас- пределенная на- грузка	2,247	$\begin{array}{c c} 0,481 & n & (1-n) \times \\ \times & (9,87 + \alpha_1) \end{array}$	0,1202α
Чистый изгиб	4,315	$0.101 \ n \ (1 - n) \times \\ \times (9.87 + \alpha_1)$	0,0253a

Таблица 59

#### Коэффициент В

		Коэффициент.	В при нагрузке
Схема сеч и место пр жения наг	ило-	силой, сосредото. ченной в Середине пролета	равномерно распре- деленной
T	_	$n+0.734 \frac{\beta_y}{h}$	$n+1,145 \frac{\beta_y}{h}$
<u> </u>	†	$n-1+0,734\frac{\beta_y}{h}$	$n-1+1,145\frac{\beta_y}{h}$
<u> </u>	-	$1-n-0.734\frac{\beta_y}{h}$	$1-n-1,145\frac{\beta_y}{h}$
<u></u>	-	$-n-0,734\frac{\beta_y}{h}$	$-n-1,145\frac{\beta_y}{h}$

Обозначения, принятые в п. 2 приложения 5:

 $J_1, \ J_2$  — моменты инерции соответственно большего и меньшего поясов относительно оси симметрин сечения;

 $n = \frac{J_1}{J_2 + J_3}$  — коэффициент асимметрии сечения;

$$\beta_y = \left[0, 43 - 0,065 \left(\frac{b_1}{h}\right)^2\right] (2n - 1)h;$$

$$J_{K} = \frac{1,54J_{K}(1)^2}{1,54J_{K}(1)^2}$$

$$\alpha_i = \frac{J_{\rm R}}{2,6J_{\omega}} l^2; \quad \alpha = \frac{1,54J_{\rm R}}{J_y} \left(\frac{l}{h}\right)^2;$$

 $J_{\omega} = \frac{J_1 J_2}{J_y} h^2$ — секториальный момент инерции сечения;

$$J_y = J_1 + J_2;$$

 $J_{\kappa} = \frac{\gamma_0}{3} \; \Sigma \, b_i \delta_i^3 \; -$ момент инерции при кручении;

 $b_l$  и  $\delta_l$  — ширина и толщина элементарных прямоугольников, образующих сечение;

 $\gamma_0 = 1.3$  — для двутаврового сечения (двояко симметричного);

 $\gamma_0 = 1.2$  — для таврового сечения;

ү₀=1,25- для двутаврового сечения с одной осью симметрии;

h— высота сечения.

Примечания: 1. При п>0,9 значения ф определяются интерполяцией между значеннями ф, вычисденными при n = 0.9 и n = 1.

- 2. Коэффициенты ф для таврового сечения при сосредоточенной силе или равномерно распределенной нагрузке и  $\alpha < 40$  следует умножить на 0,840,004  $\alpha$ .
- 3. Формула (91) для вычисления коэффициентов ф составлена для балок из стали класса С38/23. При других классах стали значения ф должны быть умножены на отношение 2,1/R.
- 4. В балках с менее развитым сжатым поясом при n>0.7 величина  $\psi$  уменьшается умножением на коэффициент 1,025-0,015 l/b,  $5\leqslant l/b\leqslant 25$ . Значения l/b>25в таких балках не допускаются.
- 5. Если соответствующее меньшей полке  $\phi_{6\pi} > 0.85$ , то в формулу (20) вместо ф подставляются ф или ф к: при сжатии большего пояса

$$\varphi_{6}' = \varphi_{6} \left[ n \frac{\varphi_{6}'}{\varphi_{6}} + (1-n) \frac{\varphi_{6H}'}{\varphi_{6H}} \right];$$
 (92)

при сжатии меньшего пояса

$$\phi_{6R} = \phi_{6R} \left[ 1 - 2\sqrt{1 - n} \left( 1 - \frac{\phi_{6R}}{\phi_{6R}} \right) \right], \quad (93)$$

Значения  $\phi_{6}$  и  $\phi_{6 H}$  вычисляются по табл. 57.

3. Проверка устойчивости балок швеллерного сечения производится так же, как балок двугаврового сечения; при этом а вычисляется по формуле (88) и найденные значения фь умножаются на 0,5 - при приложении нагрузки в главной плоскости, параллельной стенке, и на 0,7 - при приложении нагрузки в плоскости стенки.

ПРИЛОЖЕНИЕ 6

## ТАБЛИЦЫ ДЛЯ РАСЧЕТА ВНЕЦЕНТРЕННО-СЖАТЫХ ЭЛЕМЕНТОВ

Таблица 60

Коэффициенты ф<sup>в в</sup> для проверки устойчивости внецентренно сжатых (сжато-изогнутых) сплошностенчатых стержией в плоскости действия момента, совпадающей с плоскостью симметрии

5 E	E		Коэффициенты $\phi^{3H}$ при приведенном экспентрицитете $m_1$																								
Venobers frecers	- 1	0, t	0,25	0,5	0,75	1,0	1,25	1,5	1,75	2.0	2,5	3,0	3,5	4,0	4,5	5,0	5,5	6,0	6,5	7,0	8,0	9,0	10	12	14	17	20
0,5 1,5 2,0 2,0 3,0 3,0 4,5 5,5 6,5 7,0 9,0 11,0 12,0 13,0		967 925 875 813 742 567 567 565 418 354 362 223 194 152 1122 1122 1120 063 063 063 063	922 854 742 597 522 447 3326 230 244 116 117 097 061 049	716 553 587 520 455 455 455 455 455 455 455 225 196 173 112 123 112 123 125 125 125 125 125 125 125 125 125 125	210 185 163 133 107 091 076 063 053 048	722 553 553 553 480 425 533 288 253 224 198 103 005 005 005 005 005 005 005 005 005 0	669 600 548 496 442 395 350 272 239 212 190 152 110 085 073 060 061 047	620 553 553 410 365 328 227 225 225 225 225 225 225 225 225 225	577 520 470 425 333 342 270 242 215 192 172 155 141 115 086 080 069 059 060 048	588 4499 557 5857 5856 5856 5856 5856 5856 5856	469 427 3388 352 232 228 228 189 170 153 140 063 075 049 044	417 382 347 345 223 223 223 221 255 145 132 120 685 685 685 685 685 685 685 685 685 685	370 341 312 286 262 238 216 197 178 162 148 137 124 115 085 082 070 061 043	337 307 283 283 217 198 181 165 150 138 128 103 109 103 060 060 060 062 047 042	307 263 262 240 220 220 220 220 163 163 113 120 1102 102 105 057 055 055 045	280 259 222 204 187 158 146 135 159 083 083 083 085 085 085 085 085 085 085 085 085 085	260 2443 2453 1562 1575 1675 1675 1675 1675 1675 1675 1675	237 225 207 207 207 207 207 207 207 207 207 207	222352368 1545112 1555	210 196 182 170 158 147 113 111 104 096 083 074 057 050 050 050 050 050 050	183 176 163 153 153 144 135 118 1103 096 089 083 078 068 069 069 069 069 069 069 069 069 069	164 157 138 139 123 115 101 101 095 080 074 065 063 052 064 064 063 063 064 063 063	150 142 124 125 118 112 106 098 093 084 079 074 070 062 055 019 040 037 036	125 1222 114 107 101 096 087 073 069 066 063 056 056 051 045 041 038 033	11059994408966678867878676767676767676767676767676	090 088 079 075 068 065 065 052 050 057 052 050 045 045 042 033 034 032 032	072 068 067 063 063 056 056 054 052 059 048 038 038 038 039 032 039 032 032 032
Пр 2.3	Примечания: 1. Значения коэффициентов ф <sup>ви</sup> в таблице увеличены в 1000 раз. 2. Значения ф <sup>ви</sup> принимаются не выше значений ф, приведенных в табл. 53.																										

Таблица 61 Коэффициенты ф<sup>ви</sup> для проверки устойчивости внецентренно сжатых (сжато-изогнутых) сквозных стержией в плоскости действия момента, совпадающей с плоскостью симметрии

1,5 830 727 600 517 454 407 367 336 311 271 240 211 190 178 163 149 137 128 119 103 095 083 077 065 053 053 074 062 052 053 055 055 055 055 055 055 055 055 055	HAR YC.		Қоэффициенты ф <sup>ВВ</sup> при относительном эксцентрицитете <i>т</i>																								
3,0 657 545 445 399 356 324 296 275 255 222 201 82 165 153 138 139 121 116 110 100 091 091 081 071 061 061 061 061 061 083 076 067 067 067 067 067 067 067 067 067	Приведе: ловная п Хпр. Тлр.	0,1	0,25	0,5	0,75	1,0	1,25	1,5	1,75	2,0	2,5	8,0	3,5	4,0	4.5	5,0	5,5	6,0	6,5	7,0	8,0	9,0	10	12	14	17	20
han tankan kantan k	0.50 1.50 2.250 3.45 5.55 6.55 9.00 10,00 12,00 14,0	1. 1	673 608 545 480 422 365 315 273	640 6556 557 455 402 357 245 216 190	571 553 517 479 439 355 317 281 250 223 178 160 130 107 053 053 053 047		444 431 407 381 354 324 294 264 267 212 192 174 157 141 098 084 071 060 051 046	_	156 142 130 108 090 076 066 057 049		191 176 161 147 135 124	250 243 240 228 215 201 187 173 160 149 137 126 117 108 091 057 053 052 052 047 042	211 202 192 182 170 160 149 138 128 119	190 183 175 165 155 145 136 127 118 109 102 095 082 072 062 049 045	182 180 178 170 162 153 143 133 124 117 110 103 097 099 069 069 069 053 044 041	165 163 156 148 130 124 116 108 102 097 092 087 077 058 057 058 057	149 143 136 130 123 118 110 104 098	142 137 132 127 121 115 110 105 100 096	116 110 105 100 095 091	110 106 100 096 092 087 077 074 965 056 050 044 040		074	068		66666666666666666666666666666666666666	558855683556	046 045 045 044 043 042 041 040 039

Таблица 62

	Коэффициенты η влияния формы сечения для вычис	ления приво	еденного эксцентри	цитета m <sub>1</sub> = ηm	
				Значения η при:	
Тип сечения	Схема сечения	$\frac{F_1}{F_2}$	0≪	λ' ≤ 5	$\overline{\lambda} > 5$
			0,1 < m < 5	5 < m < 20	0,1 < m <0,2
1			1,0	1,0	1,0
2		-	0,8 + 0,04λ	1,0	1,0
3			1,3 — 0,06λ	1,2 — 0,04\bar{\lambda}	1.0
4			1,75 — 0,13λ	1,5 — 0,08λ	1,1
5		≪1,0	1,8 — 0,12λ	1,6 — 0,08λ	1,2
	25 a25 a25 a25 a25 a25 a25 a25 a25 a25 a	>1,0	$2,0-0,1^{\overline{\lambda}}$	1,9 — 0,08Ã	1,5
		0,5	1,5+0,04m	1,7	1,7
6		1,0	1,75 + 0,15m	2,5	2,5
	\$ \$ \$ \$ \$ \$ \$ \$ \$ \$ \$ \$ \$ \$ \$ \$ \$ \$ \$	1,5	2,25+0,25m	3,5	3,5

 $\Pi$  р и м е ч а н и е. Для сечений типа 6 относительные эксцентрицитеты  $m_1$  не должны превышать значений, приведенных в третьей строке сверху следующей таблицы:

	$F_1/F_2 \leqslant 1$			$F_1/F_2 \leqslant 1,5$	
$1 \leqslant \bar{\lambda} \leqslant 2,5$	$2,5 < \bar{\lambda} \leqslant 5$	$\overline{\lambda} > 5$	$1 \leqslant \overline{\lambda} \leqslant 3,5$	$3.5 < \widehat{\lambda} \leqslant 6.5$	$\overline{\lambda} > 6,5$
$m_1 \ll 2\bar{\lambda}$	$m_1 \leqslant 6\vec{\lambda} - 10$	$0,1\leqslant m_1\leqslant 20$	$m_1 \leqslant 1.6\bar{\lambda} - 0.6$	$m_1 \leqslant 5\bar{\lambda} - 12,5$	$0,1 \leqslant m_1 \leqslant 2,0$

Таблица 63

расчетные	эксцентрицитеты	$m_1$	RKK	стержией	¢	щариирно	опертыми	концами
-----------	-----------------	-------	-----	----------	---	----------	----------	---------

Ma	$\bar{\lambda} = \lambda \sqrt{\frac{R}{E}}$	Pac	четиые :	жсцентр	ицитеты	m <sub>t</sub> npu	относит	ельном	эксцентг	нцитете	m', pas	ROM
No.	E	0,1	0,5	1,0	1,5	2,0	3,0	4,0	5,0	7,0	10,0	20,0
# M.	1 23 4 5 6 7	0,10 0,10 0,10 0,10 0,10 0,10	0,30 0,17 0,10 0,10 0,10 0,10	0,68 0,39 0,22 0,10 0,10 0,10 0,10	1,12 0,68 0,36 0,18 0,10 0,10	1,60 1,03 0,55 0,30 0,15 0,10 0,10	2,62 1,80 1,17 0,57 0,23 0,15 0,10	3,55 2,75 1,95 1,03 0,48 0,18 0,10	4,55 3,72 2,77 1,78 0,95 0,40 0,10	6,50 5,65 4,60 3,35 2,18 1,25 0,50	9,40 8,60 7,40 5,90 4,40 3,00 1,70	19,40 18,50 17,20 15,40 13,40 11,40 9,50
M1 + M2	1 2 3 4 5 6 7	0,10 0,10 0,10 0,10 0,10 0,10 0,10	0,31 0,22 0,17 0,14 0,10 0,16 0,22	0,68 0,48 0,38 0,32 0,26 0,28 0,32	1,12 0,73 0,58 0,49 0,41 0,40 0,42	1,60 1,05 0,80 0,66 0,57 0,52 0,55	2,62 1,88 1,33 1,05 0,95 0,95 0,95	3,55 2,75 2,00 1,52 1,38 1,25 1,10	4,55 3,72 2,77 2,22 1,80 1,60 1,35	6,50 5,65 4,60 3,50 2,95 2,50 2,20	9,40 8,60 7,40 5,90 4,70 4,00 3,50	19,40 18,50 17,20 15,40 13,40 11,50 10,80
n,	1 2 3 4 5 6	0,10 0,10 0,10 0,10 0,10 0,10	0,32 0,28 0,27 0,26 0,25 0,28 0,32	0,70 0,60 0,55 0,52 0,52 0,52 0,52	1,12 0,90 0,84 0,78 0,78 0,78	1,60 1,28 1,15 1,10 1,10 1,10	2,62 1,96 1,75 1,60 1,55 1,55	3,55 2,75 2,43 2,20 2,10 2,00 1,90	4,55 3,72 3,17 2,83 2,78 2,70 2,60	6,50 5,65 4,80 4,00 3,85 3,85 3,75	9,40 8,60 7,40 6,30 5,90 5,60 5,50	19,40 18,50 17,20 15,40 14,50 13,80 13,00
N; + M;	1 2 3 4 5 6 7	0,10 0,10 0,10 0,10 0,10 0,10	0,40 0,40 0,40 0,40 0,40 0,40 0,40	0,80 0,78 0,77 0,75 0,75 0,75 0,75	1,23 1,20 1,17 1,13 1,10 1,10	1,68 1,60 1,55 1,55 1,55 1,50 1,40	2,62 2,30 2,30 2,30 2,30 2,30 2,30 2,30	3,55 3,15 3,10 3,05 3,00 3,00 3,00	4,55 4,10 3,90 3,80 3,80 3,80 3,80 3,80	6,50 5,85 5,55 5,30 5,30 5,30 5,30	9,40 8,60 8,15 7,60 7,60 7,60 7,60	19,40 18,50 18,00 17,50 17,00 16,50 16,00
$m' = \eta e \frac{F}{W} = \eta \frac{M_1}{N}.$	<u>F</u> , где M <sub>1</sub>	— боль	<b>ший</b> из	конце	вых мо	ментов						

## ПРИЛОЖЕНИЕ 7

## указания по определению коэффициентов расчетной длины колонн

## Одноступенчатые колонны

Коэффициенты расчетной длины µ1 для нижнего участка одноступенчатой колонны принимаются в завинимости от отношения погонных жесткостей участков

$$\frac{l_2}{l_1} = \frac{J_2 l_1}{J_1 l_2}$$
 и величины  $c_1 = \frac{l_2}{l_1}$   $\sqrt{\frac{J_1}{J_2 l}}$  :

лри верхнем конце, свободном от всяких закреплений, — по табл. 64;

при верхнем конце, закрепленном от поворота и при возможности свободного его смещения, — по табл. 65. Здесь (рис. 21):  $I_1$ ,  $I_2$  и  $I_1$ ,  $I_2$  — моменты инерции сечений и длины соответственно нижнего и верхнего участков колониы;

$$t = \frac{P_1 + P_2}{P_2}.$$

При неподвижном верхнем конце, шарнирно опертом или закрепленном от поворота, значения коэффи-

циента µ1 для нижнего участка колонны определяются по формуле

$$\mu_1 = \sqrt{\frac{\mu_{12}^2 + \mu_{11}^2 \ (t-1)}{t}} \,. \tag{94}$$

где µ19 — коэффициент расчетной длины нижнего уча-

стка при  $P_1 = 0$ ;  $\mu_{11} -$ коэффициент расчетной длины нижнего участка при  $P_2 = 0$ .

Значения коэффициентов  $\mu_{12}$  и  $\mu_{11}$  принимаются: при шарнирно опертом верхнем конце — по табл. 66; при неподвижном верхнем конце, закрепленном от

поворота — по табл. 67. Коэффициенты расчетной длины µ2 для верхиего участка колонны во всех случаях определяются по фор-

муле

$$\mu_2 = \frac{\mu_I}{c_I} \leqslant 3. \tag{95}$$

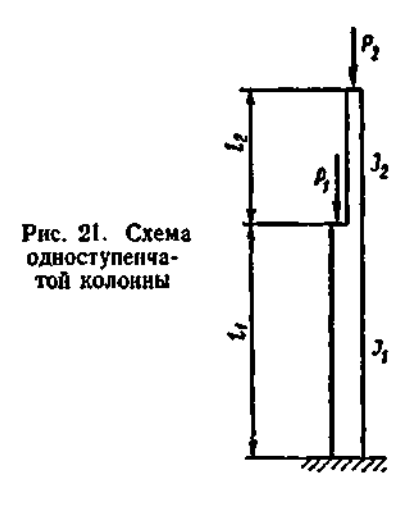


Таблица 64 Коэффициенты расчетной длины  $\mu_1$  для одноступенчатых колони с верхним свободным концом

Расчетная	_									Коэф	фицке	яты д	при	$l_2/l_1$							
CXENA	C <sub>1</sub>	0	0,1	0,2	0,3	0,4	0,5	0,6	0,7	0,8	0,9	1,0	1,2	1.4	1,6	1,8	2,0	2,5	5,0	10,0	20,0
14,	0 0,2 0,4	2,0 2,0 2,0	2,0 2,01 2,04	2,0 2,02 2,08	2,0 2,03 2,11	2,0 2,04 2,13	2,0 2,05 2,18	2,0 2,06 2,21	2.0 2.06 2.25	2,0 2,07 2,28	2.0 2.08 2.32	2.09 2.09 2.35	2.0 2.10 2.42	2,0 2,12 2,48	2,0 2,14 2,54	2,0 2,15 2,60	2.0 2.17 2.66	2,0 2,21 2,80	2.0 2.40	2,0 2,76	2,0 3,38
*	0,6 0,8 1,0	2,0 2,0 2,0	2,11 2,25 2,50	2,20 2,42 2,73	2,28 2,58 2,94	2,36 2,70 3,13	2,44 2,83 3,29	2,52 2,96 3,44	2,59 3,07 3,59	2,66 3,17 3,74	2,73 3,27 3,87	2,80 3,36 4,00	2,93 3,55	3,05 3,74	3,17	3,28 	3,39 	111	:	Ξ	=
	1,5 2,0	3,0 4,0	3,43 4,44	3,77 4,90	4,07 5,29	4,35 5,67	4,61 6,03	4,86 —	5,08 —	=	=	1	=	=	_	-	-	=	=	] =	] =
p p.	2,5 3,0	5,0 6,0	5,55 6,65	6,08 7,25	6,56 7,82	7,00	<del>-</del>	=	-	11	-	í <b>i</b>	-	<u>-</u>	_	<u>-</u>	-	11	=	=	] =

Таблица 65 Коэффициенты расчетной дявны µ1 для одноступенчатых колоки. закрепленных только от поворота

Расчетная										Коэф	рициен	ты µ,	при (	/1,	_						
схема	C <sub>1</sub>	0	0,1	0,2	0,3	0,4	0,5	0,6	0,7	0.8	0,9	1,0	1,2	1,4	1,6	1,8	2,0	2,5	5,0	10,0	20,0
13	0,2	2.0 2.0	1,92 1,93	1,86 1,87	1,80 1,82	1,76 1,76	1,70 1,71	1,67 1,68	1,64 1,64	1.60 1.62	1,57 1,59	1,55 1,56	1,50 1,52	1,46 1,48	1,43 1,45	1,40 1,41	1,37 1,39	1,82	1,18 1,20	1,10 1,11	1,05
- Ţρ,	0,4	2,0 2,0	1,94 1,95	1,88 1,91	1,83 1,86	1,77 1,83	1,75 1,79	1,72 1,77	1,69 1,76	1,66 1,72	1,62 1,71	1,61 1.69	1,57 1,66	1,53 1,63	1,50 1,61	1.48 1.59	1.45	1,40	_	=	=
	0,8 1,0	2,0 2,0	1,97 2,00	1,94 2,00	1,92 2,00	1,90 2,00	1,88 2,00	1,87 2,00	1,86 2,00	1,85 2,00	1,83 2,00	1,82 2,00	1,80	1,79	=	_ :	-	11	=	=	=
27.00	1,5 2,0	2,0 2,0	.2,12 .2,45	2,25 2,66	2,33 2,81	2,38 2,91	2,43 3,00	2,48	2.52	-	11	-	=	1.1	=	=	_		=	=	=
β, • <b>#</b> ,	2,5 3,0	2,5 3,0	2,94 3,43	3,17 3,70	3,34 3,93	3,50 4,12	=	<u>-</u>	=	=	1	1.1	_	_ !	= !	-		-	=	_	=
		<u> </u>	<u></u>				<u> </u>					<u> </u>									

. Таблица 66 Козффициенты расчетной длины  $\mu_{12}$  и  $\mu_{11}$  для колони с неподвижным шарнирно опертым верхням концом

Расчетная							F	ідиффео	еяты ры	, к µ1, 1	ipit <i>l₂/l</i> ₁		<del></del>	<del></del>	<del></del>	-
cxema	J <sub>2</sub> /J <sub>1</sub>	0,1	0,2	0,3	0,4	0,5	0,6	0,7	0,8	0,9	1.0	1,2	1,4	1,6	1,8	2,0
							Коэф	рициен	гы µ13		_					
" LE	0,04 0,06	1,02 0,91		2,25 1,93	2;59 2,26	2,85 2,57	3,08 2,74	3,24 2,90	3,42 3,05	3,70 3,24	4,00 3,45	4,55 3,88	5,25 4,43	5,80 4,90	6,55 5,43	7,20 5,94
2 1/2	0,08	0,86 0,83	1,31 1,21	1,73 1,57	2,05 1,95	2,31 2,14	2,49 2, <b>33</b>	2,68 2,46	2,85 2,60	3,00 2,76	3,14 2,91	3,53 3,28	3,93 3,61	4,37 4,03	4,85 4,43	5,28 4,85
J,	0,2	0,79 0,78	0,98 0,90	1,23 1,09	1.46 1,27	1,67 1,44	1.85 1,60	2,02 1,74	2,15 1,86	2,28 1,98	2,40 2,11	2,67 2,35	2,88 2,51	3,11 2,76	3,42 2,99	3,71 3,25
	0,4 0,5		0,88 0,86	1,02 0,99	1,17 1,10	$\substack{1.32\\1.22}$	1,45 1,35	1,58 1,47	1,69 1,57	1,81 1,67	1,92 1,76	2,14 1,96	2,31 2,15	2,51 2,34	2,68 2,50	$^{2,88}_{2,76}$
p <sub>2</sub> t	1,0	0,78	0,85	0,92	0,99	1,06	1,13	1,20	1,27	1,34	1,41	1,54	1,68	1,82	1,97	2,10
				_			Коэфф	Бициент	ա Աու							
	0,04 0,06 0,08	0,67	0.67	0,83 0,81 0,75	1,07	1,43 1,27 1,19	1,55 1,41 1,32	1,65 1,51 1,43	1,70 1,60 1,51	1,75 1,64 1,58	1,78 1,70 1,63	1,84 1,78 1,72	1,87 1,82 1,77	1,88 1,84 1,81	1,90 1,87 1,82	1,92 1,88 1,84
3 3,	0.1 0.2 0,3	0,67	0.67	0,73 0,69 0,67	0.751	1,11 0,89 0,80	1,25 1,02 0,90	1,36 1,12 0,99	1,45 1,21 1,68	1,52 1,29 1,15	1,57 1,36 1,22	1,66 1,46 1,33	1,72 1,54 1,41	1,77 1,60 1,48	1,80 1,65 1,54	1,69 1,69 1,59
P <sub>i</sub>	0,4 0,5 1,0	0.67	0,67	0,67	0,69	0,73	0,84 0,81 0,74	0,92 0,87 0,78	1,00 0,94 0,82	1,07 1,01 0,87	1,13 1,07 0,91	1,24 1,17 0,99	1,33 1,26 1,07	1,40 1,33 1,13	1,47 1,39 1,19	1,51 1,44 1,24

Таблица 67 Коэффициенты расчетной длины  $\mu_{12}$  и  $\mu_{11}$  для колони с неподвижным верхиям концом, закрепленным от поворота

Расчетная	l	<u> </u>		•			1	(оэффии	иенты р	արար	при <i>l<sub>2</sub>/l</i> ,					
схема	$J_1/J_1$	0,1	0,2	0,3	0,4	0,5	0,6	0,7	0,8	0,9	1,0	1,2	1,4	1,6	1,8	2,0
							Коэф4	лициент	, <del>м h13</del>							
3, 3,	0,04 0,06 0,08 0,1 0,2	0,78 0,70 0,68 0,67 0,64 0,62	0,86 0,79 0,76 0,70	1,53 1,23 1,05 1,00 0,79 0,74	1,73 1,47 1,31 1,20 0,93 0,85	1,73 1,54 1,42 1,07	2,21 1,93 1,74 1,61 1,23 1,06	2,38 2,08 1,91 1,78 1,41	2,54 2,23 2,05 1,92	2,65 2,38 2,20 2,04 1,60	2,85 2,49 2,31 2,20 1,72	3,24 2,81 2,55 2,40 1,92 1,67	3,70 3,17 2,80 2,60 2,11 1,82	4,20 3,50 3,11 2,86 2,28	4,76 3,92 3,45 3,18 2,45 2,12	5,23 4,30 3,73 3,41 2,64 2,20
3 J. P.	0,3 0,4 0,5 1.0	0,62 0,60 0,59 0,55	0,66 0,65	0,71	0,78	0,87 0,82 0,75	0,99 0,93 0,80	1,18 1,07 0,99 0,85	1,28 1,16 1,08 0,90	1,39 1,26 1,17 0,95	1,48 1,34 1,23 1,00	1,50 1,39 1,10	1,65 1,53 1,20	1,96 1,79 1,66 1,30	1,94 1,79 1,40	2,08 1,92 1,50
	0.04	امودا	A 60	n 75	0,94	•		1,37	f		1 64	1.72	1,78	1,81	1.85	1.89
3 1,	0,06 0,08 0,1	0,65 0,64 0,64	0,67 0,66	0,68	0.76 0.68 0.65	0,94 0,84	1,24 1,10 1,00 0,92	1,25 1,12 1,05	1,47 1,35 1,25 1,15	I,55 1,44 1,34 1,25	1,64 1,50 1,41 1,33	1,61 1,53 1,45	1,69 1,62 1,55	1,74 1,68 1,62	1,79 1,75 1,68	1,82 1,79 1,71
3 J <sub>1</sub>	0,2 0,3 0,4 0,5 1,0	0,62 0,60 0,58 0,57 0,55	0,63 0,63 0,61	0,63	0,64	0,66 0,66 0,64 0,64 0,62	0.73 0,67 0,66 0,65 0,63	0,83 0,73 0,68 0,68 0,65	0,92 0,81 0,75 0,72 0,67	1,01 0,89 0,82 0,77 0,70	1,09 0;94 0,88 0,83 0,73	1,23 1,09 1,01 0,94 0,80	1,33 1,20 1,10 1,04 0,88	1,4! 1,28 1,19 1,12 0,93	1,48 1,35 1,26 1,19 1,01	1,54 1,41 1,32 1,25 1,05

## Двухступенчатые колонны

Коэффициенты расчетной дляны µ, для нижнего участка двухступенчатой колонны при различных условиях закрепления (кроме упругой заделки) верхнего конца определяются по формуле

$$\mu_1 = \sqrt{\frac{t_1 \bar{\mu}_1^2 + (t_2 \bar{\mu}_2^2 + \bar{\mu}_3^2)(t + \bar{\mu}_2)^2 \frac{J_1}{J_{\text{cp}}'}}{1 + t_1 + t_3}}.$$
 (96)

Здесь (см. рис. 22):

ляемые по указаниям табл. 68, как для одноступенчатых колонн по схемам рис. 23;  $t_1 = \frac{P_1}{P_3} \text{ н } t_2 = \frac{P_2}{P_3} : n_2 = \frac{t_4}{t_1};$ 

µ<sub>1</sub>, µ<sub>2</sub> и µ<sub>3</sub> — коэффициенты, опреде-

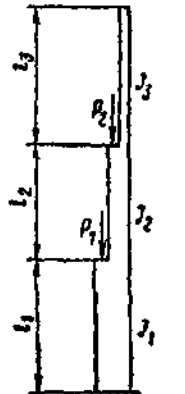


Рис. 22. Схема ввуступенчатой колонны

Р<sub>3</sub> Р<sub>3</sub> І<sub>4</sub> І<sub>4</sub>

Р<sub>1</sub>, Р<sub>2</sub> и Р<sub>3</sub> продольные силы, приложенные соответственно в местах образования ступеней и к верху колони;

І ср — среднее значение момента инерции для участков І<sub>1</sub> и І<sub>2</sub>, определяемое по формуле

 $J'_{cp} = \frac{J_1 l_1 + J_2 l_2}{l_1 + l_2}; (97)$ 

 $J_{\rm cp}^*$ — среднее значение момента инердии для участков  $l_2$  и  $l_3$ , определяемое по формуле

$$J_{cp}' = \frac{J_2 l_2 + J_3 l_3}{l_1 + l_3}; (98)$$

## Таблица 68 Коэффициенты расчетной длины $\widetilde{\mu}_i$ , $\widetilde{\mu}_2$ , $\widetilde{\mu}^3$ в формуле (96)

		, (,	
	31	вачения кож	ффициентов
	<u></u>	<u>μ</u> ,	μ <sub>a</sub>
Условия закреп- ления верхиего	· · · · · · · · · · · · · · · · · · ·	При загр	ужении
ковца колонны	по рис. 23, а	по рис. 23, <i>б</i>	no prc. 23, s
Свободный конец	$\vec{\mu}_{k} = 2$	μ <sub>s</sub> == 2	$\widetilde{\mu}_{0} = \mu_{0} \text{ по табл. 64}$ $Uph$ $C_{1} = \frac{I_{0}}{I_{1} + I_{2}} \sqrt{\frac{J_{\text{cp}}^{\prime}}{J_{0}}}$
Конец, закреп- ленный только от поворота	µ <sub>1</sub> ≈ µ <sub>2</sub> по табл. 65 при С₁=0	іі. ≃ д. no табл. 65 при С. ≃0	$\widetilde{\mu}_{s} = \mu_{1} \text{ no Table. 65}$ $R_{1} = \frac{l_{3}}{l_{1} + l_{2}} \sqrt{\frac{J_{cp}^{'}}{J_{a}}}$
Неподъежный шаркирно опер- тый конец	й₁ ≈ µ₁ по тебл. 66	µ <sub>2</sub> ≈ µ <sub>11</sub> по габл. 66	μ <sub>s</sub> = μ <sub>ss</sub> no ταб.ε. 66
Неподвижный, закрепленный от поворота, конец	µ <sub>1</sub> ≃ µ <sub>11</sub> по табл. 67	μ <sub>2</sub> = μ <sub>11</sub> πο ταδπ. 67	μ <sub>3</sub> = μ <sub>13</sub> πο τ26π. 67

## Колонны (стойки) многоэтажных свободных рам

Таблица 69 Коэффициенты расчетной длины и стоек многоэтажных свободных рам при числе ярусов 3 и более

_ic_	1					K	идиффес	евтыц	при <i>t<sub>c</sub>/t</i>	p. <sub>B</sub>					
, р.н	0	0,2	0,4	0,6	0,8	1,0	2,0	4,0	6,0	8,0	10,0	15,0	20,0	25,0	30,0
0 0,2 0,4 0,6 0,8 1,0 2,0 4,0 6,0 8,0 10,0 15,0	1,00 1,03 1,06 1,10 1,12 1,15 1,28 1,44 1,55 1,62 1,67 1,75	1,03 1,06 1,10 1,13 1,16 1,19 1,48 1,60 1,66 1,72 1,80	1,06 1,10 1,13 1,16 1,19 1,22 1,35 1,52 1,64	1,10 1,13 1,16 1,19 1,22 1,25 1,38 1,56 1,68	1,12 1,16 1,19 1,22 1,25 1,29 1,41 1,60 1,72 1,79 1,86 1,96	1,15 1,19 1,22 1,25 1,29 1,31 1,44 1,64 1,76 1,84 1,91 2,00	1,28 1,31 1,35 1,38 1,41 1,44 1,58 1,79 1,93 2,03 2,11 2,22	1,44 1,48 1,52 1,56 1,60 1,64 1,79 2,04 2,21 2,33 2,43 2,59	1,55 1,60 1,64 1,68 1,72 1,76 1,93 2,21 2,40 2,56 2,66 2,88	1,62 1,66 1,71 1,76 1,79 1,84 2,03 2,33 2,56 2,71 2,85 3,11	1,67 1,72 1,77 1,82 1,86 1,91 2,11 2,43 2,66 2,85 3,02 3,18	1,75 1,80 1,86 1,96 2,00 2,22 2,59 2,88 3,11 3,28 3,61	1,80 1,86 1,91 1,96 2,01 2,06 2,31 2,71 2,99 3,28 3,50 3,88	1,84 1,89 1,95 2,00 2,05 2,10 2,36 2,78 3,11 3,38 3,61 4,03	1,86 1,91 1,97 2,03 2,09 2,13 2,40 2,83 3,17 3,45 3,70 4,19

Ī	l <sub>e</sub>						ŀ	инффео	кенты р	лри / <sub>е</sub> /	i <sub>р+в</sub>					
	, D'H	0	0,2	0,4	0,6	0,8	1,0	2,0	4,0	6.0	8,0	10,0	15,0	20,0	25,0	30,0
	20,0 25,0 30,0	1,80 1,84 1,86	1,86 1,89 1,91	1,91 1,95 1,97	1,96 2,00 2,03	2,01 2,05 2,09	2,06 2,10 2,13	2,31 2,36 2,40	2,71 2,78 2,83	2,99 3,11 3,17	3,28 3,38 3,45	3,50 3,61 3,70	3,88 4,03 4,19	4,19 4,36 4,55	4,36 4,62 4,84	1,55 4,84 5,07

Обозначения, принятые в табл. 69:

іс — погонная жесткость стойки рассматриваемого яруса;

 $i_{p,n}$  — полусумма погонных жесткостей ригелей, примыкающих к нижнему концу рассматриваемой стойки;  $i_{p,n}$  — то же, примыкающих к верхнему концу стойки.

Примечания: І. При отнощении  $L/b \geqslant 6$  (где L—полная высота рамы и b—ширина рамы) должна быть проверена общая устойчивость рамы в целом как составного стержия, защемленного в основании и свободного вверху.

2. Для стоек двухъярусных рам значения коэффициентов µ, приведенные в табл. 69, умножаются на коэффициент 0.9.

J<sub>1</sub>, J<sub>2</sub>, J<sub>3</sub> в l<sub>1</sub>, l<sub>2</sub>, l<sub>3</sub> — моменты инерции сечений в длины соответственно нижнего, среднего в верхнего участков колониы.

Значения коэффициентов расчетной длины  $\mu_1$  для среднего участка длиной  $I_2$  определяются по формуле

$$\mu_4 = \frac{\mu_1}{c_2} ,$$
(99)

а коэффициентов расчетной длины  $\mu_3$  для верхнего участка длиной  $l_3$  — по формуле

$$\mu_3 = \frac{\mu_1}{c_3} \leqslant 3,$$
(100)

Здесь

$$c_{2} = \frac{l_{2}}{l_{1}} \sqrt{\frac{J_{1} (P_{2} + P_{3})}{J_{2} (P_{1} + P_{2} + P_{3})}};$$

$$c_{3} = \frac{l_{3}}{l_{1}} \sqrt{\frac{J_{1} P_{3}}{J_{3} (P_{1} + P_{2} + P_{3})}}.$$

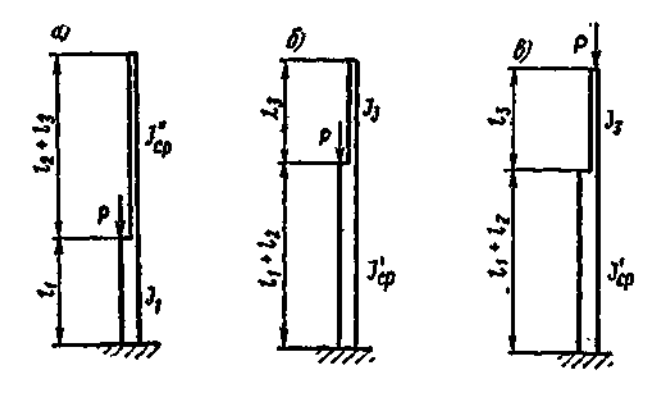


Рис. 23. Схемы одноступенчатых колони к табл. 68

2 — сила Р приложена к нижнему участку колоним; б — то же, к среднему участку; в — то же, к верхнему участку

## ПРИЛОЖЕНИЕ 8

## ГРУППЫ ЭЛЕМЕНТОВ И СОЕДИНЕНИЯ ПРИ РАСЧЕТЕ НА УСТАЛОСТЬ

Таблица 70

M n/:		Характеристика сечення	Группа элемента вли соедиясь ния
1	10	Основной металл с необработанной прокатной поверх- ностью и с прокатными, обрезанными или обработан- ными механическим путем кромками в сечениях вне сварных швов, заклепок и болтов	1
2	100	То же, но с кромками, обрезанными газовой резкой: машинкой ручной	2 4

<del></del>		просоди	ение табл. 70
<b>№</b> π/п	Схема соединения и расположение расчетного сечевия <i>а-а</i>	Характеристика сечения	Группа элемента илн соедине- иля
3	12	Основной металл с необработанной прокатной поверхностью п обработанными механическим путем кром-ками при разной ширине и радиусе перехода:  г = 200 мм	1 4
4		Основной металл в месте перехода к необработанному стыковому шву с усилением, имеющим достаточно плавный переход:  а) при стыковании листов одинаковой толщины и ширины б) при стыковании листов разной ширины или листов разной толщины с плавным переходом	4 5
5		Основной метала в месте перехода к стыковому шву, обработанному в этом месте абразивным кругом или специальной фрезой:  а) при стыковании листов одинаковой толщины и ширины б) при стыковании листов разной толщины или ширины	2 3
6	a)	Основной металл в месте перехода к поперечному (лобовому) угловому шву:  а) при передаче усилия через швы без механической обработки при отношении катетов 1:1,5 (при направлении большего катета вдоль усилия).  то же, при механической обработке перехода от шва к основному металлу.  б) без механической обработки при передаче усилия через основной металл	7 4 6
7		Основной металл в соединеннях с фланцами при плавном переходе шва к основному металлу:  с глубоким проваром присоединения	7 4
8		Основной металл в соединениях с фланговыми швами, работающими на срез от осевой силы, в местах перехода от элемента к концам фланговых швов, независимо от обработки:  а) с двумя фланговыми швами	8

Π	родолжение	табл.	70	,

		Продолж	ение табл. 70
Ne n/n	Схема соединения и расположение расчетного сечения <b>а—а</b>	Характеристика сечения	Группа элемента или соедине- иня
		б) с фланговыми и лобовыми швами в) при передаче усилия через основной металл г) щеки анкеров для крепления стальных канатов	8 8 8
9		Основной металл вблизи днафрагм и ребер, приваренных угловыми швами к растянутым поясам балок и элементам ферм:  без механической обработки швов, но при наличии илавного перехода от швов к металлу — при ручной или полуавтоматической сварке	4 2
10	14 14 14 14 14 14 14 14 14 14 14 14 14 1	Сварные сечения двутаврового, таврового и других ти- пов, сваренные непрерывными продольными швами: автоматической сваркой при действии усилия вдоль оси шва по основному металлу при ручной сварке	2 3
11	21-5 12	Обрыв поясного листа сварной балки при уменьшении толщины (ширины) листа к месту обрыва с уклоном 1:5, без механической обработки поперечного (лобового) шва с соотношением катетов 1:2.,,	7
12		Основной металл в сечениях:  а) у прикреплений высокопрочными болтами  б) по соединительным заклепкам, а также по свободному отверстию	3

		Продолж	ение табл. 70
№ n/n	Слема соединения и расположение расчетного сечения аа	Характеристика сечения	Группа элемента или соедине- ния
12	2) (4	в) по прикреплениям с двусрезными заклепками . г) по прикреплениям с односрезными заклепками .	5 6
		д) по первому ряду заклепок, прикрепляющих фа- сонки к непрерывным (кестыкуемым в данном узле) элементам сплошных балок и решетчатых ферм, а также у обрыва поясного листа изгибаемого эле- мента	4
13		Фасонки прямоугольной формы, привариваемые встык нли втавр к элементам конструкций, без механиче- ской обработки перехода от фасонки к элементу	8
14	10	Фасонки, привариваемые встык или втавр к стенкам и поясам балок, а также к элементам ферм, при плавной криволинейной форме и механической обработке перехода от фасонки к элементу конструкции, при полном проваре на всю толщину фасонки	4
15	ia ia	Фасонки прямоугольной и трапециевидной формы, привариваемые к поясам балок внахлестку с обваркой по контуру нахлестки, без механической обработки зон концентрации напряжений	7
16		Фасонки трапециевидной формы, привариваемые двумя фланговыми и двумя косыми швами (с соотношением катетов 1:1 для фланговых и 1:1,5 для косых швов), при механической обработке швов на концах фасонок	5
17		Основной металя трубы у сварного шва, выполненного на подкладном кольце	4

№ п/л	Схема соединения и расположение расчетного сечения в-в					
18		Основной металл трубы растянутого раскоса при $s=-\delta_n/D_n=1/14$ , где $\delta_n$ и $D_n$ — толщина и наружный днаметр трубы пояса	8			
19		Основной металл трубы растянутого раскоса, когда. $ \gamma_x = \frac{d_{\rm p}}{D_{\rm fl}} = 0.4 \div 0.7, \ \alpha = 45 \div 60^{\circ}, \ \text{то при:} $ $ s \geqslant 1/14 \qquad . $ $ 1/14 > s \geqslant 1/20 \qquad . $ $ 1/20 > s \geqslant 1/35 \qquad . $ где $ s = \text{см. n. 18} $ $ d_{\rm p} \text{ и } D_{\rm fl} = \text{наружные диаметры труб раскосов и пояса} $	6 7 8			
20	См. рис. п. 12, а	Высокопрочные болты	1			
21	См. рнс. п. 12, в См. рис. п. 12, г	Заклепки (при расчете на срез и смятие): двусрезные	4 5			
22		Основной металл винтовых тяг стяжных муфт (форкопфов) из стали марки Ст35 (С38/23) по нарезке:  М 24—М 48	<b>4</b> 6			

#### ПРИЛОЖЕНИЕ 9

## основные буквенные обозначения

ж, у - главные оси сечения;

F — площадь сечения;

J — момент инерции сечения (общее обозначение);

 $J_x$  и  $J_y$  — моменты инериин сечения соответственно относительно осей x и y;

W — момент сопротивления сечения при упругой работе материала (общее обозначение):

 $\lambda_x = \frac{l_x}{r_x}$  и  $\lambda_y = \frac{l_y}{r_y}$  — гибкость стержия в плоскостях, перпендикулярных осям x и y:

 $\bar{x} = \lambda \sqrt{R/E}$  — условная гибкость элемента;  $t_x = t_B - p$ асчетные длины стержия в плоскостях,

перпендикулярных соответственно осны

$$r_{\lambda} = \sqrt{\frac{J_{x}}{F}}$$
;  $r_{y} = \sqrt{\frac{J_{y}}{F}}$  — радиусы инерции

N — продольная сила;
 Q — поперечная сила;

 $M_x$  н  $M_y$  — изгибающие моменты относительно соответственно осей x и y;

 $e = \frac{M}{N}$  — эксцентрицитет приложения силы;

 $m = e \frac{F}{W}$  — относительный эксцентрицитет;

 $m_1 = \eta m$  — приведенный экспентрицитет (с учетом влияния формы сечения);

п — коэффициент влияния формы сечения.

Примечание. F, J и V соответствуют сечениям бругто.  $F_{nx}$ ,  $J_{nx}$ ,  $V_{nx}$  соответствуют сечениям нетто.

## СОДЕРЖАНИЕ

		CTp.
1.	Общие указания	3
2	Материалы для стальных конструкций и соединений	4
3.	Расчетные характеристики материалов и соединений	6 6
4.	Расчет элементов стальных конструкций на осевые силы и изгиб	10 10
	Изгибаемые элементы	12 15 19
5.	Расчетные длины элементов стальных конструкций и предельные гибкости .	91 91
	Расчетные длины	19 20 22
	Колонны (стойки)	23 23 23
6.	Растянутые элементы	23
•	ментов	23 23
	Стенки центрально- и внецентренно-сжатых элементов	28 30
7.	элементов	31
	Расчет на прочность	31 32
8.	Учет усталости металла	34
9.	Расчет соединений стальных конструкций	35 35
	Стыки и прикрепления элементов	35
	Заклепочные и болтовые соединения	36
	Соединения на высокопрочных болтах	37 38
	Поясные соединения в составных балках	38
10.	Указания по проектированию стальных конструкций и их элементов	39 39
	Общие указания	41
	Фермы	42 42
	Связи	43
	Листовые конструкции (оболочки вращения)	43
	Сварные соединения	43 48
ΠF	РИЛОЖЕНИЕ 1. Указания по применению стали для стальных конструкций зданий и сооружений	46
ΠF	РИЛОЖЕНИЕ 2. Физические характеристики материалов; применяемых для стальных конструкций	53
ПЕ	РИЛОЖЕНИЕ 3. Материалы для механизированной и ручной сварки	54
	РИЛОЖЕНИЕ 4. Коэффициенты ф продольного изгиба центрально сжатых элементов	56
ПЕ	РИЛОЖЕНИЕ 5. Указания по определению коэффициента ф6 для проверки общей устойчивости балок	56
ПЕ	РИЛОЖЕНИЕ 6. Таблицы для-расчета внецентренно сжатых элементов	59
П	РИЛОЖЕНИЕ 7. Указания по определению коэффициентов расчетной длины колони	61
ПЕ	РИПОЖЕНИЕ 8. Группы вмементов и соединений при расчете на усталость .	65
ΠF	РИЛОЖЕНИЕ 9. Основные буквенные обозначения	69

# Табян ца соотношений между некоторыми единицами физических величин, подлежащих изъятию, и единицами СИ

	1				
Навменованяе велячны	подлежащая изъятию		СИ		Соотношение единиц
	наименование	обозначение	наименованне	обозначение	
Сила; нагрузка; вес	килограмм-сила тонна-сила грамм-сила	Krc TC TC	нотом	н	1 krc~9,8 H~10 H 1 rc~9,8·10° H~10 kH 1 rc~9,8·10° H~ 1 rc~9,8·10° H~
Линейная нагрузка Поверхностная нагруз- ка	килограмы-сила на метр килограмы-сила на квадратный метр	кгс/м кгс/м²	ньютон на метр ньютон на квадратный метр	H/M <sup>2</sup>	1 кгс/м ~ 10 H/м 1 кгс/м² ~ 10 H/м²
Давление	килограмм-сила на квадратный сантиметр миллиметр водяно- го столба миллиметр ртутно- го столба	кгс/см <sup>2</sup> мм вод. ст. мм рт. ст.	} наскаль	Па	1 кгс/см <sup>2</sup> ~9,8·10 <sup>4</sup> Па~ ~10 <sup>5</sup> Па~0,1 МПа 1 мм вод. ст.~9,8 Па~ ~10 Па 1 мм рт. ст.~133,3 Па
Механическое напряжение Модуль продольной упругости; модуль сдвига; модуль объемного сжатия	килограми-сила на квадратный миллиметр килограмм-сила	Krc/mm² Krc/cm²	наскаль	Па	1 кгс/мм <sup>2</sup> ~9,8-10 <sup>5</sup> Па~ ~10 <sup>7</sup> Па~10 МПа 1 кгс/см <sup>2</sup> ~9,8-10 <sup>4</sup> Па~ ~10 <sup>5</sup> Па~0,1 МПа
Момент силы; момент пары сил	килограмм-си- ла-метр	Krc•M	ньютон-метр	H-M	1 Krc·m~9,8 H·m~ ~10 H·m
Работа (энергия)	килограмм-си- ла-метр	кгс-м	джоуль	Дж	1 кгс-м ~9,8 Дж ~ 10 Дж
Количество теплоты	калория килокалория	кал ккал	джоуль	Дж	1 кал~4,2 Дж 1 ккал~4,2 кДж
Мощность	килограмм-си- ла-метр в секунду лошадиная сила калория в секунду килокалория в час	кгс∙м/с л. с. кал/с ккал/ч	BATT	Вт	1 кгс·м/с~9,8 Вт~ ~10 Вт 1 л. с.~735,5 Вт 1 кал/с~4,2 Вт 1 ккал/ч~1,16 Вт
Удельная теплоемкость	грамм-градус Цельсия	кал/(г·°С) ккал/(кг·°С)	джоуль на ки- лограми- кельвив	Дж/(кг-К)	1 кал/(г·°С) ~ ~4,2·10 <sup>3</sup> Дж/(кг·К) 1 ккал/(кг·°С) ~ ~4,2 кДж/(кг·К)
Теплопроводность	калория в секунду сантиметр-гра- дус Цельсяя калория в час на метр-градус Цельсия	кал/(с∙см•°С) ккал/(ч•м•°С)	ватт на метр- кельвин	Вт/(м•К)	l кал/(с•см•°С) ~ ~420 Вт/(к•К) l ккал/(ч•м•°С) ~ ~1,16 Вт/(м•К)
Коэффициент теплооб- мена (теплоотдачи); ко- эффициент теплопере- дачи	калория в секунду	ккал/(ч·м²·°С)	ватт на квад- ратный метр- кельвия	Вт/(м²·К)	I кал/(с·см²·°С) ~ ~42 кВт/(м²·К) I ккал/(ч·м²·°С) ~ ~1,16 кВт/(м²·К)

## Госстрой СССР

Глава СНиП 11-В.5-72 «Стальные конструкция, Нормы проектирования»

Редактор издательства В. В. Петрова Технические редакторы В. М. Роднонова, И. В. Панова Корректоры Л. П. Бирюкова, Е. А. Степанова

Сдано в набор 24/IX 1973 г. Подпасано к печати 28/I 1974 г. Формат 84×108<sup>1</sup>/<sub>14</sub> д. л. Бумага тяпографская № 2 7,56 усл. печ. л. (уч-взд. 7,57 л.) Тяряж 200 000 экз. Изд. № XII-4362 Зак. № 1024. Цена 38 кол.

Стройиздат 103777, Москва, Кузнецкий мост, д. 9

Владимирская типография Союзполнграфпрома при Государственном комитете Совета Министров СССР по делам издательств, полиграфия и книжной торговли Гор. Владимир, ул. Победы, д. 18-6.

## ОПЕЧАТКИ

Страница	Строка	Напечатано	Следует читать
15	Правая колонка, 6-я снизу, формула (24)	$m_x = e_x \frac{F_{y1}}{J_x}$ или $m_y = e_y \frac{F_{x1}}{J_y},$	$m_x = e_x \frac{FY_1}{J_x}$ или $m_y = e_y \frac{FX_1}{J_y}$
47	Между 7-й и 8-й снизу, графы 3—9		109F2C  > 61 > 160   FOCT 5058—65    3,5     3
60	1-я колонка справа, головка табл,	$0,1\leqslant m\leqslant 0,2$	0,1 ≤ m ≤ 20
	1-я снизу	$0,1\leqslant m_1\leqslant 2,0$	0,1 ≤ m <sub>1</sub> ≤ 20
64	Левая колонка, числитель форму- лы (96)	$(1+\overline{n2})^2$	$(1+n_2)^2$

Зак. 1024



#### ГОСУДАРСТВЕННЫЙ КОМПТЕТ СОВЕТА МИНИСТРОВ СССР. по делам строительства (Госствой СССР)

5 CT Nº 142, 19762

## ПОСТАНОВЛЕНИЕ

ет 12 сентября т 75 г

ນ 150

Об наменении и дополнении пунктов 5.2 и 10.34, табини 2 и 50 глади СНиП И-В.3-72 "Стельние конструкции. Норим проситирования

Государственный комитет Совета Министров СССР по делам строительства ПОСТАНОВЛЯЕТ:

Утвердить и ввести в действие с 1 ливаря 1976 г. изисиения и дополнения пунктов 5.2 и 10.34, таблиц 2 и 50 главы СНий П-В.3-72 "Стальные конструкции. Норим проектирования". утвержденной постановлением Росстрои СССР от 29 денабря 1972г. В 222, согласно приложению.

> цатель Госстроя СССР И.Новиков

#### пинанкопод и винанамки

пунктов 5.2 и 10.34, таслиц 2 к 5 главн СНиП "Стальные конструкции. Нормы проектирования", утверпденной постановлением Госстроя СССР от 29 декабря 1972 г. № 222

- 1. Последний абзац пункта 5.2 изложить в следующей редакции: "Радиусы инерции сечений сжатых элементов из одиночных угол-ков при этом принимаются: при  $\ell_{o} = \ell$  минимальний радиус инерции; при  $\ell_{o} = 0.7\ell_{1}$ ,  $\ell_{o} = \ell_{4}$  и  $\ell_{o} = 1.4\ell_{1}$  радиус инерции относительно оси сечения уголка, парадлельной плоскости фермы."
- 2. В подпункте "б" пункта 10.34 исключить слово: "однопро-
  - 3. Последном фразу примечания 2 таблици 2 исключить.
  - 4. Таблицу SO изложить в следующей редакции:

Приложение I УКАЗАНИЯ ПО ПРИМЕНЕНИЮ СТАПИ ДЛЯ СТАЛЬНЫХ КОНСТРУКЦИЙ ЗДАНИЙ И СООРУБЕНИЙ Теолица 50

В С Расчетная Гомпература	Класо стали	Марка стали	Толгина листо- вого, сортово- го и фасонного проката в мм	POST MAN TY Ha HOOTEBRY	Примечания	
	[-[ [s] [ ]	3 2		5		
Группа І. Сварние конструкции, работающие в особо тяжелых условиях и подвергаю- смеся непосредственному воздействию динамических или выбращионных нагрузок (балки ра- бочих площадок гладных здаший мартеновских и конверторных цехов, элементы конструкций бункерных и разгрузочных эстакац, непосредственно поспринимающие нагрузку от подвил- инх составов; подкрановые балки; фасоний стропильных и подстропильных ферм и т.п.)						
	G38/23	POT3PHO5 ZOT30H5 MIGG	От 5 до 30 " 5 " 25 " 26 " 40	POCT 390-71# POCT 380-71# POCT 6713-53	Ударная вязкость при -20°C и после мех.старения > 3,5 кгс.м/см²	
t≥ -ino	C44/29	Galsc-13	От IO до 25 " 21 " 60	FOIT 14637-69 <sup>8</sup> FOIT 19281(2)-73	Ударная вязкость при -40°С и до- оде мех.старения ≥ 3 кгс.м/см	
	C45/33	09F2C-12 10F2CIE-12 10F2CIE-12 15KGIE-12 15KGIE-12	От 4 до 20 " 4 до 20 " 12 " 10 !! 12 " 32 !! 4 " 32	FOOT 19281(2)-73 FOOT 19281(2)-73 FOOT 19281(2)-73 FOOT 19281(2)-73 FOOT 19282-73	Применяется только дли фасснок ферм.	

	[			5					
t≥ -40	C52/40	IOF2CI-I2 IOXCHI-I2 IOXCHI-I2 IOXCHI-I2 IOXCHI-I2 IOF2CI-I2	OT IO AO 40 " 4 " 15 " 4 " 40 " 4 " 50 " 4 " 32	FOCT 19282-73 FOCT 19281-73 FOCT 19282-73 FOCT 19282-73 FOCT 19282-73	Сталь термоупрочненная				
	C44/29	09F2C-15	От 21 до 60	FOCT 19282-73					
-40>t≥-65	C46/33	, 09F2C-15 09F2C-15	Or 4 до II	FOCT 19281-73 FOCT 19282-73					
	C52/40	IOF2CI-I5 TOXCHI-I5 TOXCHI-I5 I4F2AG-I5 I5F2AGRIC-I5	OT IO AO 40 " 4 " III " 4 " 40 " 4 " 50 " 4 " 32	FOST 19282-73 FOST 19281-73 FOST 19282-73 FOST 19282-73 FOST 19282-73	Стадь термоупрочнениея				
	Группа П. Сварине конструкции, находящиеся под непосредствениям воздейст- вием динамических или вибрационных нагрузок, кроме перечисленных в группе Г. (пролетные строения наклоным мостов доменных печей, пролетные строения и опоры транспортерных галерей и т.п.)								
t≥ -40	C38/23	BCT3Rc6 BCT3FRc5 BCT3cu5 O9F2C-I2	OT 5 AO IO "II "30 "II "25 "6I "I60	POT 380-71# POT 380-71# POT 380-71# POT 19281(2)-73					
19 -40	G44/29	ECTITIC	От 10 до 25	rcct 14637-69*	Vgaphan baskoctp ubn -40°C - n noche mex.ctapenus ≥ 3 krc.u/om²				

	[	3	4		
	C46/33	14 <b>F2-12</b> 10F2CI-12 10F2CIJ-12 15XCHQ-12 10XHQII-12	От 4 до 32 " 4 " 11 " 12 " 40 " 4 " 32 " 4 " 9	FOCT 19281(2)-73 FOCT 19281(2)-73 FOCT 19281(2)-73 FOCT 19281(2)-73 FOCT 19281(2)-73	
t>-40	C52/40	101.501-15 10XGHI-15 10XGHI-15 141.579-15 12.546Huc-15	OT IO 20 40 " 4 " 15 " 4 " 40 " 4 " 50 " 4 " 32	FOCT 19282-73 FOCT 19281-73 FOCT 19282-73 FOCT 19282-73 FOCT 19282-73 FOCT 19282-73	Сталь термоупрочиенная
	<b>6</b> 60/45	19LSC0-13 19LSVQH0-15	От 4 до 50 " 4 " 32 " IO " 32	FOOT 19282-73 FOOT 19282-73	Ao OI.OI.1977 noctabatetos no <u>UMTY 1-741-69</u> CTARL TEDMO/INDOUNCHHAS. AO OI.OI.1977 noctabasetos no TY 14-1-64-71
	C38/23	09720-15	От 61 до 160	roct 19282-73	
<b>.</b>	C44/29	09F2C-15	От 21 до 60	FOCT 19282-73	
-40>t≥ -65	C46/33	09120-15 09120-15 09120-15 1012011-15 1510111-15 1510111-15	OT 4 NO II " 4 " 20 " 4 " II " I2 " 60 " 4 " II " 4 " 32	FOJT 19281-73 FOJT 19282-73 FOJT 19281(2)-73 FOJT 19282-73 FOJT 19281-73 FOJT 19282-73	

ī	<u>5</u>		[	5	6
-40>t≥-65	C52/40	100201-15 1000H1-15 1000H1-15 147249-15 150244410-15	OT IO AO 40 " 4 " II " 4 " 40 " 4 " 50 " 4 " 32	FOUT 19282-73 FOUT 19281-73 FOUT 19282-73 FOUT 19282-73 FOUT 19282-73	Сталь термоупрочненная
	C50/45	16F2A7-15 16F2A7-15	On 4 20 50	FOCT 19282-73 - FOCT 19282-73	До 01.01.1977 поставляется по 477 1-741-69
	rpynn m	а II . Сварные н юм фасонок, риг	конструкции перек Эли рем, главине	рнтий и покрнтий ( балки перекрытий и	рермы, за исключе- т.п.)
t> -30	C38/23	ВСт3поб	От 5 до 25	FOCT 380-71*	
-30>t≥-40	C38/23 ;	E3r3nc6. E1r3Fnc5 E3r3cn5	От 5 до IO " II " 30 " II " 25	FOCT 380-71* FOCT 380-71* FOCT 380-71*	
	C44/29	EUTITAC	От 10 до 25	FOCT 14637-69 <sup>16</sup>	Ударная вязкость при -/0°С ≥ 3 кгс.ы/см
	C46/33	Т4Г2-6 10лидп-5	От 4 до 32	FOUT 19281(2)-73 FOUT 19281(2)-73	
t>-40		ІОХІДІІ	" 10 " 12	TY 14-1-389-72 TY 14-1-1217-75	Ударная вязкость при -40°C.
	C52/40	107201-6 1472A5-6 1572A31110-6 157200-6 1572C0-6	От 10 до 40 " 4 " 50 " 4 " 32 " 4 " 32 " 4 " 32	FOIT 19282-73 FOCT 19282-73 FOOT 19282-73 FOOT 19281-73 FOOT 19282-73	Сталь термоупрочиенная  До окол 1977с поставляется по ту 14-1-64-71

		[ _ 5		4		
	†.≥ -40	C60/45	1613V0-6 191300-6 1813V0uc-6	От 4 до 50 " 10 " 32 " 4 " 32	POCT 19282-73 FOCT 19282-73 POCT 19282-70	CTAIL TEPMOVIDOUNCHHAAR PART TO THE AND THE PROPERTY OF THE PARTY OF T
		070/60	ISLSCWO	От 10 до Э2	TY 14-1-1308-75	Ударная вязкость при 40°C ≥3,5 кгс.м/ск2
		C44/29	09F2C-I5	От 4 до 10 "21 "60	POCT 19281(2)-79 FOCT 19282-73	
	-40>t> -65	C46/33	09F2U-IS 09F2C-IS 10F2CI-IS 10F2CI-IS 15XCHE-IS 15XCHE-IS	OT 4 AO II 11 AO 12 O 12 A 11 II 13 A 16 O 14 A 17 II 14 A 17 32	FCCT 19281-73 FCCT 19282-73 FCCT 19282-73 FCCT 19281-73 FCCT 19282-73 FCCT 19282-73 FCCT 19282-73	
:		052/40	IOF2CI-I5 IOXGHI-I5 IOXGHI-I5 IAF2AO-I5 ISF2AOIIG-I5	От IO до 40 " 14 " 40 " 4 " 50 " 4 " 32	FOOT 19282-73 FOOT 19281-73 FOOT 19282-73 FOOT 19282-73 FOOT 19282-73	Слят ГермбАй Болнейняг
		C60/45	I6F2A@-I5 I8F2A@mc-I5	От 4 до 50 4 32	FOUT 19282-73 FOUT 19282-73	До 01.01.1977 поставляется по читу 1-741-69

	]								
	Группа IУ. Сварные конструкции, не подвергающиеся непосредственному воз- действию подвижных или вибрационных ногрузок (колонны, стойки, прогоны покрытий, оперные плиты; конструкции, поддерживающие технологическое оборудование и тру- бопроводы, сварные балки, бункера)								
t≥ -30	C38/23	BCT3kn2 BCT3kn2	От 4 до 40 " 41 " 160	FOCT 380-71*	Применяется только для опорных плит				
	G44/29	<b>ЕС</b> тТпо	От 10 до 25	FOCT 14637-69*	Ударнея вязкость при -40°C ≥ 3 кгс.м/см²				
-30>t>-40	C38/23	ВС73поб	От 5 до 25	FOCT 360-71*					
	C#4/29	STTEC .	От 10 до 25	ΓΟCΤ 14637-69*	Ударная вчэкость при -40°C ≥ 3 кго.м/см²				
t- 10	C46/33	1472-6 10X版(1-6 10X版(1	От 4 до 32 " 10 " 12	FORT 19281(2)-73 FORT 19281(2)-73 TY 14-1-389-72 TY 14-1-1217-75	>3 кго.м/см2 Ударная вязкость при -40°С				
t≥-40	C52/40	1012C1-6 1412A0-6 1512A41nc-6 1512C0-6 1512C0-6	Or 10 до 40 " 4 " 50 " 4 " 32 " 4 " 20 " 4 " 32	FOCT 19282-73 FOCT 19282-73 FOCT 19282-73 FOCT 19281-73 FOCT 19282-73	Сталь термоупроунения  Ло UI OI 1577 поставляется  по TV 14-1-64-74				
	C60/45	191204-6 191204-6	OT 4 TO 50 " 4 TO 32	FCCT 19282-73 FCCT 19282-73 FCCT 19282-73	До 01.01.1977 поставляется по ЭМТУ 1-741-69 Сталь термоупрочнениея. До 01.0%.1977 поставляется по ТУ 14-1-64-74				

[ T I ] ]		]	4		
t>-40	C70/60	ISTSCWO	От 10 до 32	TV 14-I-1308-75	Ударная вязкость при -40°C ≥3,5 кгс.м/ом²
	C38/23	0972C-6	От 61 до 160	FOCT 19282-73	Применяется только для опорных плит
	G44/29	E3TTHC C9F2-6 09F23-6 09F23-9 T0F23I-6	OT IO NO 25  " 4 " 32 " 21 " 32 " 33 " 60 " 61 " 160	FOOT 14637-69*  FOOT 19281(2)-73  FOOT 19282-73  FOOT 19282-73	Удерная вязкость при -40°С ≥3 кгс м/см² Применяется только для опоринх плит
-40>t≥ -50	C45/33	09782-6 107201-6 107201-9 10XMI-6	От 4 до 20 " 4 " 20 " 21 " 60 " 1 " 9	POT 19281(2)-73 POT 19281(2)-73 POT 19282-73 POT 19281(2)-73	
	C52/40	IOTRCI-9 IATRAG-9 ISTRAGANC-9	От IO до 40 " 4 " 50 " 4 " 32	FOIT 19282-73 FOIT 19282-73 - FOIT 19282-73	Сталь термоупрочненная
	C60/43	7672A5-9 7872A5nc-9	Or 4 "50 " 4 "32	FOCT 19282-73 - 1 FOCT 19282-73	До 01.01.1977 поставилется по ЧМТУ 1-741-69

		<u></u>		5	6.
	C44/29	09P2C-9	0т 21 до 60	FOCT 19282-73	
-50>t≽-65	C46/33	09F2C-9 09F3C-9 10F3CT-9 15XCH-9 15XCH_9	OT 4 AO II " 4 " 20 " 4 " 11 " 4 " 11 " 4 " 32	FOIT 19281-73 FOIT 19281-73 FOIT 19281-73 FOIT 19282-73 FOIT 19281-73 FOIT 19282-73	
	C52/40	101201-9 101201-9 101201-9 1517100100-9	От IO до 40 " II " 40 " 4 " 50 " 4 " 32	POIT 19282-73 POIT 19282-73 POIT 19282-73 POIT 19282-73	_Слаль термоупрочненияя
	G60/45	I6F2M)-9 I6F2A0nc-9	OT 4 " 50 4 " 32	FOCT 19282-73 FOCT 19282-73	До OI.OI.1977 поставляется по ЧАТУ 1-741-69

Группа У. Конструкции Т. П. Ш. IV групп, монтируемые при ресчетной температуре ниже минус 40°С и эксплуатируемые в отапливаемых помещениях.

районах с.

Все марки сталей, рекомендуемые для конструкций I, II, II, IV група ID расчетной температуры ниже милус 40°C, с заменой требования по ударной вязкости при температуре минус 70°C (категории 9 и 15 по ГОСТ 19261-73 и ГОСТ 19282-73) требованием по ударной вязкости при температуре минус 40°C (категории 6 и 12 по ГОСТ 19281-73 и ГОСТ 19282-73

ī	maxbeoka.	а УІ. Вспомо лестивци, пло	шалки, опоры свеч	гильников и т.п.) и ( 4 расчетного сопроти	б кений (связи, элементы слабонагруженные коист- ивления с применением
+	C38/S3	ЭСт3кп2	От 4 до 30	FOCT 380-71*	<u></u> _
t> -40	C46/33	ожниго Тохнип Тохнип	От 4 до 9 "10 "12	FOIT 19281(2)-73 TV 14-1-389-72 TV 14-1-1217-75	Ударная вязкость при -40°C
-40>t≥ -65	C38/23	ВСтЭсп5 ВСтЭГпс5	От 5 до 25 5 до 30	FOT 380-71* FOT 380-71*	
	C46/33	IOXHIII-IS	От 4 до 9	FOCT 19281(2)-73	
	Групп	а УП. Констр	укции, относящиес	оя к группам I, П и і зными	I, при выполнении их
t> -40	C38/23	ECT31106 ECT317105	От 5 до 25 "10"30	FOCT 380-71* FOCT 380-71*	
	C44/29	ECTTHC 09F2-6	От 10 до 25 " 4 " 32	FCT 14637-69* FCT 19281(2)-73	Ударная вязкость при -40°C
	C46/33	14Г2-6 10ХНДП-6. 10ХНДП	От 4 до 32 " 10 " 12	FCT 19281(2)-73 FCT 19281(2)-73 TY 14-1-389-72 TY 14-1-1217-75	Ударная влакость при -40°С ≥3 кгс,м/см²

t ≥ -40	<u>2</u> C52/40	IOT2CI-6	От 10 до 40	ГОСТ 19282-73 Сталь тормоупрочненная				
.40>t≥ -65	C44/29	BCTTon 09F2-I2 09F2C-I2	От IO до 25 " 4 " 20 " 2I " 32	ГОСТ 14637-69*  ГОСТ 19281(2)-73  ГОСТ 19281(2)-73  ГОСТ 19281(2)-73				
1	C46/33	10L521-15 10L521-15	От 4 до 32 4 до 32	POT 19281(2)-79 POT 19281(2)-73				
	C52/40	IOTZCI-I5	От 10 до 40	ГОСТ 19262-73 Сталь термоупрочнения				
	Группа УШ. Конструкции, относящиеся к группе ІУ, при выполнении их клепаными, а также олементи конструкций, не имершие оварных соединений.							
	C38/23	ЕСТЭКЕЗ	От 4 до 30	POCT 380-71**				
	C44/29	ECTTкп	Or IO до 25	ГОСТ 14637-69 <sup>ж</sup> Ударная вязкость при -40°С ≥3° кгс м/см²				
t≥ -40	C46/33	1472-6 10x4111~6 10x1611	От 4 до 33 " 10 " 12	ГОСТ 1928f(2)-73 РОСТ 1928f(2)-73 ТУ 14-1-389-72 ТУ 14-1-1217-75 >3 кгс м/см²				
0 = 40	C52/40	IOF2CI-6	От IO до 40	ГССТ, 19282-73 Сталь термоупрочиенная				
		aCTTnc	От 10 до 25	ГССТ 14637-69 <sup>ж</sup> Ударная вязкость при -40°С и 2				
-40>t>-65	C44/29	09F2C-12	" 4 " 20 " 21 " 32	готт 19281(2)-73 госте мех.отарения >3 кгс.и/ом2 гост 19281(2)-73				

	2	j	j 4	[ 5	[ 6
-40>t>-55	G46/33	1014[[]-12 1015C1-13 1015C1-13	ОТ 4 ДО 32 " 4 " 32 " 4 " 9	FOTT 19281(2)-73 FOTT 19281(2)-73 FOTT 19281(2)-73	
	C52/40	IOT2CI-I5	0т 10 до 40	POCT 19282-73	Сталь термсупрочненияя

примечения: 1. Указания настоящей таблицы не распространнотоя на стальные конструкция специальных сооружений: магистральные и технологические трубопроводы, резервуары специального назначения (для хранения нефтепродуктов и др.), комужи доменных печей и воздухонагревателей, мачты и бажни сооружений связи, опоры линий электропередачи, опоры контактиих сетей и т.п. Марки стали для этих конструкций устанавливаются соответствующими главами СНий или специальными руководствами.

2. За расчетную температуру принимаетоя:

- а) при возведении конструкций в районах с расчетной температурой наружного воздуха минус 40°С и выше - температура, при которой конструкции эксплуатируются;
- б) при возредении конструкций в районах с расчетной температурой паружного воздуха ниже минус 40°С температура наружного воздуха данного рейона.

Ва температуру наружного воздуха района принямается средняя температура наноолее колодной гятидыевки, согласно указаниям главы СНиП по строительной климатологии и геойизике.

- 3. К конструкциям, подвергающимся динамическому вездействию подвижими иструзок, относятся подкрановые балки, а также конструкции, подлежащие расчету на выносливость.
  - 4. В описаниях I Я групп приводен примерный перечень конструкций.
- 5. Примерный перечень кранов разных режимов работы приведен в главе СНиП по нагрузкам и воздействили.
- 6. За толянну, указанную в графе 4, для двуговров и пвеллеров условно принимается толянна стенки.

- 7. При тожнинах проката менее 5 мм приведенные в таблице марки стали применяются без требований по ударной візкости.
- 8. Top cootbetctbyphem технико-экономическом обосновании стали марок OSFZC, TOPZCI, ISPZCO, TAPZAG, ISPZAG, ISPZAGNC MOTYT SARASHBATECH KAK СТАЛИ ПОВИШЕННОЙ КОРРОЗИОННОЙ СТОЙ-ТОСТИ (С МЕДЪВ); В ЭТОМ СЛУЧАЕ К НАЗВАНИЮ МАРКИ ДОСАБЛЕТСЯ ОУКВА "Д", а именно: OSPZCI, ISPZAGI, ISPZAGI, ISPZAGI, ISPZAGI, COPRACHO FOCT 19281-73 и FOCT 19282-73.
- 9. Для конструкций воех групп, креме групп I и II, при расчетимх температурах  $t > -50^{\circ}$ С допускается применять прокат толщиной 4 мм и мензе из стали ECT3 кп2 по ГССТ 360-77%.
- ТО. Низколегированные стали, поставляемые по ГОСТ 19281-73 и по ГОСТ 19282-73, одного диапазона толщин и одной категории, в таблице указываются одной строчкой, причем оба стандарта в графс "5" обозначены как 19281(2) - 73.
- II. Допускается вместо сталей марок ЮТЭГис и ЮТЭси применять сталь марки ВІВГис соответствующих категорий по ТУ 14-2-173-75.



#### ГОСУДАРСТВЕННЫЙ КОМИТЕТ СОВЕТА МИНИСТРОВ СССР -ПО ДЕЛАМ СТРОИТЕЛЬСТВА BUTN=10.19

(Госстрой СССР)

## ПОСТАНОВЛЕНИЕ

от 23 июня

19 76 z.

A# 94

об изменении и дополнении пунктов 2.9, 3.1, 10.34 и 10.42 главы Сини п-В.3-72 "Стальные конструкции Норми проектирогания"

Росударственный колитет Совета Минястров СССР во делак строительства ПОСТАНОВЛЯЕТ:

- I. Утвердить и ввести в действие с I августа 1976 г. изиснения и дополнения пунктов 2.9, 3.1, 10.34 и 10.42 главы Сний П-В. 3-72 "Стальные конструкции. Нормы проектирования", утвераденной постановлением Росстрои СССР от 29 декабря 1972 г. № 222, согласно приложению.
- 2. Признать утратившим силу с I августа 1976 г. пункт 2 приложения и постановлению Госстрон СССР от 12 сентября 1975 г. № 150 "Об изменении и донолнении пунктов 5.2 и IO.34, таблиц 2 и 50 глави Снип п-В.3-72 "Стальные конструкции. Норми проекти-DOBAHNA".

CCCP Предсе

И. Новиков

#### изменения и дополнения

нунктов 2.9, 3.1, 10.34 и 10.42 глави СНиП П-В.3-72 "Стальные конструкции. Норми проситирования", утвержденной постановлением Госстрол СССР от 29 декабря 1972 г. 822

- I. В абзаце втором подпункта "а" пункта 2.9 после слов: "болти классов 4.6 и 5.6" донолнить "и 6.6" и после слов: "по пп. I" исключить "3".
- 2. В абзаце втором подпункта "б" пункта 2.9 после слов: "с дополнительным испытаниями по ии" исключить " $\Gamma$ ".
- 3. Примечания к подпунктам "а" и "б" пункта 2.9 изложить в оледующей редакции:
- «І. В расчетних соединениях, воспринимающих сдвигающие или растягивающие усилия, конструкций, не рассчитываемих на виносливость, при расчетной температуре иннус  $40^{\circ}$ С и више допускается применять солти классов 4.8 и 5.8 грубой точности по ГОСТ 15589-70<sup>X</sup> или ГОСТ 15591-70<sup>X</sup> и нормальной точности по ГОСТ 7798-70<sup>X</sup> или ГОСТ 7796-70<sup>X</sup>, изготовленные из кинящей и спокойной стали с дополнительными видами испытаний по и.І таси.10 ГССТ 1759-70<sup>X</sup>.
- 2. При заказе болтов плассов 4.8 и 5.8 по ГОСТ  $1759-70^{X}$  необходимо указывать, что не допускается применение автоматных сталей.
- 3. Болти классов 6.6 допускается применять только из стали 35".
- 4. В пункте 2.9,в после слов: "по п.2.9,а" досавить "п примечанию I".
- 5. Таблицу 7 пункта 3.1 дополнить расчетными сопротивлениями  $R^{6}$  болтовых соединений для болтов классов 4.8, 5.8 и 6.6 в следующей редакции:

"Дополнение таблици 7 Расчетние сопротивления  $R^{\sigma}$  болтолых соединений

		Напряденизе состояние и	Услов-	Расчет ния в	ные сопр кгс/см²	-sranto
Болти	! Соединения	группа сое осозна динения . нме		растия болт	ов класс ению и с	pe <b>sy</b> Se
	<u> </u>	<u>i . i</u>		4.8	1 5.8	! 6.6
Повищен-	Одноболтовне и многобол-	Растежение	Ro Ro Ro Cp	1600	1900	2400
итоонрот	TOBES	Срез В	Rop -	I600	1800	2000
		Смятие В	Rom .	·		* <b>→</b>
Нормально точности	й Однобол- товые	Растядение	$\mathbb{R}_{p}^{6}$	Ĭ600	1900	2400
<del>-</del>		Cpes	Po Cp	I600	0081	2000
		Смятме	R <sub>CM</sub>		<del>_</del> .	-
	Многосол- товые	Растязение	. <sub>R</sub> б	1600	1900	2400
		Cbes	P <sub>cp</sub>	I400	1600	1700
		Смятие	R <sub>CM</sub>	-	<u>-</u>	. , <b>-</b>
Грубой точности	Однобел- товие	Растяление	$\mathcal{R}_{0}^{D}$	1600	1900	2400
.10 2300,12		Срез	R <sub>cp</sub>	1600	1800	2000
		Смятие .	R <sub>CM</sub>	-	-	-
	Многобол- товые	Растяление	₽ <mark>o</mark>	1600	1900	2400
		Срез	$R_{CD}^{O}$	1400	<b>I600</b>	1700
		Смятне	Rom"	-		-

- 6. Таблицу 7 пункта 3.1 дополнить примечанияси следущего содержания:
- «З. Расчетное сопротивление смятию соединений элементов конструкций из сталей классов С44/29 и С46/33, указанное для солтов нормальной точности, распространлется на соединения с солтами грусой точности.
- 4. В соединяемых элементах из сталей классов СЗВ/23, С44/29, С46/33 при уменьшении расстояния вдель усилия от края элемента до центра близаймего болта до 1,5 d и расстояния мехду центрами болтов до 2 d расчетное сопротивление смятие должно бить снижено на 15%".
- 7. Абзац третий пункта 10.42 изложить в следуваей редакции:

  "При размещения закленок или болтов в вахматном порядке расстояние между их центрами вдоль усилия следует принимать не менее
  а + 1,5 d, где а расстояние между рядами поперек усилия;
  d по табл.49. При таком размещении сечение элемента  $F_{HT}$  определяется с учетом ослабления его отверстиями, расположенными
  только в одном сечении поперек усилия (не по "зигзату")".
- 8. Таблецу 49 пункта 10.42 дополнить примечанием следукщего содержания:

"В элементах болтових соединений конструкций из сталей классов СЗ8/23, С44/29, С46/33 минимальные расстояния между центрами болтов в любом направлении допускается принимать равными 2,5 d.".

- 9. Поднункт "б" пункта 10.34 изложить в следукцей редакпин:
- по) в зависилости от групин конструкций, метода сварки, класса стали и толщини сваряваемих элементов толщини двухсторонних углових швов  $h_{\rm m}$  следует принимать не менее указанних в п.І, 2 и 3 табл.48 и не более І,28 (наименьшей толщини свариваемих элементов).

Дли прикрепления ребер жесткости и диафраги в конструкциях Ш, IУ и УІ групп допускается применение односторонних угловых швов, толщин которых  $h_{\rm in}$  следует принцилать не менее укаванных в п.4 табл.48 и не более I,2 $\delta$ . При этом не допускается применение односторонных углових швов:

- в конструкциях, эксплуатируемых в среднеагрессивной и сильноагрессивной средах (в соответствии с главой СНиП И-28-73), а также находышихся на открытом воздухе;
- в конструкциях, изготавливаемых из стали классов C52/40-~C85/75;
- в конструкциях, возводимих в районах с расчетными температурами наружного воздуха ниже минус  $40^{\circ}\mathrm{C}$ ;
- в конструкциях, изготавливаемых с применением ручной сварки".
- 10. Таблину 48 пункта 10.34 изложить в следундей редакции:

## "минимальные толийны $\mu^{\mathfrak{m}}$ аслових пвов

13	Группа конструкций по габл. 50 и отдельные	! Метод	Вин соепи-	Класс	Минипи более	ивные то Толсторо	о из <b>с</b> ва	швов (ма ариваема	м) при (м	толипне Этов (1	(m)
:/n	табл. 50 и отдельние элементи конструкций	сварки	нения	стали	-6 <b>-1</b> 0	11-16	I7 <b>-</b> 22	23-32	33–40	41-60	! !6I–8() !
Ī	Конструкции I, H, M, IV и УІ групп	Ручная	Соединение с двухсто-	C38/23- -C46/33	4	6	6	8	10	10	12
			рониим угловими швами	C52/40- -C60/45	6	8	8	10	12	13	<b>-</b> 1.
2	Конструкции I и П групп и краниение фасонок к	Автома- тическая	То же	038/23 <b>-</b> -046/33	4	6	6	8	10	IO	IS
	mgeğ maskon	и полу- автома- тическая		C52/40- -C60/45	6	8	- 8	IO	I2	IS	
3	Конструкции Ш, IV и УІ групп (кроме крепления	To me	То же	C38/23- -C46/33	4	5	6	7	8.	9	IO
	ўасонок к полоам фе <u>р</u> м)			352/40 060/45	5 6	6 8	7 8	8 IO	9 I2	IO ·	-
<del> </del>		<u> </u>	}	}	, °	1 ''	°	1 10	14	14	\ <u>-</u>
4	Крепление ресер жест- кости и длабрагы кон- струпций Ш, IV и VI групп	Тоже	Соедине- ние с од- носторон- ними угло-	C38/23- -C46/33	4	ô	6 .	8	Ю	10	12
			INBSWN		ļ		ļ <u> </u>	1		· .	<u> </u>

- <u>Примечания:</u> I. В консерукциях из стали классов C70/60 и C85/75, а также из стали всех классов кул толщине элементов солее 80 мм минимальные толщины угловых швов при немаются по специальным техническим условиям, утвержненным или согласованным в установленном порядке.
  - 2. В конструкциях из стали класса C38/23-C52/40, возвотимых в районах с расчет-ньми температурами наружного воздуха ниже минус 40°С, минимальные толидины швов принимаются такими же, как для стали класса C60/45°.

## Изменение в главе СНиП П-В.3-72

БСТ ИЗА, 19792. 3.1. пп. 29, 3.1, 10.34 и 10.42 главы СНиП II-В.3-72 «Сталь-

Постановлением Госстроя СССР от 31 октября 1978 г. № 211 утверждено и с 1 января 1979 г. введено в действие приведенное ниже изменение п. 2.9 главы СНиП II-В.3-72 «Стальные конструкции. Нормы проектирования», утвержденной постановлением Госстроя СССР от 29 декабря 1972 г. № 222.

В связи с этим утратят силу с 1 января 1979 г. пп. 1, 2, 3, 4 приложения к постановлению Госстроя СССР от 23 июня 1976 г. № 94 «Об изменении и дополнении

ные конструкции. Нормы проектирования».

Пункт 2.9 изложить в следующей редакции:
«2.9. Болты из углеродистых и легированных сталей по

ГОСТ 1759—70°, грубой точности (ГОСТ 15589—70°, ГОСТ 15591—70°), нормальной точности (ГОСТ 7798—70°, ГОСТ 7796—70°) и повышенной точности (ГОСТ 7805—70°) надлежит применять в соответствии с указаниями табл. 1а»,

12

	_							
Условия прим	енения	Техничесь	кие требоват	ия по ГОСТ	Г 1759—70 *			
Расчетная температура, °С	Условия работы болтов	Класс прочности (табл. !)	Техноло- гический процесс изготов- ления (прил. 1)	Дополни- тельные виды испытаний (табл. 10)	Марки стали болтов	ГОСТ на болты	Допускаемый диаметр, мм	Дополнительные Требования
		В конст	рукциях.	не расс	итывае м	ых на выно	сливость	
		4.6; 5.6	1 или 3	n. 1	по табл. I	15589—70* 15591—70* 7798—70* 7796—70*	<i>d</i> ≪ 48	
t > −.40	Растя- жение или срез	6.6	. 5	n. 1	35	15589—70* 15591—70* 7798—70* 7796—70*	d ≪ 48	
<u> </u>		4.8, 5.8	4	n. 1	по табл. 1	15589—70* 15591—70* 7798—70* 7796—70*	d ≤ 48	
·	, D	4.6; 5.6	1 нли 3	пп. 1 (или 7) и 4	по табл. 1	7798—70* 7796—70* 7805—70*	d ≤ 27	•
•	Растя- жение	4.8; 5.8	4	пп. 1 (или 7)	по табл. 1	7793—70* 7795—70* 7805—70*	d ≤ 24	С последующей термообработкой, обеспечивающе? значение ударной вязьости при $t=-70^{\circ}\text{C}$ не ниж с 3 кгс-м/см <sup>2</sup>
	Растяже- ние или срез	8.8	5 или 6	пп. 1 (или 7) и 3	35X 38X A	7798—70* 7796—70* 7805—70*	d ≤ 48	
-40 > t > -65	Срез	4.6; 5.6	1 или З	n- 1	по табл. 1	7798—70* 7796—70* 7805—70*	d ≤ 30	
	Cpes	4.8; 5.8	4	п. 1	по табл. 1	7798—70* 7796—70* 7805—70*	d ≤ 30	
	Растя- жение	4.8	4	п. 1	14Г2 09Г2 по ГССТ 19281—73	7798—70* 7796—70*	27≪d ≪ 48	С последующей термообработкой, обеспечивающей значение удатной вязмети при $t = -70$ °C не ниже 3 кгс-м/см <sup>2</sup>
•		В конс	прукциях	с, рассчи	пываемыл	• на выносл	ивость	
t ≥ — 40	Растя- жение	4.6; 5.6	1 или 3	пп. 1 (илн 7) и 4	по табл. 1	15589—70* 15591—70* 7798—70* 7796—70*	đ ≼ 48	·
	илн срез	6.6	5	ип. 1 (или 7) и 4	35	15589—70* 15591—70* 7798—70* 7796—70	d ≤ 48	
	Растяже- ние или срез	8.8	5 или 6	пп. 1 (или 7) и 3	35X 28XA	7798—70* 7796—70* 7805—70*	d ≤ 48	
—40> t≥—65	Растя- жение	4.8	4		14Г2 09Г2 по ГОСТ 19281—73	7798—70* 7796—70*	27 ≤ d ≤ 48	С последующей термеобработкой, обеспечивающей значение ударной вязкости при $\ell = -70^{\circ}$ С не ниже 3 кгс·м/см <sup>2</sup>

Примечай и яг. 1. В нерасчетных срединениях допускается применять болты с подголовком грубой и нормальной точности по ГОСТ 15590—70° и ГОСТ 7795—70°, указанные для расчетной температуры минус 40° С и выше без дополнительных видов испытаний, предусморенных вграфе 5.

2. При заказе болтов классов прочности 6.6 и 8.8, в также класса прочности 4.8 из сталей марок 14Г2 и С9Г2 следует указать марки сталит.

3. Болты классов прочности 4.8 и 5.8 с дополнительными требованиями, указанными в графе 9, а также класса прочности 4.8 из сталей марок 14Г2 и 09Г2 следует применять по соглашению между потребителем и изготовителем в соответствии с п. 1.9 ГОСТ 1759—70°,

4. При заказе болтов классов прочности 4.8 и 5.8 необходимо указывать, что применение автоматной стали не допускается.

5. За расчетвую температуру принимается температура в соответствии с указанием п. 2 примечаний к табл. 50 прил. 1.

## Изменение и дополнение главы СНиП II-В.3-72

Постановлением Госстроя СССР от 27 декабря 1978 г. № 250 утверждены и с 1 января 1979 г. введены в действие публикуемые ниже изменения и дополнения главы СНиП II-В.3-72 «Стальные конструкции. Нормы проектирования», утвержденной постановлением Госстроя СССР от 29 декабря 1972 г. № 222.

В связи с этим утратили силу с 1 января 1979 г. пп. 9 и 10 приложения к постановлению Госстроя СССР от 23 июня 1976 г. № 94 «Об изменении и дополнении пунктов 2.9; 3.1; 10.34 и 10.42 главы СНиП 11-В.3-72 «Стальные конструкции. Нормы проектирования».

Пункт 2.7 изложить в следующей редакции:

«2.7. Для сварки стальных конструкций следует применять материалы, приведенные в приложении 3 настоящей глазы»,

Примечание 3 - к пункту 3.1 признать утратившим силу.

Таблицу 5 изложить в следующей редакции:

$$\frac{h_0}{\delta} \leqslant 100 \sqrt{\frac{2.1}{R}}. \tag{32 a}$$

Пункт 6.4 дополнить примечаниями следующего содержания: «Примечание. При проверке устойчивости стенок балок симметричного сечения с односторонними поясными швами в формуле (34) должны быть приняты значения коэффициента  $K_0 = 4.5$ ; в формуле (35) значения то должны быть умножены на коэффициент 0,8.»

Пункт 6.10 дополнить примечанием следующего содержания: «Примечание. В центрально-сжатых элементах из сварных двугавров с односторонними поясными швами наибольшая расчетная высота стенки  $h_{f 0}$ определяется по формуле:

$$\frac{h_0}{\delta} = 40 \sqrt{\frac{2.1}{R}} + 0.2\lambda (R \text{ B f/cm}^2)$$
 (48)

и не должна быть больше 758.»

Таблица 5

Расчетные сопротивления  $R^{CB}$  сварных соединений

Сварные Напряженное состояние		Условное. обозначе÷							
		нже	C38/23	C44129	C46/33	C52J40	C60/45	C70/60	C85/75
Встык	Сжатие <sup>7</sup> Растяжение:	Res	2100	2600	2900	3400	3800	4400	5300
	а) автоматическая сварка; по- луавтоматическая и ручная сварка с физическим контро- лем качества швов	, •	2100 (2600)	2600 (3000)	2900 (3100)	3400	3800	4400	5300
	<ul><li>б) полуавтоматическая и руч- ная сварка</li></ul>	$R_{ m p}^{ m ce}$	1800 1300	2200 1500	2500 1700	2000	2300	2600	3100
С угловыми швами	Срез Срез (условный): а) металла шва	: ^`ср . R <sup>св•</sup> У,ш	1800	2000	2000	2100	2400	2800	3400
•	. 6) металла границы сплавления		1800 :	2000	2100	2300	2700	3000	3600

Пункт 6.3 дополнить примечанием следующего, содержания: «Примечание. В балках с односторонними поясными швами проверки устойчивости стенок не требуется, если при отсутствии местного напряжения

Пункт 9.3 изложить в следующей редакции: «9.3. Расчет сварных соединений с угловыми швачи, воспринимающих продольные и поперечные силы, на срез (условный) производится по двум сечениям

<sup>\*</sup> Значения Ry,ш установлены по временному сопротивлению металла шва растяжению.

Примечания: 1. В скобках указаны расчетные сопротивления растяжению сварных соединений встык, эксплуатация которых возможна и после достижения металлом предела текучести.

2. Для элементов из стали разных классов расчетное сопротивление сварного соединения встык принямается равным расчетному сопротивлению соединения встык менсе прочной стали.

<sup>.</sup> Расчетные сопротивления сварных соединений встых установлены для швов, выполненных двухсторовней сваркой или

односторонней с подваркой корня шва.
4. При применении в соединяемых элементах конструкций проката более толстого, чем указано в прил. 1, расчетные

сопротивления сварных соединений встых устанавливаются в соответствии с расчетными сопротивлениями основного металла (примеч. 3 к табл. 2).

5. Для конструкций, возводимых в районая с расчетными температурами наружного воздуха ниже минус 40°С, значения расчетных сопротивлений срезу (условному): металла углового шва  $\left(R_{y,m}^{\text{CB}}\right)$  для стали класса C38/23 и металла границы сплав дения  $\binom{c_B}{r_{y,c}}$  для всех классов стали должны быть умножены на коэффициент 0.85».

(рис. 18а): по металлу шва -- формула (74) и по металлу границы сплавления --- формула (74а)

$$h_{m_1} \geqslant \frac{N}{R_{\mathbf{y},\mathbf{m}}^{c_B}, \beta \cdot l_{\mathbf{m}}}; \tag{74}$$

$$h_{\rm III.} \gg \frac{N}{R_{\rm v.c.}^{\rm c.p.} \cdot \beta' \cdot l_{\rm III}}.$$
 (74a)

 $\cdots$ где  $h_{m1}$  и  $h_{m2}$  — толщина углового шва, принимаемая равной катету (//ш) вписанного равнобедренного треугольника (рис. 19);

> $\beta$  и  $\beta' \leftarrow$  коэффициенты, принимаемые по табл. 42а в зависимости от условий сварки, которые должны быть оговорены в проекте:

 $l_{
m m}$  — расчетная длина шва, равная его полной длине за вычетом длины, равной 2hm; .

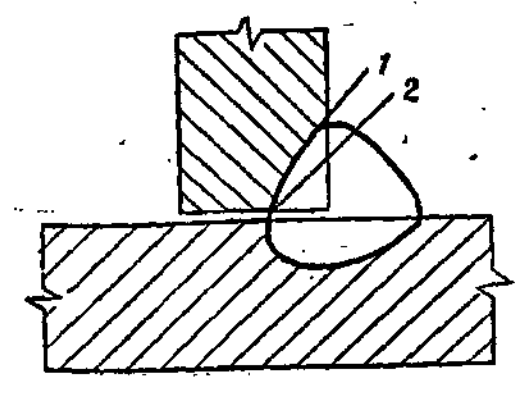


Рис. 18а. Схема расчетных сечений сварного соединения с угловым швом 1 -- сечение по металлу шва, 2— сечение по металлу границы ллу границы Сплаваения

Таблица 42а Значения коэффициентов В и В' в зависимости от условий сварки

	•				•		
	p upo-		enta	ния коэс при чис Гроходов			
Вид сварки	Днаметр волоки, м	Козффициент	1	2 4 3	60- ace 3		
Автоматическая	35	β	1,1	0,9	0.7		
ABIUMAIINTEAN	, u — ,	β′	1,15	1,05	1		
Полуавтомати-	1.4-2	β	0,9	0,8	0,7		
матическая	111-2	β′	1,05	i	1		

Примечания, 1. Число проходов при сварке углового шва устанавливается в зависичести от вида сварки, положения шва и его толщины в соответствии с табл, 526.

2. Указанные в табл. 42а значения коэффициентов соответствуют сварке под флюсом и в углекислом газе проволокой силошного сечения при технологии сварки, в которой не используются специальные меры, направленные на повышение производительности наплавки, сопровождаемые снижением глубины проплавления.

3. При ручной сварке, полуавтоматической сварке проволокой сплошного сечения днаметром менее 1,4 мм и порошковой проволокой, при применении специальных мер, направленых из повышение производительности наплавки,

направленных на повышение производительности наплавки, указанных в п. 2 настоящих примечаний, а также для конструкций из стали классов С70/60 и С65/75 при любом указанных в п. числе проходов значения коэффициентов принимаются  $\beta = 0.7$  и  $\beta' = 1$ .

 $R_{
m y,m}^{
m cs}$  и  $R_{
m y,c}^{
m cs}$  — расчетные сопротивления, принимаемые .

Толщину углового шва следует назначать равной Бо́льшему из двух значений  $h_{\mathrm{mi}}$  и  $h_{\mathrm{mi}}$ . Допускается уменьшать толщину шво при условии увеличения расчетного сопротивления металла шва  $R_{\mathbf{y},\mathbf{m}}^{\mathsf{cs}}$  по табл. 5 соответственно более высокому классу стали и сварочным материалам, указанным в табл. 52а для этогокласса стали. При этом значение  $h_{\mathbf{m}_1}$  должно быть не меньше значения  $h_{m2}$ . Минимальная толщина шва достигается, когда  $h_{m_1} = h_{m_2, n}$ 

Пункт 9.6 изложить в следующей редакции: «9.6. Сварные соединения с угловыми швами при одновременном действии в одном и том же сечении соединения срезывающих напряжений в двух направлениях рассчитываются на равнодействующую этих напряжений.

Сварные соединения с угловыми швами, прикрепляющими элемент, на который действует одновременно растягивающее усилие и изгибающийся момент. рассчитываются по формуле (22), в которой значения  $F_{
m BT}$ ,  $I_{
m X,BT}$ ,  $I_{
m Y,BT}$  в R принимаются соответственно:

 $F_{\mathrm{HT}}$  — расчетная площадь швов или границы сплавления, определяемые с учетом глубины проплавления умножением соответственно на коэффициенты в или ві, значения которых указаны в табл.

 $I_{X,HY}$ н  $I_{Y,HY}$  — расчетные моменты инершии швов или границы сплавления с учетом глубины проплавления;

 $R=R_{y,\mathbf{u}}^{\mathsf{cs}}$  или  $R=R_{y,\mathbf{c}}^{\mathsf{cs}}$  — расчетные сопротивления, принимаемые по табл. 5.»

Таблицу 44 изложить в следующей редакции: Пункт 10.11 дополнить абзацем следующего содер-

«В сварных двутавровых балках, несущих статическую нагрузку, допускается применять односторонние поясные швы при выполнении следующих условий:

нагрузка должна прикладываться симметрично относительно поперечного сечения балки:

к сжатому поясу балки с помощью сварки, болтов или заклепок должен быть прикреплен жесткий металлический настил;

в местах приложения к поясу балки сосредоточечных нагрузок должны быть установлены поперечные ребра жесткости.

В балках, рассчитываемых по пластическому моменту сопротивления в соответствии с п. 4.15 настоящей главы, применение односторонних поясных швов не допускается.»

Раздел 10 дополнить пунктами 10.19а и 10.20а следующего содержания:

«10.19а. В центрально-сжатых колоннах и стойках из сварных двугавров, рассчитанных с учетом примечания к п. 6.10 настоящей главы, допускается применять односторонние поясные швы,

Формулы для расчета поясных соединений в составных балках,

Характер нагрузки,	Соедянения.	Расчетные формулы
	Угловые швы двухсто- ронние	$h_{m_1} \geqslant \frac{QS_n}{2\beta R_{\mathbf{y},\mathbf{u}}^{cs} I_{6p}}; \tag{82}$
		$h_{m_2} \gg \frac{QS_m}{2\beta' R_{y,c}^{cs} I_{6p}}$ (82 a)
Неподвижная нагрузка (распределенная и сосре- доточенная)	Угловые швы односторон-	$h_{m_1} \geqslant \frac{QS_n}{\beta R_{\mathbf{y},m}^{cs}/_{6p}}; \tag{82.6}$
	ние	$h_{\rm m.s} \geqslant \frac{QS_{\rm ff}}{\beta' R_{\rm y.c}^{\rm cs} I_{\rm 6p}}.$ (82 B)
	Заклепки	$N^{38KR} \geqslant a \frac{\sqrt{QS_n}}{I_{6p}}. \tag{83}$
	Угловые швы двухсторон-	$h_{\text{mi}} \gg \frac{1}{2\beta R_{y,w}^{cs}} \sqrt{\left(\frac{QS_{\eta}}{I_{6p}}\right)^2 + \left(\frac{n_1 P}{z}\right)^2};$ (84)
Подвижная сосредоточен- ная нагрузка	ние	$h_{\rm HI} \gg \frac{1}{2\beta' R_{\rm J.c}^{\rm CS}} \sqrt{\left(\frac{QS_{\rm n}}{I_{\rm 5p}}\right)^2 + \left(\frac{n_1 P}{z}\right)^2}. \tag{84 a}$
•	Заклепки	$N^{38K8} \geqslant a \sqrt{\left(\frac{QS_n}{I_{6p}}\right)^2 + \left(\frac{an_1P}{2}\right)^2}. \tag{85}$
Обозначения, принятые в з h <sub>ш;</sub> и h <sub>ш;</sub> —толщина углового Q — наибольшая попере S—статический момент	абл. 44: в магантриваемом сечен брутто пояса балки относительно	ин: Нейтральной оси:
$\beta * \beta' - $ коэффициенты, прости закловит закловит закловит закловит закловит закловить на сервительной виденты в простим виденты вид	ринимаємые по табл. 42a; enok;	-
N <sup>38КЛ</sup> — меньшее из двух з	начений расчетного усилня на одну	заклепку, принимаемое равным:
при расчет $N^{38KR} = n_{ m cp}$	-41	ари расчете на смятие $d\Sigma \delta R_{cm}^{30kA}$
Res , Res — расчетные сопроти Res , Res — расчетные сопроти	вления, принимаемые по табл. 5; вления, принимаемые по табл. 6;	
<ul> <li>Р — величина расчетног нимаемая без коэфф п<sub>1</sub> — коэффициент, прия</li> </ul>	о сосредоточенного груза (для подг рициента динамичности); имаемый согласно указаниям п. 4.1	крановых балок — расчетная величина давления колеса крана, при- 3 настоящей главы; жного груза, принимаемая согласно указаниям п. 4.13 настоящей
а — коэффициент, при телавы:	нмаемый:	торой стенка пристрогана к верхнему поясу, — а=0,4; то же, но

В узлах крепления к колонне с односторонними поясными швами связей, балок, распорок и т. д. в зоне передачи усилия следует применять двухсторонние поясные швы. При этом двухсторонний шов должен выходить за контуры прикрепляемого элемента (узла) на длину  $30\ h_{\rm HZ}$  с каждой стороны.»

«10.20а. Размеры угловых швов, прикрепляющих фасонки соединительной решетки к колоннам, должны назначаться по расчету и располагаться в шахматном порядке в виде отдельных участков; расстояние меж-

ду концами таких швов не должно превышать 150, где  $\hat{0}$  — толщина фасонки.

В конструкциях, возводимых в районах с расчетными температурами наружного воздуха ниже минус 40°С, а также при применении ручной сварки швы должны быть непрерывными по всей длине фасонки.»

Подпункт «а» пункта 10.34 изложить в следующей редакции:

«а) толщина угловых швов hm должна быть не бо-

Группа конструкций (по таба, 50)	. Вид сварки	Вид соединения	Класс стали	Мини ле	Минимальные толщины шеов (мм) при толщине 60- лее толстого из свариваечых элементов (мм)						
(110 1204, 00)	·			4-5	6—10	11—16	17-22	2332	33—41	1180	
Конструкции всех групп Ручная		Тавровое соедине- нне с двухсторон- нимя угловыми	C52/40	4	5	6	7	8	9	10	
		швами; нахлесточ- ное и угловое соединение	C60/45	5	6	7	Ė	9	10	. 12	
Конструкции всех групп Ан	Автоматиче- То ская и по-	То же	C38/23 C52/40	3	4	. 5	6	7	8	9	
	луавтомати- ческая		C60/45	4	5	6	7	8	9	10	
Крепление ребер жест- кости и диафраги, а также крепление стенок с полками в стержнях двутаврового и короб- чатого сечения в конст- рукциях III, IV и VI групп		Гавровое соединение с односторонними угловыми швами	C46/33	4	5	6	7	8	9	10	

Примечания: 1 В конструкциях из стали классов С70/60 и С85/75, в также яз стали всех классов при толщине элементов более 60 мм минимальные толщины угловых швов принимаются по специальным техническим условиям, утверж денным или согласованным в установленном порядке.
2. В конструкциях, возводимых в райомах с оасчетными температурами наружного воздуха виже минус 40° С. минималь

2. В конструкциях, возводимых в районах с расчетными температурами наружного воздуха инже минус 40°С, минималь ные толщины шиов увеличиваются на і ми при толщине свариваемых элементов до 40 мм включительно и на 2 мм при толщине элементов более 40 мм».

лее 1,2  $\delta$ , где  $\delta$  — наименьшая толщина соединяемых элементов:»

Подпункт «б» пункта 10.34 изложить в следующей редакции:

«б) в зависимости от группы конструкций, вида свархи, вида соединения, класса стали и толщины свариваемых элементов толщины угловых швов  $h_{\rm m}$  следует принимать не менее указанных в табл. 48. В случае, когда из-за разницы толщины свариваемых элементов требования, изложенные в пп. 10.34, а и 10.34, 6 становятся противоречивыми, следует принимать неравнокатетные швы, у которых катет, примыкающий к более тонкому элементу, соответствует требованиям л.10.34.а, а примыкающий к более толстому элементу — требованиям л. 10.34.6.

Для прикрепления ребер жесткости и диафрагм в конструкциях III, IV и VI групп допускается применять од осторонние угловые швы, толщины которых  $\hbar_{\rm m}$  следует принимать не менее указанных в табл. 48.

Применение односторонних угловых швов для прикрепления ребер жесткости, диафрагм, а также для поясных швов в сварных балках, колоннах и стойках двутаврового сечения не допускается в конструкциях: эксплуатируемых в среднеагрессивной и сильноагрессивных средах (в соответствии с главой СНиП по за-

щите строительных конструкций от коррозии);

изготавливаемых из стали классов C52/40 — C85/75; возводимых в районах с расчетными температурами наружного воздуха ниже минус 40° С;

изготавливаемых с применением ручной сварки.

Подпункт «г» пункта 10.34 изложить в следующей редакции:

«г) наибольшая расчетная длина флангового шва должна быть не более  $85\,\beta\,h_{\rm m}$  ( $\beta$  — коэффициент, принимаемый по табл. 42a), за исключением швов сопряжений, в которых усилие, воспринимаемое фланговым швом, возникает на всем его протяжении (в последнем случае длина флангового шва не ограничивается);»

Заглавие приложения 3 изложить в спедующей редакции:

«Материалы для сварки конструкций».

Пункты 1,2 и 3 приложения 3 признать утратившими силу.

Заглавие таблицы 52 изложить в следующей редакции:

«Материалы, рекомендуемые для сварки стыковых соединений, соответствующие классу прочности стали.»

Приложение 3 дополнить габлицами 52а и 526 спедующего содержания:

## Материалы для сварки угловых швов, соответствующие классу прочности стали

'		l	Сварочные	матерналы	
		Марки проводок (по	ГОСТ 2246-70) для мех	анизированной сварки	,
Группа конструкций (по табл. 50)	Класс стади	нозонф кон	в углекислом газе (по ГОСТ 8050—76) сплошной проволокой	порошковой про-	Типы электродов для ручной сварки (по ГОСТ 9467—75)
I, II III, IV, VI	C38/23	_	_ `	_	Э42A Э42
1, 11 111, IV, VI	C44/29 C46/33	Св-08АА, Св-08А	<u> </u>	-	946A 946
I, II III, IV, VI	C52/40	Св-10ГА, Св-08ГА	Св-08Г2С, Св-08Г2СЦ	пп-анз, пп-анз	950A 950
Все группы	C60/45	Св-10НМА, Св-10Г2	Св-08Г2С **, Св-08Г2СЦ **	_	Э60A
Все группы	C70/60	Св-08ХН21МЮ	Св-10ХГ2СМА	_	<b>Э</b> 70

Таблица 526 Зависимость числа проходов при сварке углового шва от вида сварки, положения шва и его толщины

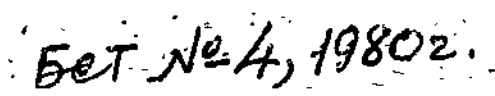
Rus enseru		Число проходов при толщике шва, мж							
Вид сварки	Положение шва при сварке	3-8	9—10	12	14	`16	18		
Полуавтоматическая	В лодочку Не в лодочку	, 1 1, ,	1 2	. 1.	2 более 3	3 более 3	более 3		
Автоматическая	В лодочку Не в лодочку	1	1 2	1 .2	1 3	1 · 3	2 более 3		

<sup>\*</sup> Порошковая проволока марки ПП-АН8 поставляется по ЧМТУ 4-353-71, марки ПП-АН3 — по ТУ ИЭС 24-66.

\*\* Применение проволоки Св-08Г2С и Св-08Г2СЦ обеспечивает значение R<sub>y,m</sub> = 2400 кгс/см² только в конструкциях на стали класса C60/45 для одвопроходных швов, в остальных случаях при вримененив указанных проволок  $R_{y,uv}^{c.b} = 2100$ ·= 2100 кгс/см<sup>3</sup>.

# Нормативные документы и государственные

## стандарты по строительству



Об изменении и дополнении главы СНиП И-В.3-72.

Постановлением Госстроя СССР от 25 января 1980 г. № 2 утверждены и с 1 апреля 1980 г. введены в дей-таме приведенные ниже изменения и дополнения главы СНиП 11-В.3-72 «Стальные конструкции. Нормы проектирования», утвержденной постановлением Госстроя СССР от 29 декабря 1972 г. № 222.

- 1. Пункт 3.1 дополнить абзацами следующего содержания:
- «Расчетные сопротивления растяжению, сжатию и изгибу прокатной стали ГОСТ 23570—79, отнесенной к классу С38/23, следует принимать:
- а) R=2150 (2600) кгс/см $^2$  для стали марок 18пс, 18сп, 18Гпс при толщине от 4 до 20 мм и для стали марки 18Гсп при толщине от 31 до 40 мм;
- . 6) R=2100 (2600) кгс/см<sup>2</sup> для стали марки 18кп при толщине от 4 до 30 мм и для стали марки 18Гпс при толщине от 21 до 30 мм;
- в)  $R = 1900 \text{ кгс/см}^2$  для стали марки 18кп при толщине от 31 до 40 мм.

Расчетные сопротивления других напряженных состояний принимаются:  $R_{\rm cp}=1300~{\rm krc/cm^2},~R_{\rm cm.~T}=$  = 3200 krc/cm²,  $R_{\rm cm.~M}=1600~{\rm krc/cm^2}$  и  $R_{\rm c.~K}=80~{\rm krc/cm^2}$ .

- 2. В примечание 2 к табл. 2 после слов: «в приложении 1» добавить слова: «, с учетом примечания 4 к настоящей таблице».
- 3. В табл. 50 приложения 1 для группы 1 заменить: в графе 3 марку стали «М16С» на марку сталь «16Д»; в графе 5 «ГОСТ 6713—53» на «ГОСТ 6713—75°».
- . 4. Примечание 11 табл. 50 приложения 1 изложить в следующей редакции:
- «11. Разрешается применять стали марок по ГОСТ 23570—79 вместо сталей марок по ГОСТ 380—71° и ГОСТ 6713—75°:

18сп и 18Гпс вместо ВСтЗсп5 и ВСтЗГпс6; 18пс и 18Гпс вместо ВСтЗпс6; 18кп вместо ВСтЗкп2; 18Гпс и 18Гсп вместо 16Д», Постановлением Госстроя СССР от 14 июля 1980 г. № 104 утверждены и с 1 августа 1980 г. введены в действие призеденные ниже изменения и дополнения главы СНиП II-В.3-72 «Стальные конструкции. Нормы проектирования», утвержденной постановлением Госстроя СССР от 29 декабря 1972 г. № 222.

Пункт 2.11 изложить в следующей редакции:

«2.11. Для соединения элементов стальных конструкций спедует принимать высокопрочные болты диамет-

2 «Бюллетень строительной техники» № 9

ром от 16 до 48 мм по ГОСТ 22353—77, ГОСТ 22356-77, гайки и шайбы к ним — по ГОСТ 22354—77 и ГОСТ 22355-77».

Примечания к табл. 8 пункта 3.1 дополнить примечанием 4 следующего содержания:

«4. Коэффициент условий работы, установленный в пункте 4, не распространяется на расчет соединений на высокопрочных болгах».

17

— Последний абзац пункта 9.8 изложить в следующей редакции:

«Величины  $d_1$ ,  $d_2$  и H принимаются по СТ СЭВ 180-75, СТ СЭВ 181-75 и СТ СЭВ 182-75».

Примечание 1 к пункту 9.8 изложить в следующей редакции:

«Площадь сечения нетто болтов диаметром от 16 до 48 мм по СТ СЭВ 180-75, СТ СЭВ 181-75 и СТ СЭВ 182-75 следует принимать

при статических нагрузках: площадь врутто  $F_{\rm вт} > 0.85~F$ ; условная глощадь  $F_{\rm вт}/0.85$ , если  $F_{\rm вт} < 0.85~F$ ».

Примечание к табл. 49 пункта 10.42 дополнить абзацем следующего содержания: «Минимальное расстояние от центра высокопрочного болта до края элемента в любом направлении и при любых кромках принимается 1,3 dp.

. Дизметр болта, мм	_ 16	18*	20 -	224	24	27*	30	36	42	48
Площадь нетто, см?	1,57	1,92	2,45	3,03	3,52	4,59	5,6	8,16	11,2	14,72,

Болты указанных диаметров применять не рекомендуется»;

Пункт 9.11 изпожить в следующей редакции:

«9.11. Расчетное усилие, которое может быть воспринято каждой поверхностью трения соединяемых элементов, стянутых одним высокопрочным болтом, определяется по формуле

$$N_6 = \frac{mPf}{K}, \tag{80}$$

где К — коэффициент, принимаемый по табл. 43;

Р — осевое усилие натяжения болта;

f — коэффициент трения, принимаемый по табл. 43:
 m — коэффициент условий работы болтового соединения, принимаемый в зависимости от количества болтов в соединении:

1 — при 10 болгах и более;

0,9 — от 5 до 9 болтов;

0,8 — от 1 до 4 болтов.

Способ обработки (очистки) соединяемых поверхностей, способ регулирования натяжения болтов и разность номинальных диаметров отверстий и болтов должны указываться в рабочих чертежах.

Разность номинальных диаметров отверстий и болтов 5 или 6 мм допускается только в соединениях, не определяющих геометрии конструкции.

Осевов усилие натяжения высокопрочных болтов определяется по формуле

$$P = 0.7 \, \sigma_{\rm B} F_{\rm HT} \tag{81}$$

где о<sub>в</sub> — наименьшее временное сопротивление болта разрыву, принимается по табл. 1 ГОСТ 22356—77;

F<sub>вт</sub> — площадь сечения болта нетто, определяемая по пункту 9.8 или по приложению 1 ГОСТ 22356—77,

Прочность соединяемых элементов, ослабленных отверстиями под высокопрочные болты, проверяется с учетом, что 50% усилия, приходящегося на каждый болт, в рассматриваемом сечении уже передано силами трения, при этом принимается:

при динамических нагрузках — площадь нетто  $F_{\mathrm{ar}}$ ;

Таблица 43 Коэффициенты трения f и коэффициенты K в формуле (80)

в фор	ary arc	(00)		
Способ обработки (очистки) соединяемых поверхностей	f	Способ регулирования натя- жения болтов **	К в зави от нагруза ности U, 1 ст. ст. д. д. ст. ст. д. д. ст. п. ст. д. д. ст. д. ст. ст. д. ст. ст. ст. ст. ст. ст. ст. ст. ст. ст	ок и раз- чм, номи- чизметров
1. Пескос: руйная, дробеструйная или дробеметная двух поверхностей кварцевым геском или дробью без консервации 2. То же, с консервацией металлизацией распылением цинка или алюминия. 3. Одна поверхность кварцевым песком или дробью с кочсервацией полимерным клеем и посыпкой карборундовым порошком, другая—стальными щетками без консервации 4. Газопламенный двух поверхностей без консервации 5. Стальными щетками двух поверхностей без консервации 6. Без с гработки	0,50 0,50 0,42 0,35	<del></del>	1,35 1,2 1,35 1,2 1,35 1,2 1,35 1,2 1,35 1,2 1,35	1,12 1,02 1,02 1,12 1,02 1,12 1,02 1,17 1,06

<sup>\*</sup> Способ обработки 2 применяется в конструкциях, защита от коррозни готорых выполнена по способу горячего пинкования или метал изации распылением, и допускается в других конструкциях.

жонструкциях.

\*\* Способ регулирования натажения болтов "по М" означает регулирование по моменту закручивания, в "по с" — регулирование по углу поворота гайки-

# Об изменении и дополнении главы СНиП II-В.3-72 Бет Nº10, 19812.



Таблица 2

ерас четиые сопротивления стали для расчетые сопротивных видов изпражению состояния для расчеты выдов изпражения стали

	Расчетные сопро- тивления			
Вид напряженного состояния	условные обозна- чения	формула расчетиля		
Срез  Сматие торцовой поверхности (при наличии пригожи)  Сматие местное в цилипарических цізрнирах (напфах) при плотном касания  Пнаметральное сжатие катков при свободном касании (в колструкциях с ограниченной подвижностью)	R <sub>ер</sub> R <sub>ем. т</sub> R <sub>ем. и</sub> R <sub>с. к</sub>	0,6 R 1,5 R 0,75 R 0,4 R*		

4. Пункт 3.1 изложить в следующей редакции:

«З.1. Расчетные сопротивления *R* растяжению, сжатию и изгибу прокатной стали следует определять по формуле

 $R = \frac{r_T}{R}$ 

Постановлением Госстроя СССР от 31 июля 1981 г. № 130 утверждены и с 1 октяб, я 1981 г. введены в действие приведенные ниже изменения и дополнения главы СНиП II-В.3-72 «Стальные конструкции. Нормы проектирования», утвержденной постановлением Госстроя СССР от 29 декабря 1972 г. № 222.

В связи ,с. этим утратили силу с 1 октября 1981 г. п. 3 приложения к постановлению Госстроя СССР от 27 декабря 1978 г. № 250; пп. 1 и 2 приложения к постановлению Госстроя СССР от 25 января 1980 г. № 2.

1. Пункт 2.6 изложить в следующей редакции:

«2.6. Отливки (опорные части и т. п.) для стальных конструкций надлежит проектировать из углеродистой стали марок 15Л, 25Л, 35Л и 45Л, удовлетворяющей требованиям групп отливок II или III по ГОСТ 977—75, а также из серого чугуна марок СУ15, СУ20, СУ25 и СУ30, удовлетворяющего требованиям ГОСТ 1412—79»

2. Пункт 2.10 изложить в следующей редакции: «2.10. Выбор марок стали для фундаментных болтов следует производить по ГОСТ 24379.0—80, а их конст-

рукцию и размеры принимать по ГОСТ 24379.1—80». 3. Таблицу 2 изложить в следующей редакции:

12

а для растянутых элементов конструкций, эксплуатация которых возможна и после достижения металлом предела текучести, расчетные сопротивления  $R_{\rm B}$  определяются по формуле

$$R_{\rm B} = \frac{\sigma_{\rm B}}{1.3K}$$

но не менее R, где  $\sigma_{\rm T}$  и  $\sigma_{\rm B}$  — предел текучести и временное сопротивление стали, принимаемые по госудерственным стандартам или техническим условиям на сталь. При этом за толщину фасонного проката принимается толщина полки;

K — коэффициент безопасности по материалу следует принимать по таблице 2a.

Таблица 2a Коэффициенты безопасности по матерчалу

Государственный стандарт или технические	
FOCT 23570—79	1,025
ГОСТ 380—71 ТУ 14-1-3023-80 ГОСТ 6713—75 ГОСТ 14637—69 ГОСТ 19291 (2)—73 (с пределом текучести до 39 кгс/мм²) ТУ 14-1-389-72 ТУ 14-1-1271-75	<b>1,</b> 05
ГОСТ 19281 (2)—73 (с пределом текучести свыше 39 кгс/мм²) *	1,1
TY 14-1-1308-75 TV 14-1-1772-76	1,15
• — для стали марки 14Г2AФ K =1,05.	`

Расчетные сопротивления стали для различных видов напряженного состояния следует принимать по табл. 2.

Расчетные сопротивления R отливок из углеродистой стали и из серого чугуна следует принимать по табл. 3 и 4.

Расчетные сопротивления сварных соединений следуют принимать по табл. 5.

Расчетные сопротивления угловых швов срезу (условному)  $R_{y,\,\, m}^{cs}$  метапла шва следует принимать по табл. 5а.

Табянца ба Расчетные сопротивления угловых швов срезу (условному)  $R_{\mathbf{y},\mathbf{u}}^{\mathbf{c}\mathbf{s}}$  метала шва

Cı	<u>.</u>				
Марки про ГОСТ 2	оволок по 246—70	no- nokok okok* dekt- Ali ceap- I'dcT		THILD COM- DUGMY) METALIA	
фиюсом сварка под	сварка в угленислом сварка в	Сварка по- рошковой проводокой	Turn 9. poado y py-inof KH (no 9467—75	Pacuethina (Pothbrehus (Pothbrehus Reb Kym Meta	
<b>-</b> .	- , <del>-</del> , -	_	942A 942	1800	
Св-08AA Св-08A	- 1	,-	946A 946	2000	
CB-10FA - CB-08FA CB-10HMA CB-10F2 CB-08XH2FMKO	Cs-08F2C Cs-08F2CH Cs-08F2C** Cs-08F2CH** Cs-10XF2CMA	ПП-АН8 ПП-АН3	950A 950 960	2100 2400 2800	
* H ** — см.		<b>J</b> .	]. [	- · ••• •	

Расчетные сопротивления заклепочных и болговых соединений следует принимать по табл. 6 и 7.

Примечания: 1. В необходимых случаях приведенные в таблицах 2—7 значения расчетных сопротивлений изменяются умножением на коэффициенты условий работы из элементов стальных конструкций по табл. 8.

- 2. При расчете конструкций и соединений следует учитывать коэффициент надежности по назначению, принимаемый по «Правилам учета степени ответственности зданий и сооружений при проектировании конструкций».
- 3. При расчете ксиструкций на аыносливость расчетные сопротивления понижаются умножением на коэффициент у по указаниям п. 8.2».
  - 5. Таблицу 4 изложить в следующей редакции:

Таблица 4
«Расчетные сопротивления ?? отливом из серого чугуна

Напряженное состоявне	Услов- ное обозна-	BI	етные rrc/cm³ poro чу	ок из	
	чение	C412	C4-20	C <b>42</b> 5	C430
Сжатие центральное и при изгибе Растяжение при изгибе Срез Смятие торцовой поверх- ности (при нажичии пригон- ки)	R <sub>E</sub> R <sub>B</sub> R <sub>CP</sub> R <sub>CM.T</sub>	1600 850 400 2400	2000 650 500 3000	2300 850 650 3400	2500 1000 750 8700>

Tadanna 5

 $_{\rm B}$ Расчетные сопротивления  $R^{\rm CB}$  сварных соединений

Сварные соедние- ния		Расчетные сопротив- ления		
	Напряженное состояние	условные обозначе- кия	формула расчетная	
Стыковые	Сжатие Растяжение: а) вэтоматическая сварка, полуавтоматическая и ручная сварка с физическим конт- родем качества швов б) полуавтоматическая и ручная сварка Срез	Rcs Rp Rp Rp Rcs Rcp	R R 0,85R 0,60R	
С угло- выми швами	Срез (условный): а) металла шва б) металла границы сплав- ления	Ry.m Ry.c	по табл. 5а 0,45 <sub>° в</sub>	

Примечания: 1. При сварке конструкций из разных марок стали расчетное сопротивление  $R^{\rm CB}$  сварных соединений определяют соответственно для стали с более низким расчетным сопротивлением R.

расчетным сопротивлением R.

2. Расчетные сопротивления сварных соединений встых установлены для швов, выполненных двухсторонней сваркой или односторонней сваркой с подваркой кория шва или на

подкладках.

3. Для конструкций, возводимых в районах с расчетными температурами наружного воздуха ниже мичус 40°С, значения расчетных сопротивлений срезу (условному) металла углового шва (Ry, ш) для углеродистой стали по ГОСТ 380—71. ТУ 14-1-3023-80 и ГОСТ 23570—79, и металла границы сплавле вия  $R_{y,C}$  для всех марок стали должны быт: умножены на коэффициент 0,85°.

#### 7. Таблица 6:

исключить графы расчетных сопротивлений смятию соединяемых элементов конструкций из стали классов С38/23, С44/29, С46/33 и С52/40

примвчание 3 изложить в следующей редакции: «3. Расчетные сопротивлени: смятию соединяемых элементов конструкций принимаются равными:

 $R_{\rm cm}^{\rm 38KA} = 2R$  для соединений группы В; .  $R_{\rm cm}^{\rm 38KJ} = 1.8\,R$  для группы С\*.

### 8. Таблица 7:

исключить графы расчетных сопротивлений смятию соединяемых элементов конструкций из стали классов C38/23, C44/29, C46/33 и C52/40;

примечание 2 изложить в следующей редакции: «2. Расчетные сопротивления смятию соединяемых элементов конструкций принимак, ся равными:

 $R_{\rm cm}^6 = 1.8R$  для соединений группы В и однобол товых соединений;

 $R_{\rm cu}^6 = 1.6R$  для многоболтовых соединений.

9. Таблицу 8 изложить в следующей редакции: 10. Таблица 50 Приложения 1:

#### «Коэффициенты условий работы m элементов стальных конструкций

Элементы конструкций	m
I. Сплошные балки и сжатые элементы ферм перекрытий под залами театров, влубов, кинотеатров, под трибунами, под помещениями магазинов, книгохранилищ, архивов и т. п. при весе перекрытий, равном или большем временной нагрузки 2. Элементы стержневых конструкций покрытий и пе-	0.9
рекрытий: а) сжатые (за исключением зачкаутых сечений) при расчете на устойчивость	0,95
б) растянутые в сварных конструкциях 3. Сжатые основные элементы (кроме опорных) решет- ки составного таврового сечения на уголков свар- ных ферм покрытий и перекрытий (например, стро-	0,95 0,8
пильных и вналогичных им ферм) при гибкости х≥60 4. Затяжки, тяги и оттяжки, выполненные из прокат- ной стали 5. Сжатые раскосы пространственных решетчатых комструкций из одиночных уголков, прикрепляемых	0,9
к поясам одной полкой: а) при помощи сварных швов или двух и более бол- тов или заклепок, поставленных вдоль уголка:	
при перекрестной решетке с совмещенными в смежных гранях узлами (рис. 9,6)	0,9
при елочной и перекрестной решетке с несовие- ценными в смежных гранях узлами (рис. 9,в и 9,г)	0,8
б) при помощи одного болта или одной заклепки б. Верхние пояса и примыкающие к ним части стенок подкрановык балок пол краны грузсподъемностью 5 т и более тяжелого и весьма тяжелого режима работы в случае, если при проектирозании не про- изводится расчет на усталость от местных напря- жений	0,75
7. Коложы жилых и общественных зданий и спор во- донапорных башен	0,95
8. Сжатые элементы из одиночных уголков, прикрепляемые одной полкой (для неравнобоких уголков только узкой полкой) при расчете по шарнирной схеме за исключением элементов конструкций, указанных в п. 3 настоящей таблицы, и плоских ферм из одиночных уголков	0,75
Примечания: 1. Коэффициенты условий работы, новленные в разных пунктах, одновременно не учитыва 2. Коэффициенты условий работы, установленные в и в, не распространяются на крепления соответствующиентов конструкций в узлах.  3. Для сжатых раскосов пространственных решетчать	ются. in. 2, 3 их эле-
струкций (п. 3) при треугольной решетке с расы (рис. 9. а), коэфсициент условии работы не учитывает 4. Коэффициент условий работы, установленый в пу не распространя тся на расчет соединений на высокоп болтах.	ся. НКТе 4,

примечание є признать утратившим силу;

дополнить примечанием 12 следующего содержания: «12. Область применения (группа конструкций и расчетная темгература) марок сталей, поставляемых по ТУ 14-1-3023-80 групп прочности 1 и 2, следует принимать как для сталей по ГОСТ 380-71 и ГОСТ 19281(2)—73 соответствующих марок, толщин, степеней раскисления и категорий стали»;

дополнить примечанием 13 следующего содержания: «13. Сталь по ТУ 14-1-1772-76 имеет ту же область применения, что и сталь по ТУ 14-1-1303-75».

### 11. Таблица 53 Приложения 4:

в заголовке граф заменить слова: «из стали классов» на слова: «при расчетных сопротивлениях стали в кгс/см<sup>2</sup>»;

в подзаголовке граф заменить обозначения классов на расчетные сопротивления стали: «С38/23» на «2100», «С44/29» на «2600», «С46/33» на «2900», «С52/40» на «3400», «С60/45» на «3800», «С70/60» на «4400» и «С85/75» на «5300»;

дополнить примечанием следующего содержания: «Примечание, Для конкретной марки стали срасчетным сопротивлением R значение коэффициентов ф определяется по интерполяции»,



# ГОСУДАРСТВЕННЫЙ КОМИТЕТ СССР ПО ДЕЛАМ СТРОИТЕЛЬСТВА (Госстрой СССР)

## ПОСТАНОВЛЕНИЕ

от 16 марта

19 82 r.

№ 49

О признании утратившим силу пункта I постановления Госстроя СССР от 3I июля 1981 г. № 130 "Об изменении и дополнении главы СНиП П-В.3-72 "Стальные конструкции. Нормы проектирования"

Государственный комитет СССР по делам строительства ПССТАНОВЛЯЕТ:

Признать утратившим силу с I апреля 1982 г. пункт I постановления Госстроя СССР от 3I июля 1981 г. № 130 "Об изменении и дополнении главы СНиП П-В.3-72 "Стальные конструкции. Нормы проектирования".

Заместитель Председателя Росстроя СССР

А.Еорсвой